



НАЦІОНАЛЬНИЙ УНІВЕРСИТЕТ БЮРЕСУРСІВ  
ПРИРОДОКористування України

Факультет (ННІ)

КОНСТРУЮВАННЯ ТА ДИЗАЙНУ

УДК 621.874

ПОГОДЖЕНО

Декан факультету (Директор ННІ)  
конструювання та дизайну  
(назва факультету (ННІ))

(підпись)

Зіновій РУЖИЛО  
(ПІБ)

“ — ” 2023 р.

ДОПУСКАЄТЬСЯ ДО ЗАХИСТУ

Завідувач кафедри  
конструювання машин і обладнання  
(назва кафедри)

Вячеслав ЛОВЕЙКІН  
(ПІБ)

“ — ” 2023 р.

# НУБіП України

МАГІСТЕРСЬКА КВАЛІФІКАЦІЙНА РОБОТА

на тему

## ОПТИМІЗАЦІЯ РЕЖИМУ РУХУ КОНСОЛЬНОГО НОВНОНОВОРОТНОГО КРАНА НА КОЛІНІ

Спеціальність 133 – Галузеве машинобудування  
(код і назва)

Освітня програма \_ Обладнання лісового комплексу  
(назва)

Орієнтація освітньої програми \_\_\_\_\_ освітньо-професійна \_\_\_\_\_  
(освітньо-професійна або освітньо-наукова)

Гарант освітньої програми

д.т.н., доцент  
(науковий ступінь та вчене звання)

Олександр БАННІЙ  
(ПІБ)

Керівник магістерської кваліфікаційної роботи

д.т.н., професор  
(науковий ступінь та вчене звання)

Вячеслав ЛОВЕЙКІН  
(ПІБ)

К.т.н.  
(науковий ступінь та вчене звання)

Анастасія ЛЯШКО  
(ПІБ)

Виконав

(підпись)

Владислав СІКОРА  
(ПІБ студента)

КИЇВ - 2023



Факультет(ННІ)

НАЦІОНАЛЬНИЙ УНІВЕРСИТЕТ БЮРЕСУРСІВ  
І ПРИРОДОКОРИСТУВАННЯ УКРАЇНИ

КОНСТРУЮВАННЯ ТА ДИЗАЙНУ

**ЗАТВЕРДЖУЮ**

**Завідувач кафедри**

конструювання машин і обладнання

д.т.н., професор

Вячеслав ЛОВЕЙКІН

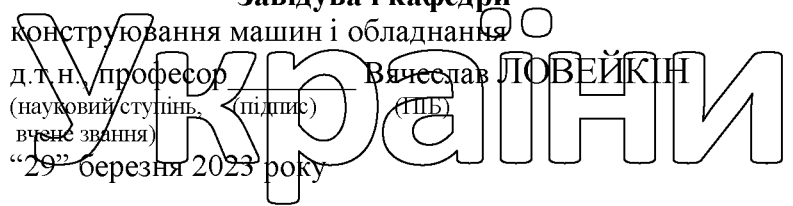
(науковий ступінь, підпис)

(підпись)

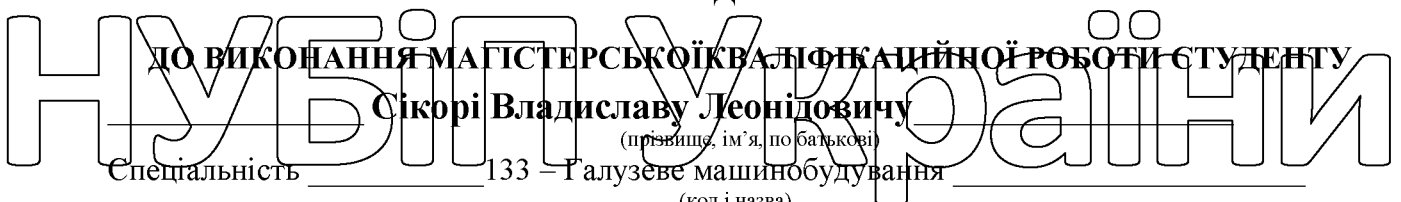
вчене звання

“29” березня 2023 року

(підпись)



**З А В Д А Н Й А**



ДО ВИКОНАННЯ МАГІСТЕРСЬКОЇ КВАЛІФІКАЦІЙНОЇ РОБОТИ СТУДЕНТУ

Сікорі Владиславу Леонідовичу

Спеціальність

133 – Галузеве машинобудування

(прізвище, ім'я, по батькові)

(код і назва)

Освітня програма \_\_\_\_\_ Обладнання лісового комплексу \_\_\_\_\_  
(назва)

Орієнтація освітньої програми \_\_\_\_\_ освітньо-професійна \_\_\_\_\_  
(освітньо-професійна або освітньо-наукова)

Тема магістерської кваліфікаційної роботи \_\_\_\_\_ ОПТИМІЗАЦІЯ РЕЖИМУ РУХУ  
КОНСОЛЬНОГО ПОВНОПОВОРОНТОГО КРАНА НА КОЛОНІ

затверджена наказом ректора НУБІП України від “28” березня 2023 р. № 465 «С»

Термін подання завершеної роботи на кафедру \_\_\_\_\_ 2023.11.01  
(рік, місяць, число)

Вихідні дані до магістерської кваліфікаційної роботи Технологічна схема застосування  
повнощоворотного крана, винта жолобомістість, висота підйому

Перелік питань, які потрібно розробити:

Перелік питань, що підлягають дослідженню:

1. Проаналізувати існуючі конструкції консольних кранів.

2. Розробити і розрахувати конструкцію консольного крана згідно вихідних даних.

3. Провести динамічний аналіз руху механізму підйому.

4. Оптимізувати режим пуску механізму підйому.

5. Розробити заходи з охорони праці.

6. Провести економічні розрахунки

Дата видачі завдання “29 березня 2023 р.

Керівник магістерської  
кваліфікаційної роботи

Вячеслав ЛОВЕЙКІН  
(прізвище та ініціали)

Анастасія ЛЯШКО  
(прізвище та ініціали)

Завдання прийняв до виконання  
(підпис)

Владислав СІКОРА

(прізвище та ініціали студента)

## ЗМІСТ

<b>НУВІШІ УКРАЇНИ</b>	3
ЗМІСТ .....	3

РЕФЕРАТ .....	5
---------------	---

<b>ВСТУП</b>	6
РОЗДІЛ 1. АНАЛІЗ КОНСТРУКЦІЙ КРАНИВ СТРІЛОВОГО ТИПУ	7

1.1. Загальні відомості про стрілові крані .....	7
--	---

1.2. Класифікація та характеристика баштових кранів .....	8
---	---

1.3. Конструкції кранів .....	14
-------------------------------	----

<b>РОЗДІЛ 2. РОЗРОБКА КОНСТРУКЦІЙ І РОЗРАХУНИКІВ МЕХАНІЗМІВ</b>	24
---	----

2.1. Механізм підйому вантажу .....	24
-------------------------------------	----

2.2. Металоконструкція крана .....	41
------------------------------------	----

2.3. Механізм пересування візка .....	50
---------------------------------------	----

РОЗДІЛ 3. ДИНАМІЧНИЙ АНАЛІЗ МЕХАНІЗМУ ПІДЙОМУ ВАНТАЖУ ...	56
---	----

3.1. Загальні відомості про моделювання технічної системи .....	56
---	----

3.2. Побудова динамічної моделі механізму підйому вантажу .....	59
---	----

3.3. Побудова математичної моделі механізму підйому вантажу .....	64
---	----

3.4. Динамічний аналіз руху механізму підйому вантажу .....	65
---	----

3.5. Висновки до розділу .....	70
--------------------------------	----

<b>РОЗДІЛ 4. ОПТИМІЗАЦІЯ РЕЖИМУ ПУСКУ МЕХАНІЗМУ ПІДЙОМУ ВАНТАЖУ</b>	72
---	----

4.1. Вибір критерію оптимізації режиму пуску механізму підйому вантажу	72
--	----

4.2. Визначення оптимального режиму пуску механізму підйому .....	73
---	----

4.3. Результати оптимізації режиму пуску механізму підйому вантажу .....	76
--	----

4.4. Висновки до розділу .....	80
--------------------------------	----

РОЗДІЛ 5. ОХОРОНА ПРАЦІ	81
5.1. Запобігання небезпечному підйому	81
5.2. Запобігання зіткненням	81
5.3. Сигнали руками	82

РОЗДІЛ 6. ЕКОНОМІЧНА ЕФЕКТИВНІСТЬ	85
ВИСНОВКИ	90

НУБІП України

НУБІП України

НУБІП України

НУБІП України

НУБІП України

## РЕФЕРАТ

**НУБІЙ Україні**  
Магістерська кваліфікаційна робота складається з пояснівальної записки, що містить вступ, шість розділів, висновки, список використаних джерел та додатків. Магістерська робота представлена на 66 аркушах комп'ютерного

тексту.

**НУБІЙ Україні**  
В першому розділі магістерської роботи розглянуті загальні відомості про консольні крани, а також конструкції стрілових кранів загального призначення та баштових кранів.

**НУБІЙ Україні**  
В другому розділі магістерської роботи розроблено конструкцію та проведено розрахунок механізму підйому вантажу, обрано складові елементи приводного механізму. Також розраховано з'єднання та з'єднань металоконструкції крана.

**НУБІЙ Україні**  
В третьому розділі роботи побудовано динамічну та математичну моделі механізму підйому, а також проведено динамічний аналіз його руху. Визначено динамічні навантаження в тяговому органі та коливання вантажу і елементів приводу.

**НУБІЙ Україні**  
В четвертому розділі магістерської роботи здійснено оптимізацію режиму пуску механізму підйому вантажу, яка дозволила усунути коливання вантажу та знизити навантаження в тяговому органі.

**НУБІЙ Україні**  
В розділі охорона праці розроблені заходи, які створюють умови запобігання небезпечних ситуацій, при підйомі та опусканні вантажу стріловим краном, а також запобігання зіткнення з різними перешкодами.

**НУБІЙ Україні**  
Також в магістерській кваліфікаційній роботі виконано розрахунок економічної доцільності розробленої конструкції стрілового крана на поворотній колоні.

**НУБІЙ Україні**  
Ключові слова: консольний кран, механізм підйому, динамічний аналіз, критерій, оптимізація

## ВСТУП

# НУБІЙ України

У магістерській роботі запропоновано розробити новноповоротний кран зі змінним вильотом вантажу.

Запропонована конструкція крана складається з поворотної колони та

стріли, по якій на чотирьох колесах, два з яких привідні, переміщується привідний візок з механізмом підйому вантажу. В якості механізму підйому використовується електротельфер.

Електротельфер складається з фланцевого електродвигуна, барабана, в

який вбудовано хвильовий редуктор та дискове фрикційне електромагнітне гальмо.

Механізм зміни вильоту пересуває тельфер вздовж стріли крана.

Захоплення вантажу здійснюється за допомогою гакової підвіски. Один кінець

підйомного канату закріплено на корпусі тельфера, а інший намотується на барабан.

Стріла кріпиться до колони, що обертається навколо власної осі. Кран

кріпиться до основи жорстко за допомогою фундаментних болтів.

Для розробленої конструкції крана проведені кінематичні, енергетичні та силові розрахунки механізмів стрілового крана.

Проведено динамічний аналіз роботи механізму підйому вантажу, який показав наявність коливань в елементах крана та значних динамічних

навантажень в тяговому органі.

Для усунення коливань та мінімізації динамічних навантажень здійснено оптимізацію режиму пуску механізму підйому вантажу.

Розроблено заходи з охорони праці при роботі стрілового крана, а також

проводені економічні розрахунки щодо доцільності розробленої конструкції крана.

## РОЗДІЛ 1. АНАЛІЗ КОНСТРУКЦІЙ КРАНІВ СТРІЛОВОГО ТИПУ

### 1.1. Загальні відомості про стрілові крани

У будівельних, промислових, транспортних та інших підприємствах, з метою механізації підйомно-транспортних операцій широко використовуються

стрілові крани. До цих кранів відносяться баштові, стрілові самохідні, порталні, щоглові, консольні та інші крани. Особливостями цих кранів є те, що вони можуть переміщувати вантажі в просторі в певній зоні в залежності від параметрів виду обладнання, що застосовується в конструкції крана: ходового,

підйомного, стрілового, а також характеру та умов його використання при монтажних, перевантажувальних та інших роботах в тому числі з використанням грейферного механізму.

У житловому та цивільному будівництві за допомогою баштових кранів ведуться основні будівельно-монтажні роботи: встановлення та монтаж фундаментних та стінових блоків, колон, плит перекритів та габаритних елементів, а також підйом на будівлю різних будівельних матеріалів. У промисловому будівництві, крім будівельних робіт, баштовими та самохідними кранами ведуться всі роботи з монтажу великовагітного промислового

обладнання, тощо. У гідротехнічному будівництві за допомогою баштових стрілових кранів здійснюються роботи з встановленням арматурних каркасів, арматури, залізобетонних елементів греблі та укладання бетонної суміші в греблю. При монтажі трубопроводів тракторними кранами-трубоукладачами виконуються роботи з підйому зварених трубопроводів при їх технологічній обробці з укладання в траншею.

НУБІП України

**НУБІЙ Україні**  
До вантажопідйомальних кранів стрілового типу висуваються техніко-експлуатаційні вимоги. Вони повинні бути пристосовані для переміщення з одного будівельного майданчика на інший. Причому самохідні крани всередині будівельного майданчика повинні переміщатись між окремими об'єктами.

**НУБІЙ Україні**  
Вантажопідйомним самохідним кранам необхідне автономне енергопостачання, однак у разі тривалого використання на одному місці вони повинні пристосуватись до живлення від зовнішньої електромережі.

**НУБІЙ Україні**  
Вантажопідйомні крани стрілового типу повинні бути обладнані контрольно-запобіжним обладнанням, що забезпечує безпеку роботи та високу продуктивність виконання перевантажувальних та монтажних робіт. Доцільно, щоб приводикранових механізмів, що застосовуються на монтажних роботах, мали системи керування, які б забезпечували глибоке регулювання швидкості та

**НУБІЙ Україні**  
здійснювали плавний рух.

## 1.2. Класифікація та характеристика баштових кранів

**НУБІЙ Україні**  
Баштовими кранами називають вантажопідйомні машини, у яких несучою конструкцією є висока вежа із встановленою у верхній частині стрілою, що обертається на кут  $360^{\circ}$  у плані. У стрілових кранів вантаж, що піднімається, знаходиться поза опорним контуром. З однієї позиції цими кранами обслуговується кільцева площа з радіусами  $R_{nax}$  і  $R_{mm}$ , що є граничними вільотами вантажу. Баштові крани є з основних вантажопідйомним обладнанням, що використовуються для виконання будівельно-монтажних робіт. Поєднання вежі зі стрілою Г-подібної форми забезпечує найкраще охоплення споруд при укладанні штучних вантажів на різних відмітках від рівня основи.

**НУБІЙ Україні**  
У житловому будівництві застосовують баштові крані вантажопідйомністю 5... 12,5 т і до 25 т для підйому та монтажу елементів

будівель, подачі будівельних матеріалів та переміщення вантажів. У промисловому будівництві при монтажі конструкцій та важкого промислового обладнання використовують баштові крани вантажопідйомністю до 50 т.

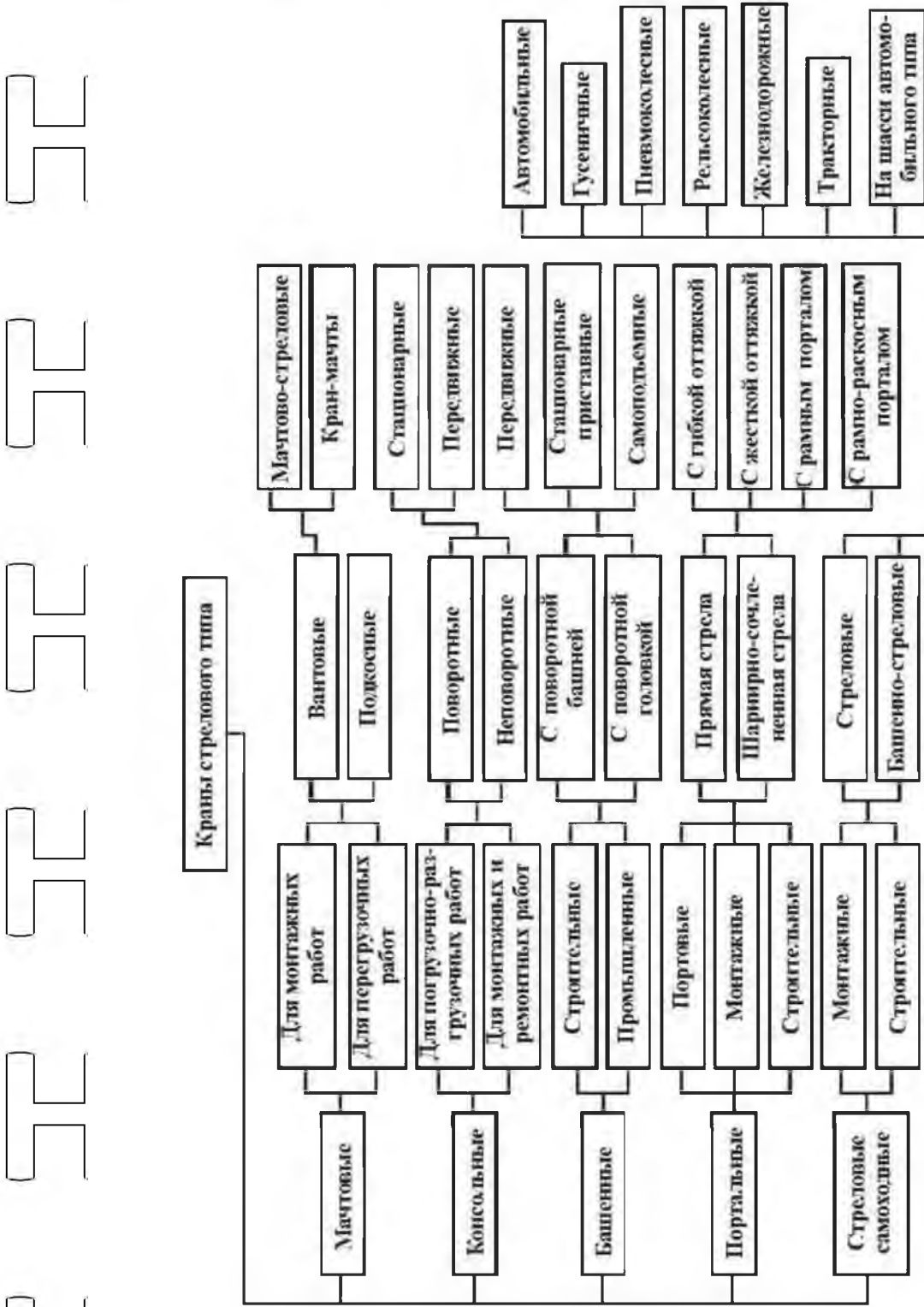


Рис. 1.1. Класифікація кранів стрілового типу

**НУБІНІ України**

Баштові крані бувають пересувними - на рейковому і рідше на пневмоколісному ходу, стаціонарними (прикріпленими до будівлі та встановленими на фундамент) та

самопідйомними, що застосовуються при будівництві висотних, з металевим каркасом будівель та інших об'єктів. Пересувні крані можуть бути з

неповоротною вежею, але з поворотним оголовком, на якому встановлена стріла, а також з поворотною вежею, яка встановлюється на поворотній платформі крана. Виліт вантажу змінюється підйомом стріли або пересуванням вантажного

візка по горизонтальній балочній стрілі. У першому випадку

вантажопідйомність крана  $Q$  на різних вильотах буде змінною  $\Phi$  визначають із забезпеченням сталого вантажного моменту

$$Q_{\min} \cdot R_{\max} = Q_{\max} \cdot R_{\min},$$

що є у стрілових кранів важливим, після вантажопідйомності, параметром.

У другому випадку вантажопідйомність  $Q$  беруть постійною на всіх вильотах вантажу.

Будівельні баштові крані стандартизовані. За призначенням вони бувають:

виробничими – для цивільного, промислового та гідротехнічного будівництва, а

також монтажними – для монтажу обладнання. Вони, в основному, відрізняються величинами вантажопідйомності  $Q$ , вантажного моменту  $M_{\text{ван}}$  –  $Q \cdot R_1$  висотою підйому вантажу  $H$ , яка може бути різною при тих самих величинах  $Q$  і  $M_{\text{ван}}$ .

Металоеконструкція баштового крана складається із стріли, башти, поворотної платформи, противагової консолі та неповоротної рами. На баштових кранах застосовують проктні конструкції. Стріли виготовляють із кутового прокату або з труб. Пояси між собою пов'язані розкосами.

Стріли баштових кранів класифікують за способом зміни вильоту на підйомні та балочні, а за конструкцією – на решітчасті та суцільні стінчасті.

Найбільшого поширення набули прямі підйомні стріли, стріловий розчал яких

прикріплений до осі блоків на оголовку стріли (рис. 1.2 а). Іншим різновидом є консольна підйомна стріла крана (рис. 1.2 б). Виліт на цьому крані у робочому положенні змінюють за допомогою гідроциліндрів. У деяких випадках для збільшення висоти підйому або вильоту і раціональнішого використання простору на підйомних стрілах встановлюють гуськи (рис. 1.2, в).

Гідіомні стріли виконують решітчастими. Для цих конструкцій застосовують кутові та трубчасті профілі. Поперечні перерізи кутових стріл прямокутні (рис. 1.2, з), а трубчастих — прямокутні (рис. 1.2 ж) і трикутні (рис. 1.2 і). Кращими є трубчасті стріли тригранного перерізу, тому що вони мають меншу масу, ніж чотиригранні, і менш трудомісткі у виготовленні. Балкові стріли з дебільшого виконують однопідвісними. Двоївісна (рис. 1.2, г) і багатопідвісна стріли набули поширення тільки на кранах з великими вильотами, більше 45 м. Це пояснюється тим, що через статичну невизначеність для надійної роботи потрібна велика точність виготовлення і ретельне регулювання натягу підвісок.

Іноді застосовують молотопідвісні стріли (рис. 1.2, д). Їхня перевага — у простоті розрахункової та конструктивної схем; для низки кранів їх легко уніфікувати. Шарнірно-зчленована стріла (рис. 1.2, е) дозволяє будувати основну частину споруди, використовуючи великий виліт, а висотну частину — з вигнутою стрілою, по верхній частині якої переміщується вантажний візок. Балочні стріли виконують із поперечним перерізом із різних профілів. На рис. 1.2, й, показані поперечні перерізи стріл сучасних кранів, що отримали найбільшого поширення.

Вони тригранні, вантажні візки переміщаються нижніми поясами. Елементи грат таких стріл, вибираються за граничною гнучкістю і виконують із труб. Такі профілі в порівнянні з іншими профілями мають кращі аеродинамічні властивості, що приводить до зниження навантаження на стрілу з площини підвісу для стріл значної довжини.

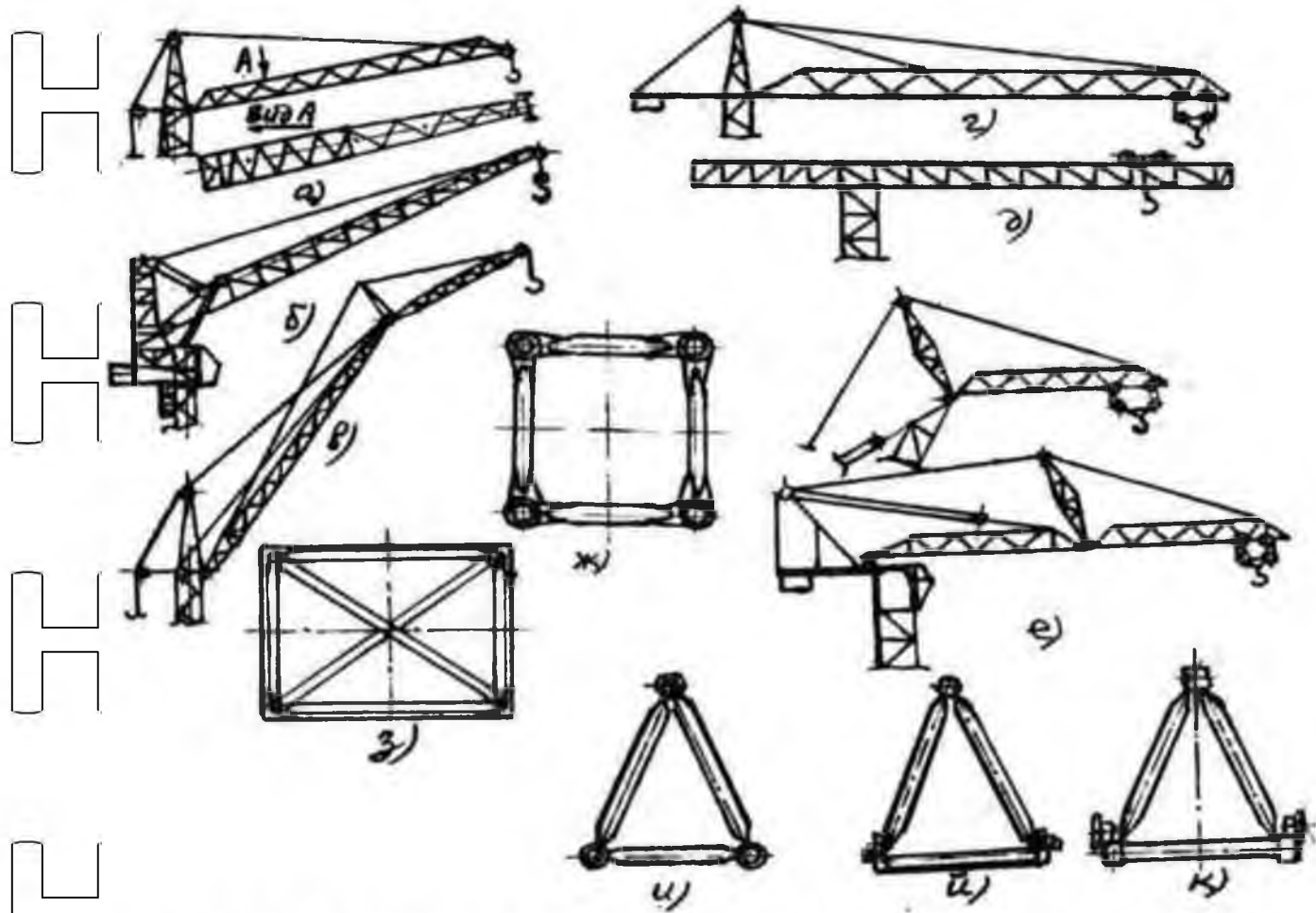


Рис. 6.2 Схеми підйомних (а, б, в) та балкових (г, д, е) стріл та їх перерізів: а - пряма; б - консольна; в, е - шарнірно-зчленовані; г - дво підвісна; д - молотоподібна; перерізу стріл; ж - трубчастою; з кутової; і - трубчастої тригриенної; й - те саме, з нижнім поясом із куточків, як теж, пояси коробчасті розкоси з труб

Башти кранів при з'єднані зі стрілою розділені на дві ґрунти: поворотні та неповоротні. У першому випадку стріла обертається разом із вежею щодо опорних частин. У другому - стріла обертається юдо вежі. Неповоротні вежі поєднуються з верхнім розташуванням противаги, а поворотні - з верхнім та нижнім його розташуванням. Обидва типи веж виконують постійної або змінної

висоти. Башти змінної висоти застосовують такими, що складаються (рис. 1.3, а), телескопічними (рис. 1.3, б), або такими, що підрошуються знизу (рис. 1.3, в) або нарощуються зверху (рис. 1.3, г).

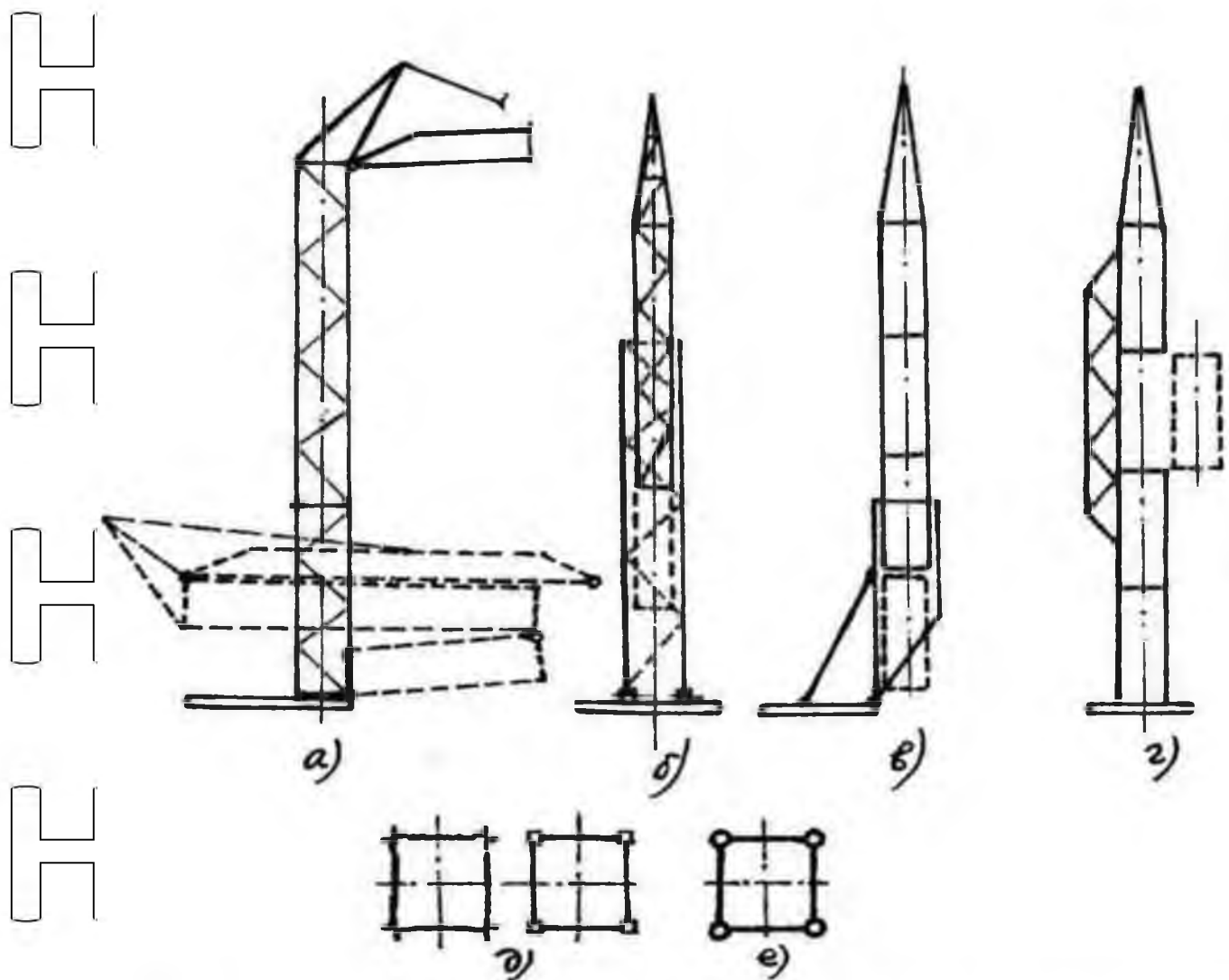


Рис. 1.3. Схеми веж змінної висоти: а - що складається; б - телескопічна; в - збільшується знизу; г - нарощується зверху; д - переріз вежі з плоских кутових панелей; е - те саме, з трубчастих панелей

На частіше поперечний переріз вежі має вигляд прямокутника, рідше - кола і трикутника.  
Необхідність зміни висоти веж наклаю відбиток з іхньої конструкцією.

Секції веж в залежності від прийнятого способу монтажу виконують об'ємними шарнірно-зварними або зборними з плоских або об'ємних панелей та окремих деталей. На рис. 1.3, д, е показано кілька варіантів секцій вежі, що збираються з окремих панелей.

Для виготовлення веж використовують як вуглецеві сталі звичайної якості, так і низьколеговані. В результаті утворюються "рісталин" конструкції, у яких пояї з низьколегованої сталі, а елементи решітки, що вибираються по гнучкості, з вуглецевої сталі звичайної якості. Виготовляють вежі з різних профілів,

наприклад, пояси роблять із кутників, а розкоси - із труб (круглих або прямокутних) або гнутого профілю. Для виготовлення стріл застосовують вуглецеві сталі звичайної якості, а також низьколеговані сталі.

У будівництві найбільшого поширення набули баштові крани з поворотною вежею (на поворотній платформі) і з поворотним оголовком (з неповоротною вежею).

### 1.3. Конструкції кранів

У кранах з поворотною вежею порівняно з кранами з поворотним оголовком маса високорозташованих елементів менша, а, отже, і нижче розташований загальний центр мас, що сприяє зменшенню загальної маси крана, підвищенню зручності його транспортування, монтажу тощо. У такого крана

гратчаста (або трубчаста) вежа 10 (рис. 1.4) кріпиться до поворотної платформи 3, яка через форно-поворотний пристрій 14 спирається на ходову частину 1.

На поворотній платформі розміщаються: противага 4, вантажна 12 та стрілова 11 лебідки і механізм обертання поворотної платформи 13. Стріла 8 кріпиться шарнірно до вежі і утримується канатними тягами, які через напрямні блоки з'єднані з рухомою обоймою стрілової ніжіспаста 5, ніжіспастом 16 за допомогою вантажної лебідки та гакової підвіски. Управління краном ведеться із кабіни 9. Зміна вильоту вантажу здійснюється нахилом стріли.

У баштових кранах для механізму підйому вантажу в залежності від вантажопідйомності застосовують одинарні та здвоєні поліспасти дво-тричотири- та більшої кратності.

У кранах з вантажним моментом 250 кНм і більше здійснюють горизонтальний хід підвіски 7 вантажного (рис. 1.4) при зміні вильоту вантажу. Для цього одну гілку підйомного каната (рис. 1.5), що обгинає блок 5 оголовка стріли і блок 6 оголовка вежі, закріплюють на барабані 7 вантажопідйомної лебідки, а іншу гілку - на конусній частині барабана 3 стрілопідйомної лебідки.

При підйомі стріли рухома гілка канату стрілового поліспаста навиватиметься на барабан 3, а гілка вантажного поліспаста - звиватиметься з нього.

Відповідним підбором кратності поліспастів і вибором діаметра і конфігурації барабана стрілопідйомної лебідки (наприклад, при конічному барабані) можна забезпечити близький догооризонталі хід гака при зміні вильоту стріли.

Поворотна платформа крана 3 (рис. 1.4) через опорно-поворотний пристрій 14 роликового або кулькового типу спирається на неповоротну раму 1. Конструкція опорної частини крана (рис. 1.6, а), включає нижню ходову раму 3, шарнірні кронштейни 2 і чотири ходові візки 1. У робочому положенні ходові візки утримуються важелями 5 відповідно до ширини рейкової колії. У

транспортному положенні візки встановлюють уздовж поздовжньої осі, зменшуючи ширину неповоротної частини крана.

Шарнірне кріплення віzkів з ходовою рамою забезпечує крану можливість переміщення криволінійним шляхом не вимагає демонтажу віzkів при переведені крана в транспортне положення. Для кращого вписування в криві ділянки шляхуприводні ходові візки розташовують з одного боку крана.

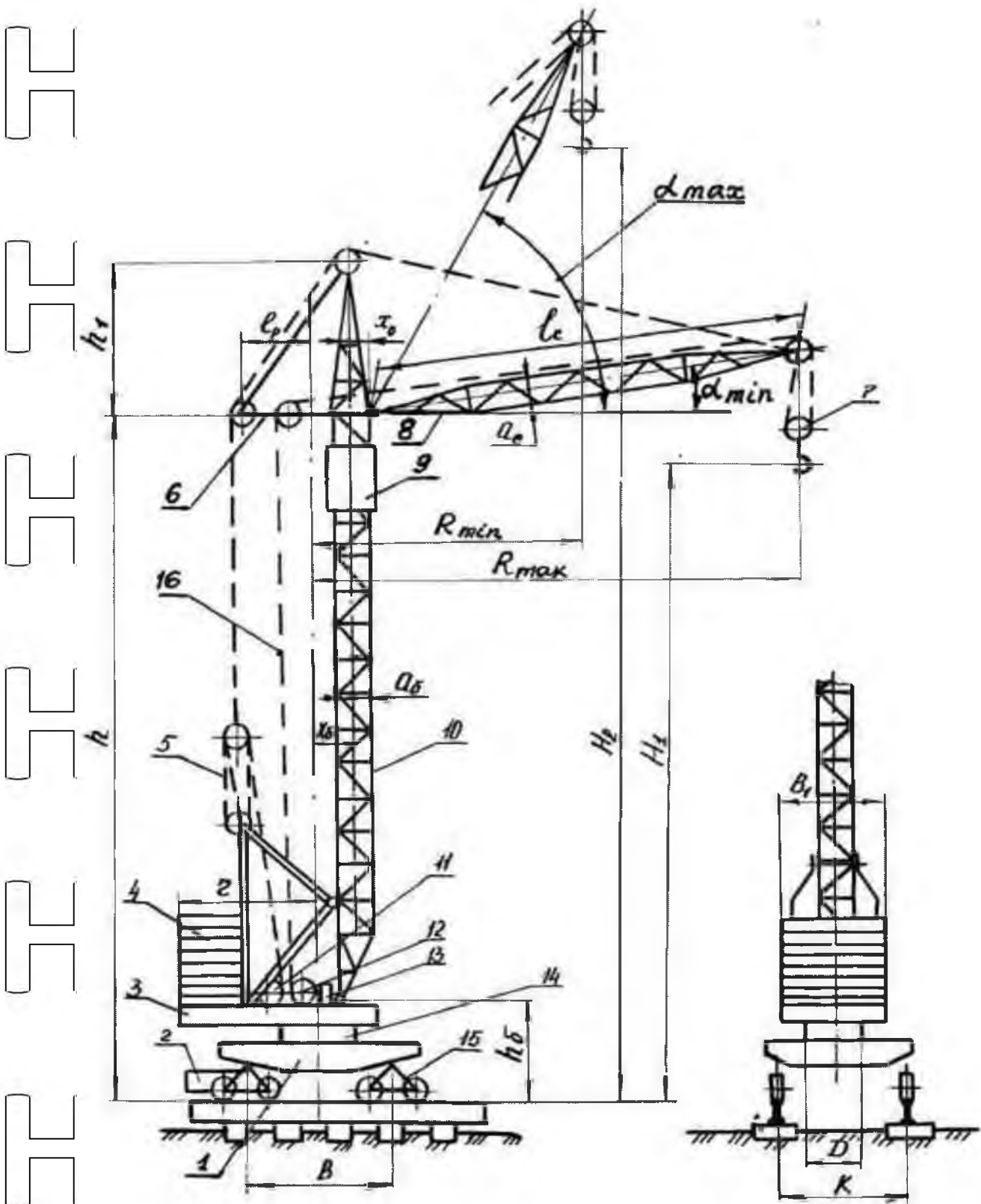


Рисунок 1.4 - Схема баштового крану з поворотною вежею: 1 - ходова рама;

2 - ходові візки; 3 - поворотна платформа; 4 - противагу; 5-16 - стріловий та вантажний поліспасті відповідно, 6 - відвідна стійка; 7 - тягова підвіска; 8 - стріла.

# НУБІП України

Ходові візки (привідні та непривідні) можуть мати два, три та більше

ходових коліс (рис. 1.6, б). Для рівномірного розподілу вантажень між колесами вони поєднуються в балансирні візки. Механізм пересування приводних ходових візків (рис. 1.6, в) складається з електродвигуна 10, муфти з гальмом 9, редуктора 8 і відкритої зубчастої передачі 6, що приводить до обертання ходові колеса 7. На ходовій рамі вертикальні та горизонтальні зусилля від поворотної частини крана.

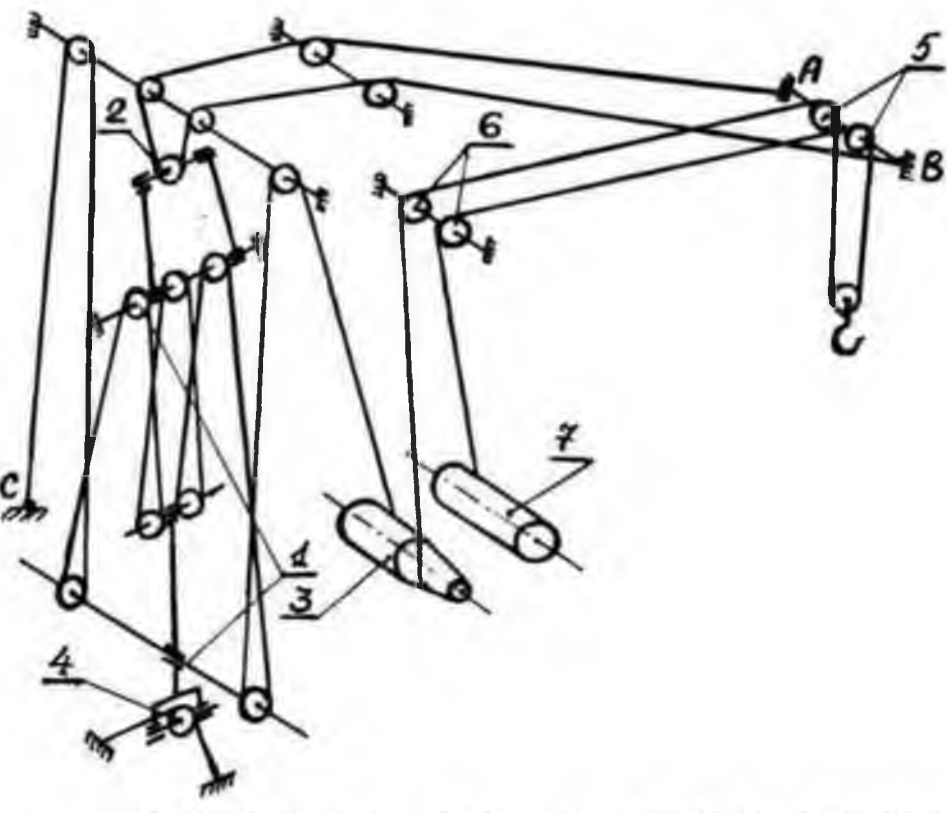


Рисунок 1.5 - Схема запасування канатів вантажного та стрілового поліспастів крана з поворотною баштою

# НУБІП України

У крана з неповоротною вежею та горизонтальною стрілою (рис. 1.7) вежа 10 через опорну частину - раму 1 (або портал) - встановлена на ходові візки 2 та 15, які перемінюють кран по рейковій колії. На опорній частині розташований баласт 4, що забезпечує стійкість крана в робочому та неробочому станах.

Поворотний оголовок 16 спирається на верхню секцію вежі через опорно-поворотний пристрій 14. Стріла 8 і противага консоль 17 шарнірно закріплені на поворотному оголовку і утримуються розтяжками 5 і 3. На противаговій консолі розміщена вантажна лебідка 12, 18, яка врівноважує верхню частину крана. По нижньому поясі стріли переміщується вантажна каретка 7 за допомогою тягової лебідки 6, розташованої всередині кореневої секції стріли.

Шарнірне кріплення візків з ходовою рамою забезпечує крану можливість переміщення по криволінійному шляху і не вимагає демонтажу візків при переведенні крана в транспортне положення. Дія кращого вписування в криві ділянки шляху приводні ходові візки розташовують з одного боку крана.

НУБІП України

НУБІП України

НУБІП України

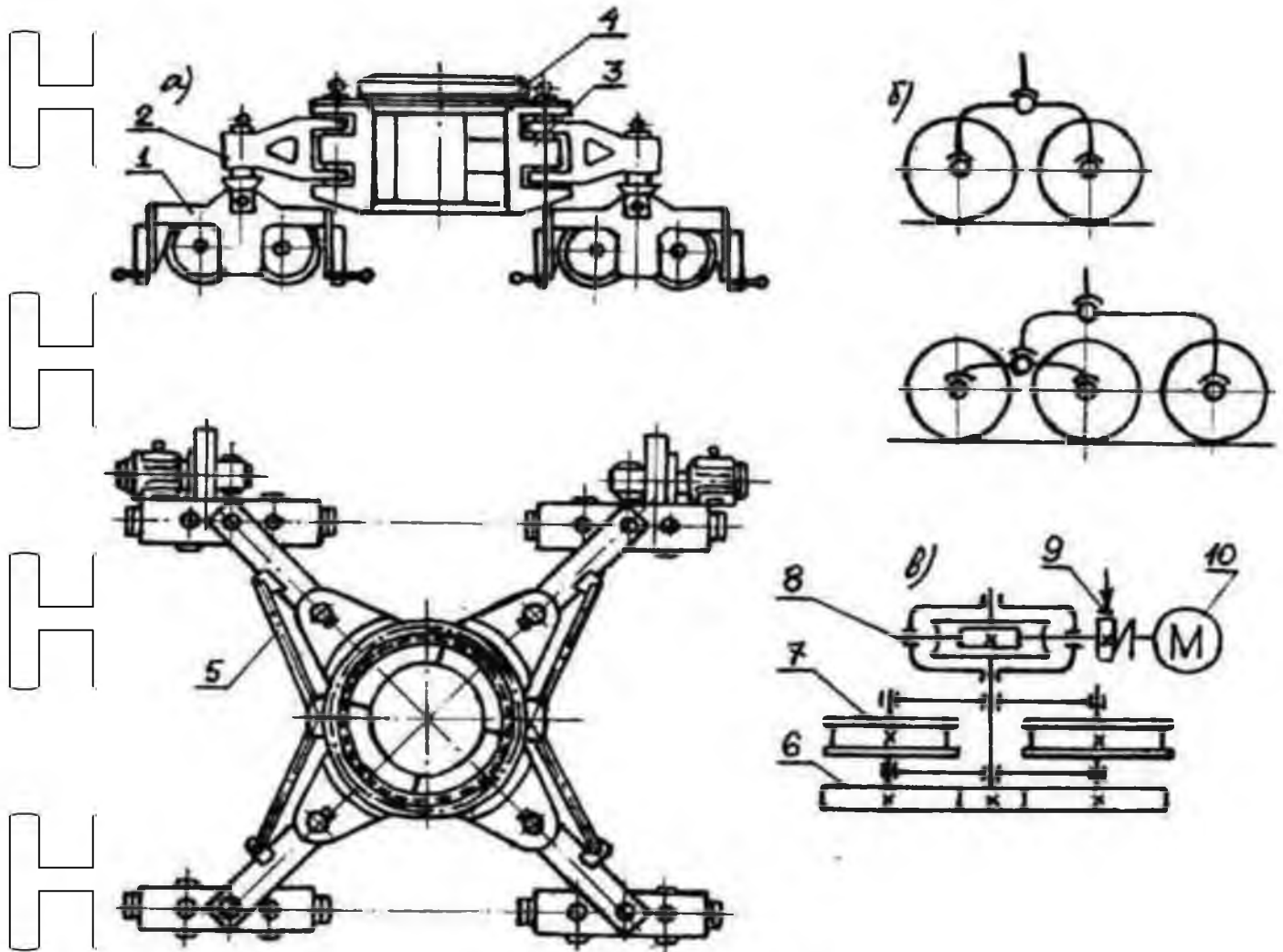


Рисунок 1.6 - Опорна частина баштових кранів із поворотною платформою:

а - загальний вигляд; б - схема балансирних ходових візків; в - кінематична схема механізму пересування. 1 - ходовий візок; 2 - шарнірний кронштейн; 3 - ходова рама; 4 - опорно-поворотний пристрій; 5 - тяга; 6 - зубчаста передача; 7 - ходове колесо; 8 - черв'ячний редуктор; 9 - муфта з гальмом; 10 - електродвигун

**НУБІЙ Україна**

При будівництві висотних споруд (висотою 150 м і більше) застосовують приставні (станціонарні) баштові крани (рис. 1.8, а). Вони виконуються з поворотним оголовком, горизонтальною стрілою і вантажною кареткою, що переміщується по ній. Приставні крани вмонтовують на фундаменті.

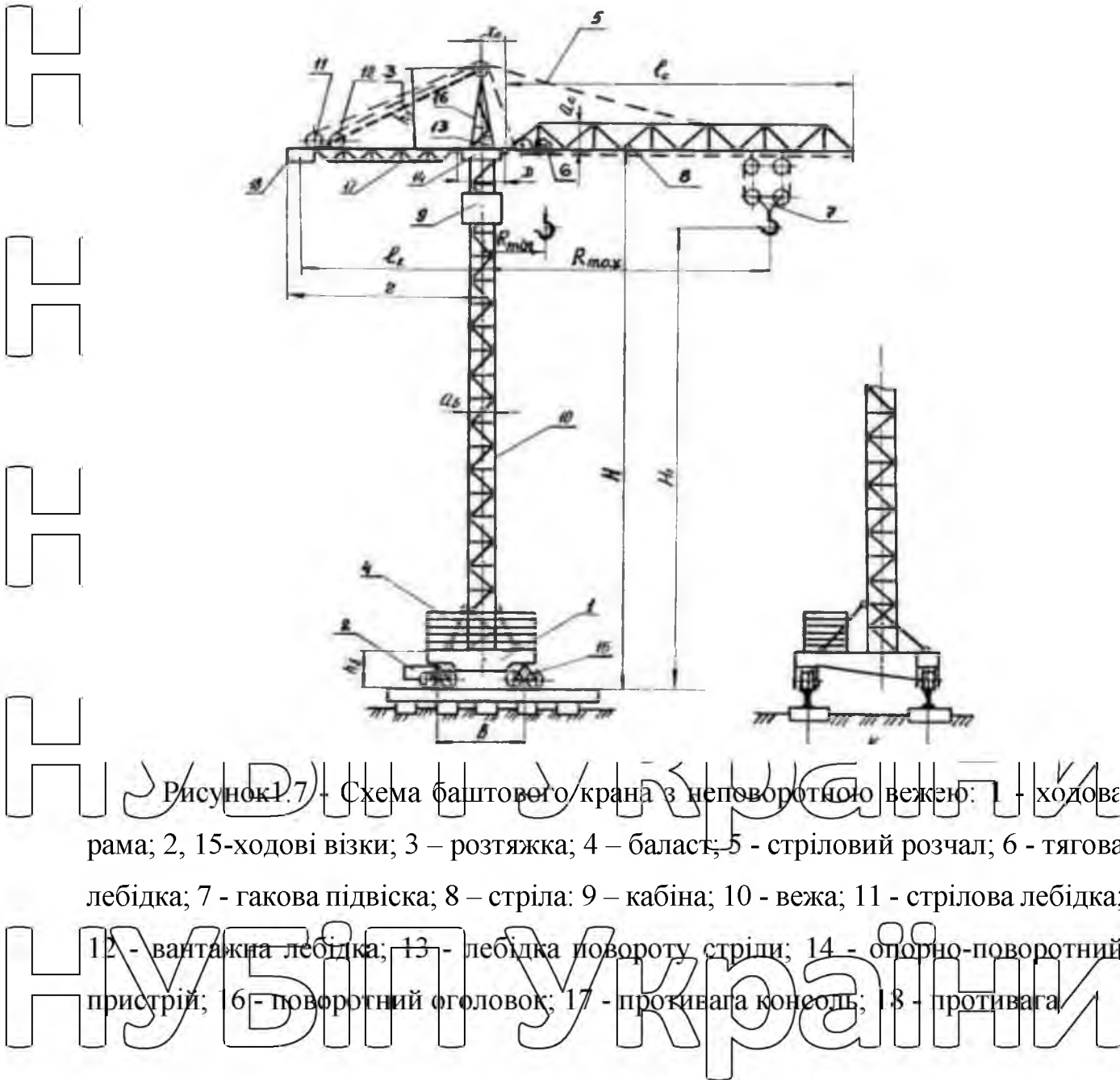


Рисунок 1.7 - Схема баштового крана з неповоротною вежею: 1 - ходова рама; 2, 15-ходові візки; 3 – розтяжка; 4 – баласт; 5 - стріловий розчал; 6 - тягова лебідка; 7 - гакова підвіска; 8 – стріла; 9 – кабіна; 10 - вежа; 11 - стрілова лебідка; 12 - вантажна лебідка; 13 - лебідка повороту стріли; 14 - опорно-поворотний пристрій; 16 - поворотний оголовок; 17 - противага консоль; 18 - противага

Збільшення висоти башти кранів здійснюється методом нарощування знизу або методом нарощування її зверху проміжними секціями, довжина яких становить 2,5...7 м. У приставних кранів та кранів з неповоротною вежею, що мають значну висоту підйому гака, нарощування ведеться методом зверху. При нарощуванні вежі дві крайні верхні секції кріплять до монтажної стійки 2 і розстикають між собою. Попередньо проміжна секція 4 піднімається гаковою підвіскою і навішується на висувну раму 3. Запасовування канатів монтажного поліса насту показано на рис. 6.8.

Монтажною лебідкою 7 верхня частина крана з оголовком, стрілою і противаговою консольлю переміщається вгору по напрямних стіках і в простір ручною лебідкою, що утворився між розстикуваними секціями, заводиться нова проміжна секція. Башта крана кріпиться до будівлі за допомогою закладних рам 1, що монтується між двома секціями (рис. 1.8, в).

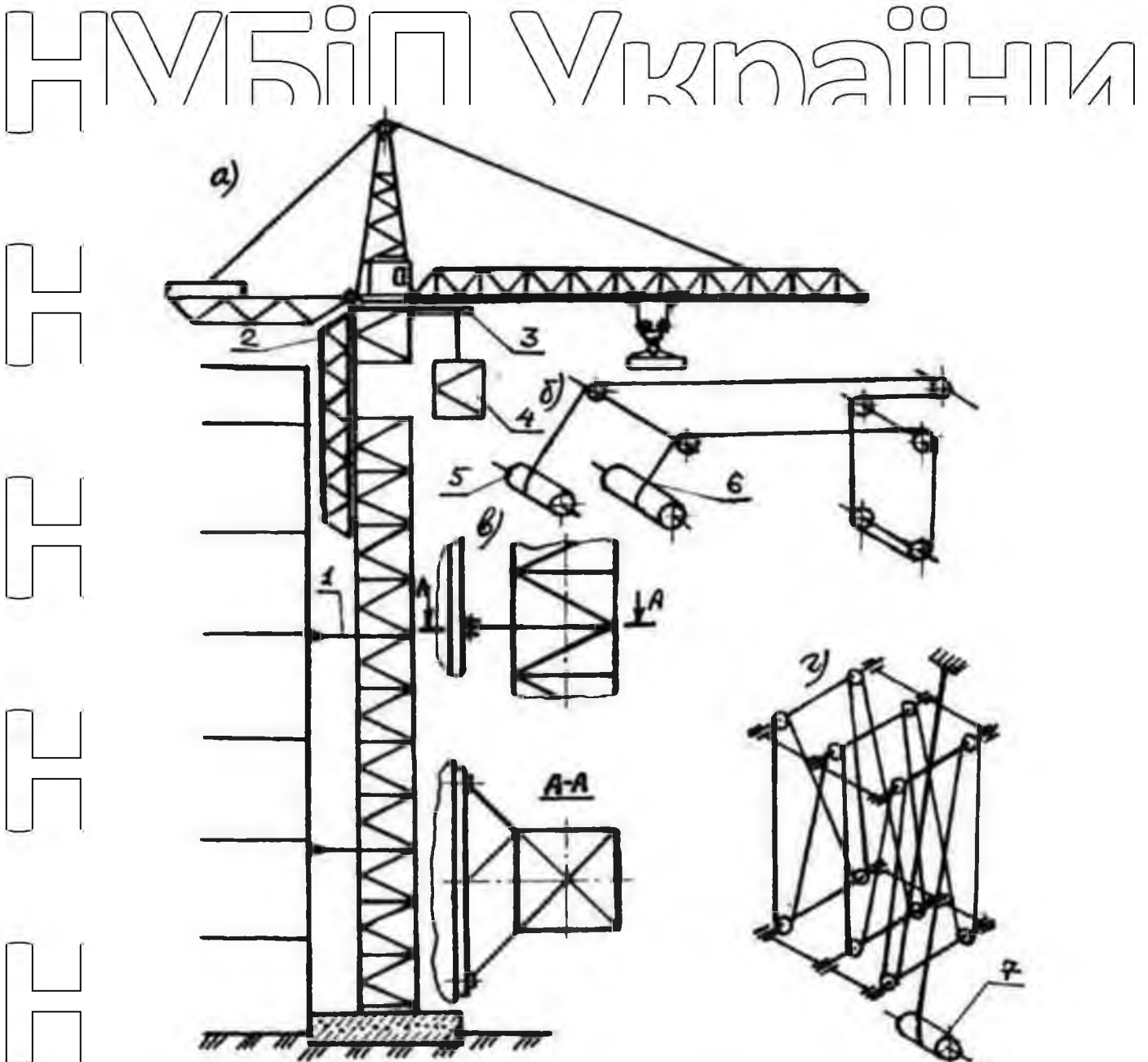


Рисунок 1.8 - Приставний (стационарний) кран: а - схема крана; б - схема запасовки вантажного каната; укріплення крана до будівлі; г -

запасовування каната моного поліспасту; 1 - заставна рама; 2 - монтажна стійка;

# НУБІП України

3 – висувна рама; 4 – проміжна секція; 5, 6 – вантажні лебідки; 7 монтажна лебідка

У кранах з поворотною вежею механізми і контрвантаж розміщують на поворотній платформі, розташованій над опорно-поворотним пристроєм (ОПУ) (рис. 1.9, а, б), а в кранах з поворотним оголовком - на противагової консолі (рис. 1.9, в), можливості врівноваження оголовка з поворотною частиною крана при монтажі, демонтажі та нарощуванні вежі, причому у великогабаритних кранах противага може бути рухомою.

Поворотні вежі кранів типу КБ виконані розвантаженими від дії згинального моменту, що створюється вантажем та стрідою. Розвантаження вежі досягається дією зворотного моменту, що створюється заднім стріловим поліспастом з розчалом. У таких кранах до оголовка стріли прикріплюють одну або дві канатні відтяжки (розчал), що огибають всі блоки, розміщені на розпорі, що створює додаткове завантаження башти крана. Завдяки такому компенсуючому навантаженню вежі у бік противаги, вежа при створенні моменту від ваги вантажу та стріли розвантажується.

# НУБІП України

# НУБІП України

# НУБІП України

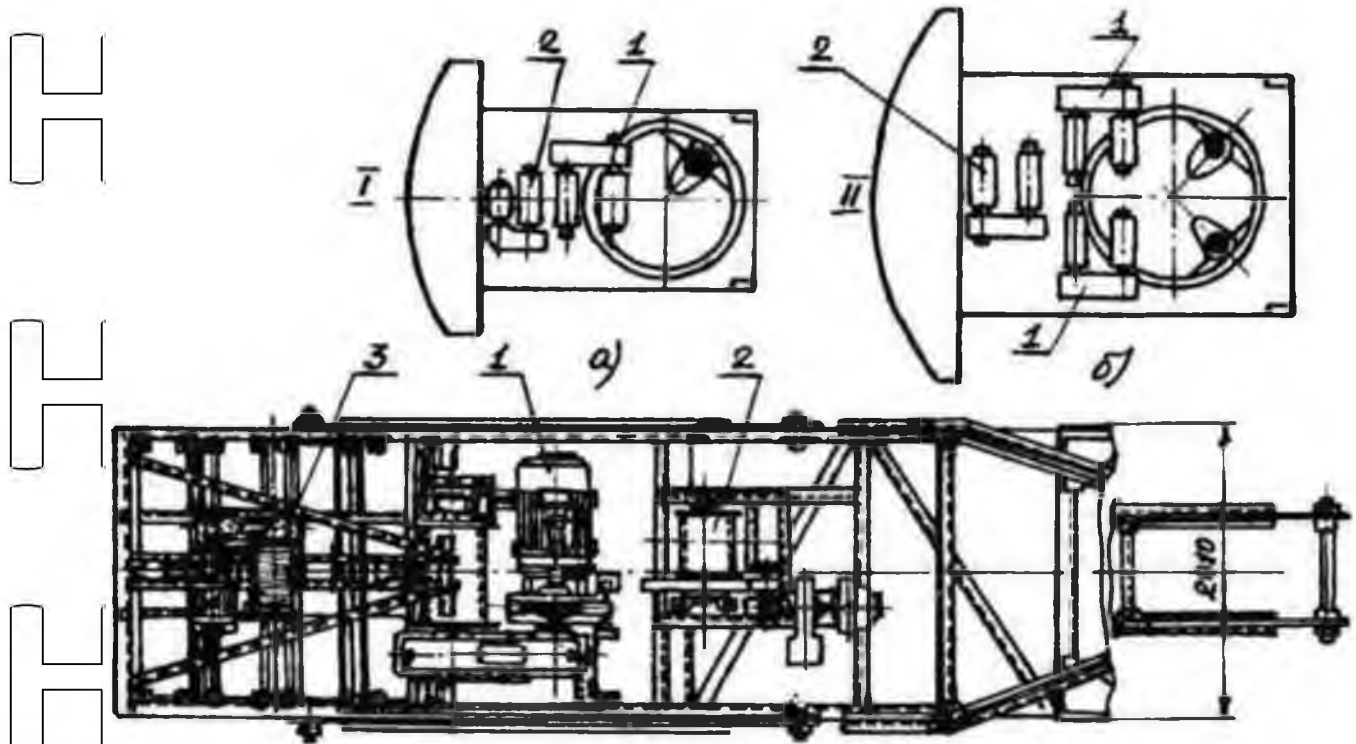


Рисунок 1.9 - Розміщення механізмів баштового крана:

а, б - у кранах з поворотною вежею; в - в кранах з поворотним оголовком; I - при малій вантажопідйомності; II - при великій вантажопідйомності; 1 - вантажна лебідка; 2 - стрілова лебідка; 3 - тягова лебідка

Управління механізмами баштових кранів здійснюється командою контролерами з кабіни, що зазвичай розміщується збоку верхньої частини вежі. Відомі конструкції баштових кранів з кабінами, що переміщаються вздовж башти крана відповідно до рівня подачі матеріалів на об'єкт, що зводиться. Є також крани (наприклад, моделі КБ-674), обладнані підйомником, що знаходиться всередині вежі, для підйому кранівника в кабіну управління. Пульт керування механізмами розміщується в кабіні крана, а саме керування здійснюється магнітними контролерами - контакторами. Можливе також дистанційне та радіокерування краном.

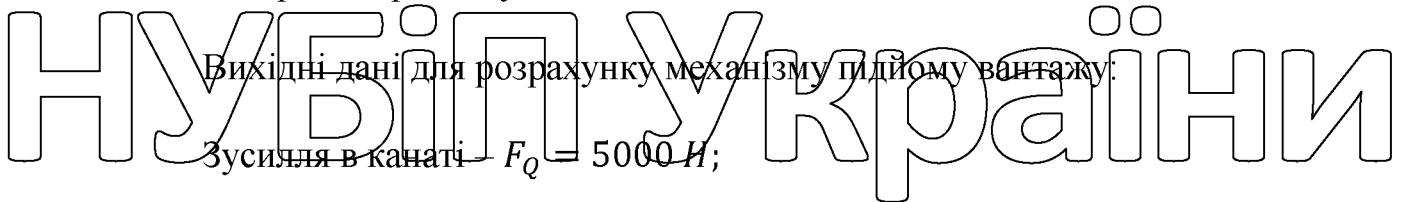
Колія баштових кранів залежить від їхньої вантажопідйомності, довжини стріли та висоти вежі і становить 4...10 м.

# РОЗРОБКА КОНСТРУКЦІЇ І РОЗРАХУНКИ МЕХАНІЗМІВ

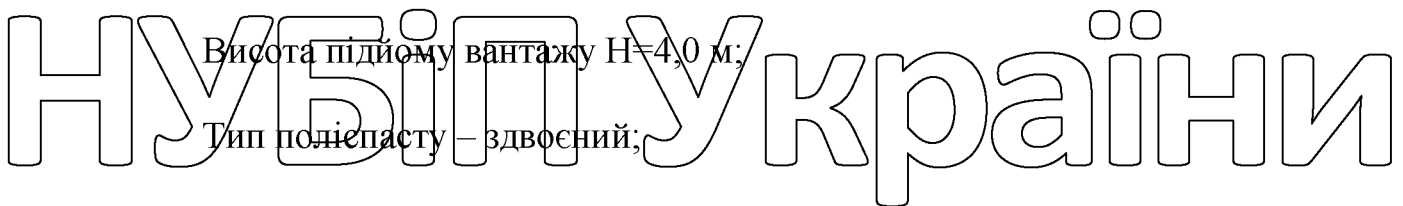
## 1.4. Механізм підйому вантажу



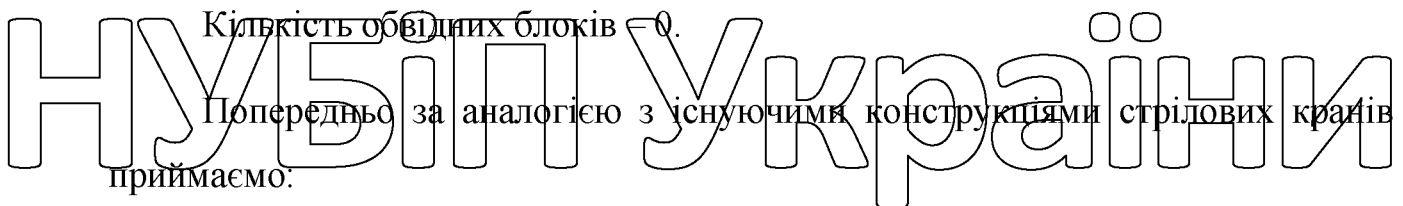
Вибір електродвигуна.



Швидкість підйому вантажу -  $V = 8 \text{ м/хв}$ ;



Кратність поліспасту –  $m=1$ ;



$$k_{HE} := 0.63$$

$$\Pi \text{В} := 25\%$$



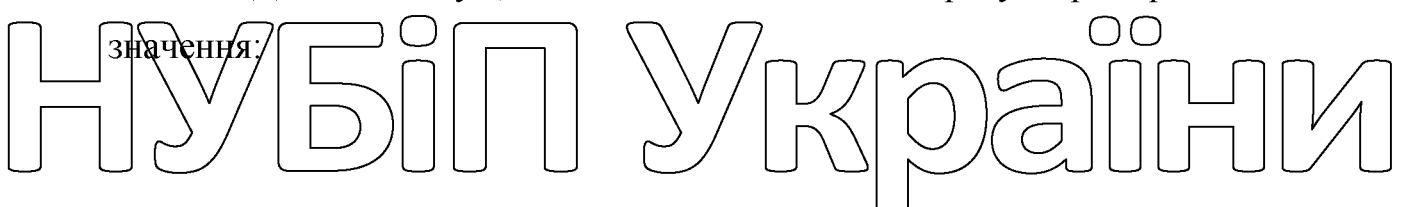
$$\eta_{бл} := 0.97$$

$$\eta_{пол} := \frac{(1 + \eta_{бл}) \cdot \eta_{бл}^2}{a}$$

$$\eta_{пол} = 0.927$$



ККД поліспасту , відхиляючих блоків та редуктора приймають такі



**НУБІП** України

ККД приводу механізму підйому вантажу для волнового редуктора

$\eta_{ред} := 0.85$

$\eta_{мех} := 0.98 \cdot \eta_{ред} \cdot 0.99$

$\eta_{мех} = 0.764$

визначається за формулою

**НУБІП** України

$P_{ст} := \frac{(F_Q + G_{захв}) \cdot V}{60 \cdot 1000 \eta_{мех}}$

Потужність (кВт) при підйомі номінального вантажу вагою  $F_Q$  (Н) з швидкістю  $V$  (м/хв), що встановилася визначається наступним чином:

**НУБІП** України

$P_{ст} := \frac{(F_Q + G_{захв}) \cdot V}{60 \cdot 1000 \eta_{мех}}$

**НУБІП** України

**НУБІП** України

**НУБІП** України

**НУБІП** України

**НУБІЙ Україні**

де  $G_{захв}$  – вага вантажозахоплювального пристрою механізму підйому:

$G_{захв} = 0.03 F_Q$        $G_{захв} = 150 \text{ кг}$

**НУБІЙ Україні**

В результаті проведених розрахунків потужність приводу механізму підйому становить  $P_{ct} = 0,898 \text{ кВт}$ .

Перевірку часу запуску не проводимо.

**НУБІЙ Україні**

При керуванні з підлоги механізму підйому виберемо двигун типу 4АС (трифазний асинхронний з підвищеним ковзанням).

**НУБІЙ Україні**

З міркувань компактності та економічної вибираємо двигун із синхронною частотою обертання 3000 об/хв (4АС71А2У3,  $P=1,06 \text{ кВт}$  при  $\Pi\text{В}=25\%$ ,  $n=2700 \text{ об/хв}$ ,  $m=2.2 \text{ кг/сек}$  для фланцевого виконання).

**НУБІЙ Україні**

Вибір канату механізму підйому

**НУБІЙ Україні**

Максимальне зусилля в канаті визначається за формулою:

$F_{max} := \frac{F_Q + G_{захв}}{a \cdot m \cdot \eta_{пол}}$        $F_{max} = 2.778 \times 10^3 \text{ Н}$

**НУБІЙ Україні**

Коефіцієнт запасу К міцності канату [1, с.25] приймаємо рівним 5.5.

Руйнівне навантаження для цього канату становить виходячи з формулі:

**НУБІЙ Україні**

$F_{паз} := K \cdot F_{max}$        $F_{паз} = 1.528 \times 10^4 \text{ Н}$

В результаті проведених розрахунків отримуємо

$F_{поз} = 15280 \text{ Н.}$

# НУБІП України

Відповідно до розрахунку вибираємо Канат типу ЛК-Р0 діаметром  $d_{\text{кан}} =$

6,7 мм (маркування група 1764-180)

Визначення основних розмірів барабана

# НУБІП України

Діаметр барабана з дном калавки  $e = 22$  [1, с.26] визначаємо за наступною

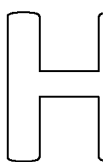
залежністю:

$$d_{\text{кан}} := 6.7 \text{ мм}$$

$$D_{\text{бап}} := d_{\text{кан}} \cdot (e - 1)$$

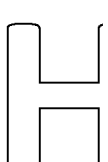
$$e := 22$$

$$D_{\text{бап}} = 140.7 \text{ мм}$$



В результаті проведених розрахунків отримуємо

$$D_{\text{бап}} = 140,7 \text{ мм.}$$



Крок нарізки барабана визначається за формулою

$$p := 1.1 \cdot d_{\text{кан}}$$

$$p = 7.37 \text{ мм}$$

В результаті проведених розрахунків отримуємо

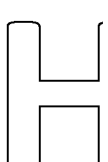
# НУБІП України

$P = 7,37 \text{ мм.}$

Округляємо до 0,5 мм, і приймаємо крок нарізки барабана  $p = 7,5 \text{ мм.}$

Товщина стінки барабана для сталі Ст.3 приймається рівною діаметру

каната:



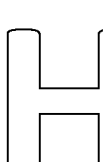
$$\delta := d_{\text{кан}}$$

$$\delta = 6.7 \text{ мм}$$



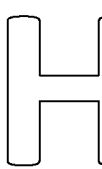
В результаті проведених розрахунків отримуємо

$$\delta = 6,7 \text{ мм.}$$



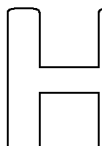
Довжина барабана, на який намотується одна гілка каната, визначається за формуллю:

$$L_{\text{бап}} := p \cdot (z_p + 6)$$

 де  $z_p$  – кількість робочих витків на барабані, яка визначається наступним чином:

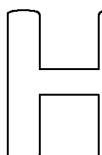
$$z_p := \frac{a \cdot H}{\pi \cdot (D_{бap} + d_{кан})} \quad z_p = 17.276$$

В результаті проведених розрахунків отримуємо

  $z_p = 17,276$

Приймаємо кількість робочих витків  $z_p=18$ .

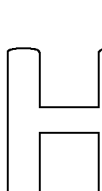
Тоді довжина барабана визначається за формулою

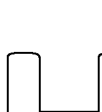
  $L_{бap} := p \cdot (z_p + 6)$   $L_{бap} = 180 \text{ mm}$

В результаті проведених розрахунків отримуємо

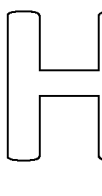
$$L_{бap} = 180 \text{ mm.}$$

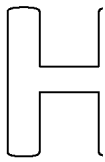
 Розрахунок на міцність барабана. Напруження від стиснення в стінці барабана повинно бути меншим за допустиме напруження (110 МПа для сталі С.т3): Напруження стиснення визначається наступною залежністю

  $\sigma_{сж} := \frac{F_{max}}{\delta_p} \quad \sigma_{сж} = 55.292 \text{ MPa}$  В результаті проведених розрахунків отримуємо  $\sigma_{ct} = 55,292 \text{ MPa}$

 Отже умову міцності виконано, бо дійсне напруження 55,292 менше за допустиме 110 мПа..

Визначення передаточного відношення приводу

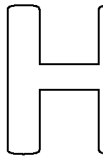
 Частота обертання барабанавизначається за формулою



$$n_{\text{бап}} := \frac{a \cdot V}{\pi \cdot (D_{\text{бап}} + d_{\text{кан}})} \quad n_{\text{бап}} = 34.552 \frac{\text{об}}{\text{мин}}$$

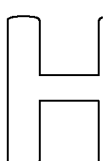
В результаті проведених розрахунків отримуємо

$$n_{\text{бап}} = 34,552 \frac{\text{об}}{\text{хв}}$$



Необхідне передатне відношення приводу механізму підйому визначається за формулою:

Для двигуна з синхронною частотою обертання 3000 об/хв:

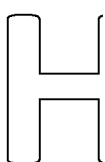


$$n_{\text{дв}} := 2700$$

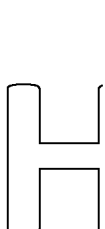
$$i' := \frac{n_{\text{дв}}}{n_{\text{бап}}} \quad i' = 78.143$$

В результаті проведених розрахунків отримуємо

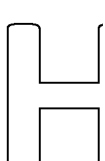
$$i = 78,143 /$$



За такого передатного числа необхідне застосування хвильового редуктора.



Остаточно вибираємо електродвигун із синхронною частотою обертання 3000 об/хв, марки 4АС71А2УЗ, потужністю Р=1,06 кВт при тривалості включень ПВ=25%.

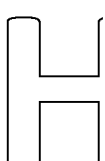


Крутний момент на барабані визначається наступною залежністю:

$$T_{\text{бап}} := \frac{F_{\max} (D_{\text{бап}} + d_{\text{кан}}) \cdot m}{2} \quad T_{\text{бап}} = 204.769 \quad \text{Н}\cdot\text{м}$$

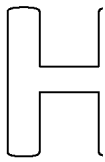
В результаті проведених розрахунків отримуємо

$$T_{\text{бап}} = 204,769 \text{ Нм}$$



Найбільший крутний момент на тихохідному валу редуктора визначається за такою формулою:

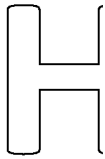
$$\eta_{\text{бап}} := 0.98 \quad \eta_M := 1$$



$$T_{\max} := \frac{T_{\text{бар}}}{\eta_{\text{бар}} \cdot \eta_M} \quad T_{\max} = 208.948 \quad \text{Н}\cdot\text{м}$$

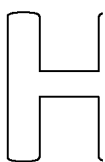
В результаті проведених розрахунків отримуємо

$$T_{\max} = 208.948 \text{ Нм.}$$

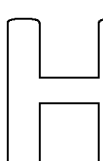


Здійснемо розрахунок параметрів хвильової передачі за допомогою спеціального пакету програм:

### ВИХІДНІ ДАНІ ДЛЯ РОЗРАХУНКУ



Тип генератора хвиль. . . . . КУЛАЧКОВИЙ



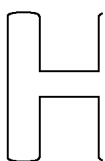
Обертовий момент на тихохідному валу, Н.м. . 209.0

Частота обертання генератора хвиль, об/хв. . 2700.

Ресурс редуктора, год. . . . . 10000.

Режим навантаження. . . . . 4.

Передавальне відношення . . . . . 81.00

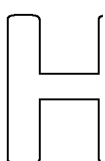


Межа витривалості матеріалу редуктора

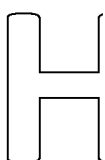
гнучкого колеса при згині, МПа. . . . . 420.0

Коефіцієнт безпеки

по втомній міцності гнучкого колеса. 1.65

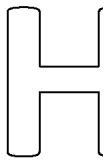


### РЕЗУЛЬТАТИ РОЗРАХУНКУ



Характеристика механізму



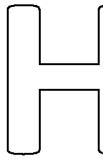


Передатне відношення механізму редуктора . . . . . 86.500

Діаметр отвору гнучкого колеса, мм. . . . . 120.

Обертовий момент на швидкісному валу, Н.м. . 3.0

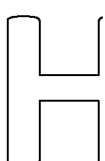
на тихохідному валу, Н.м. . . . . 209.0



Частота обертання швидкохідного валу, об/хв. . . 2700.0

тихохідного валу, об/хв. . . . . 31.2

маса редуктора, кг

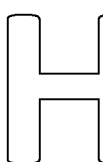


Механізму. . . . . 14.2

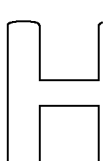
Коліс. . . . . 2.6

Генератора хвиль. . . . . 1.5

Модуль зубчастого зачеплення, мм. . . . . 700



### *Якісні показники*

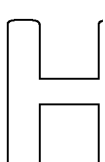


Коефіцієнт безпеки за втомною

міцності гнучкого колеса. . . . . 1.75

Ймовірність неруйнування гнучкого колеса, %. . . . . 99.9

Момент по пружній податливості ланок, Н.м

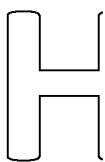


Максимальний. . . . . 1053.3

Мінімальний. . . . . 741.2

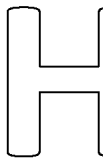
Імовірнісний ( $P=0.95$ ) пружний кутовий люфт

(мертвий хід тихохідного валу), хв. . . . . 84



Результатуюча сила тиску на генератор

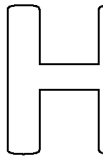
у кожній зоні зачеплення, Н . . . . . 1343.7



Коефіцієнт корисної дії, % . . . . . 79.6

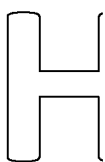
Параметри зубчастого колеса Гнучкого Жорсткого

Число зубів 171 173.



Коефіцієнт зміщення вихідного контуру. 3.459 3.438

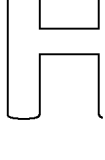
Діаметри, мм:



Ділильний 119.700 121.100

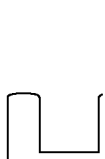


Вершин. . . 124.857 124.513

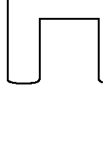


Западин. . . . . 122.652 127.121

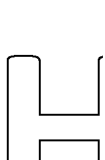
Ширина зубчастого вінця, мм 24.0 28.8



Товщина обода зубчастого вінця, мм. 1.33 20.14



Діаметр вимірювального ролика, мм 1.591 1.591

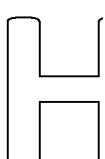


Розмір за роликами (номінальний), мм 126.880 122.423

Довжина загальної нормалі, мм 51.895 51.905



### *Параметри генератора хвиль*



Максимальна радіальна деформація, мм. . . 769

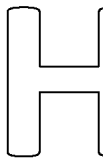


Необхідна динамічна вантажність підшипника, Н 5982.

Очікувана динамічна вантажопідйомність

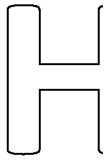
гнучкого підшипника генератора хвиль, Н . . . 28897.





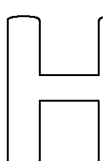
Ймовірність неруйнування гнучкого підшипника, %. 99.7

*Параметри для довідок*



Максимальна глибина заходу зубів коліс, мм. . . 86

Розрахункова максимальна радіальна деформація  
гнучкого колеса, мм.

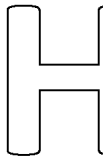


Товщина зубів на колі вершин, мм.

Гнучкого колеса. . . . . 75

Жорсткого колеса. . . . . 73

Ефективний коеф.концентрації напружень гнучкого вінця 1.53

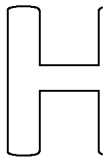


Коефіцієнт збільшення напруг у гнучкому вінці

при навантаженні. . . . . 1.43

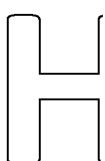
Амплітуда знакозмінного напруження

у гнучкому вінці, МПа. . . . . 239.7



Допустиме напруження вигину, МПа. . . . . 420.0

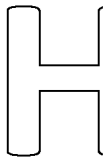
Напруження змінання на поверхні зубів, МПа. . . . . 6.1



*Параметри довбака*

Число зубів. . . . . 57.

Діаметр дільницького кола, мм . . . . . 40.000



Діаметр вершин, мм. . . . . 41.790

Коефіцієнт зміщення вихідного контуру. . . . . 000



H

Фактична швидкість підйому вантажу визначається так:

$$V_{\phi} := \frac{n_{\text{ДВ}} \cdot \pi \cdot (D_{\text{бар}} + d_{\text{кан}})}{i \cdot a} \quad V_{\phi} = 7.227 \frac{\text{м}}{\text{мин}}$$

H

В результаті проведених розрахунків отримуємо

$$V = 7,227 \frac{\text{м}}{\text{хв}}$$

Відрізняється від заданої ( $V=8$  м/хв) на 9.661% меншу сторону, що допустимо для механізмів підйому вантажу такого типу.

H

Виходячи з отриманих результатів розрахунку, збільшимо діаметр барабана з конструктивних міркувань і проведемо розрахунки за такими формулами:

H

$$D_{\text{бар}} := 180 \text{ мм}$$

$$z_p := \frac{a \cdot H}{\pi \cdot (D_{\text{бар}} + d_{\text{кан}})} \quad z_p = 13.639$$

$$z_p := 14$$

H

$$L_{\text{бар}} := p \cdot (z_p + 6) \quad L_{\text{бар}} = 150 \text{ мм}$$

H

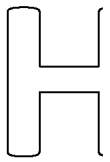
$$n_{\text{бар}} := \frac{a \cdot V}{\pi \cdot (D_{\text{бар}} + d_{\text{кан}})} \quad n_{\text{бар}} = 27.279 \frac{\text{об}}{\text{мин}}$$

$$i' := \frac{n_{\text{ДВ}}}{n_{\text{бар}}} \quad i' = 98.978 \quad i := 101.5$$

H

$$V_{\phi} := \frac{n_{\text{ДВ}} \cdot \pi \cdot (D_{\text{бар}} + d_{\text{кан}})}{i \cdot a} \quad V_{\phi} = 7.801 \frac{\text{м}}{\text{мин}}$$

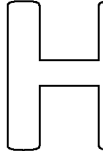
HydroUkraini



$$T_{\text{бап}} := \frac{F_{\max}(D_{\text{бап}} + d_{\text{кан}}) \cdot m}{2} \quad T_{\text{бап}} = 259.365 \quad \text{Н}\cdot\text{м}$$

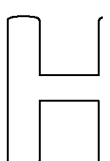
$$\eta_{\text{бап}} := 0.98 \quad \eta_M := 1$$

$$T_{\max} := \frac{T_{\text{бап}}}{\eta_{\text{бап}} \cdot \eta_M} \quad T_{\max} = 264.658 \quad \text{Н}\cdot\text{м}$$



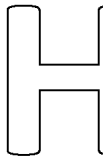
В результаті проведених розрахунків отримуємо такі кінцеві значення конструктивних параметрів механізму підйому вантажу:

$$D_{\text{бап}} = 180 \text{ мм}; \quad z_p = 14; \quad L_{\text{бап}} = 150 \text{ мм}; \quad n_{\text{бап}} = 27,279 \frac{\text{об}}{\text{хв}}; \quad i = 101,5;$$



$$V = 7,801 \text{ м/хв}; \quad T_{\text{бап}} = 259,365 \text{ Нм}; \quad T_{\max} = 264,658 \text{ Нм}.$$

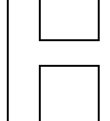
Розрахунок дискового гальма.



Вибір гальма здійснюється за величиною гальмівного моменту.

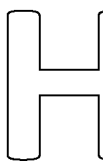
Момент від вантажу на валу гальмівного шківа визначається за такою

формулою:



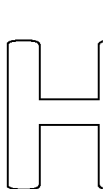
$$T_{\text{гр}} := \frac{(F_Q + G_{\text{захв}}) \cdot (D_{\text{бап}} + d_{\text{кан}})}{2 \cdot a \cdot i} \cdot \eta_{\text{обр}}$$

Де



$$\eta_{\text{обр}} := 0.5 \cdot (1 + \eta)$$

$$\eta := \eta_{\text{ред}} \cdot \eta_{\text{бап}} \cdot \eta_{\text{пол}} \quad \eta = 0.711$$



$$T_{\text{гр}} := \frac{(F_Q + G_{\text{захв}}) \cdot (D_{\text{бап}} + d_{\text{кан}})}{2 \cdot a \cdot i} \cdot \eta_{\text{обр}} \quad T_{\text{гр}} = 2.026 \quad \text{Н}\cdot\text{м}$$

В результаті проведених розрахунків отримуємо



$$T_{tp} = 2,026 \text{ Нм.}$$

H

Необхідний гальмівний момент гальма визначається наступним чином:

$$T_T := K_{\text{торм}} \cdot T_{\text{гр}}$$

H

де  $K_{\text{торм}} = 2.0$  [1,]:

$$T_T := K_{\text{торм}} \cdot T_{\text{гр}}$$

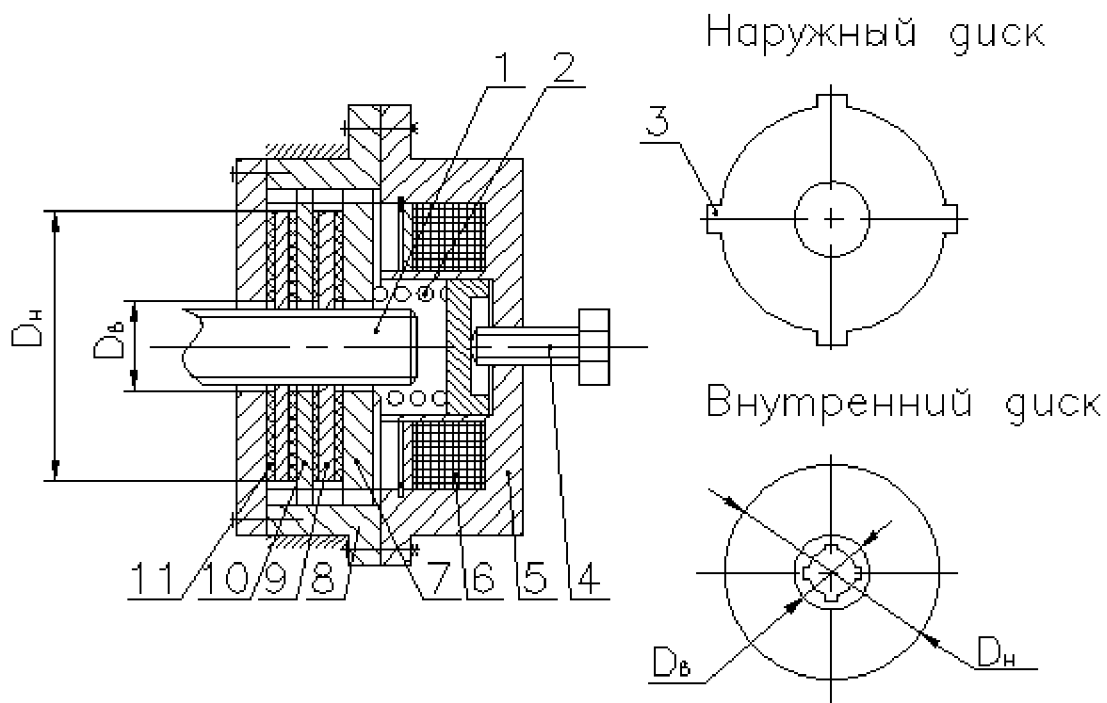
$$T_T = 4.052 \text{ Н·м}$$

В результаті проведених розрахунків отримуємо

H

$$T_{tp} = 4,059 \text{ Нм.}$$

H



H

Рисунок 2.1 - Дискове гальмо

Нормально замкнене гальмо замикається при вимкненні живлення електродвигуна механізму пружиною стиснення 2. Гвинтом 4 регулюють силу пружини

2, а, отже, і момент  $T_m$ , що створюється гальмом.

На загальному валу 1 на шпильках встановлені внутрішні диски 9, що мають фрикційні накладки 11. У церхому корпусі 8 встановлені на шпильках 3

зовнішні диски 10 і 7. Диск 7 є одночасно якорем електромагніту. У осерді 5 встановлена котушка 6 магніту. Гальмо розмикається при включені живлення електродвигуна механізму підйому вантажу. Одночасно із включенням живлення електродвигуна подають струм на котушку 6 магніту. Якір 7 притягується до осердя 5, стискаючи пружину 2, розмикає гальмо.



Момент, що створюється гальмом визначається за формулою

$$T_m = F_a \cdot f \cdot i \cdot \frac{D_{cp}}{2},$$

де  $F_a$  - осьова сила, що створюється пружиною 2;  
 $f$  - коефіцієнт тертя (0,42 під час роботи всуху);

$i$  – кількість пар поверхонь тертя;

$D_{cp}$  – середній діаметр фрикційних накладок.  
 $D_h$  та  $D_b$  – зовнішній та внутрішній діаметри фрикційних накладок.

Середній діаметр накладок визначається наступним чином

$$D_{cp} = \frac{D_h + D_b}{2}.$$

Розрахунок пружини.

Зовнішній діаметр гальмівного диска  $D_h$  приймаємо конструктивно відповідно з діаметром барабана: приймаємо  $D_h = 180$  мм. Внутрішній діаметр вдвічі менший від зовнішнього  $D_b = 0.5 * D_h = 90$  мм. Напіврізниця радіусів дисків задовільняє умові  $R_h - R_b \leq 60\text{мм}$  [1,1]. Тоді середній діаметр диска гальмівне зусилля визначаються за формулами і приймають наступні числові значення:

$$D_{cp} = \frac{180 + 90}{2} = 135\text{мм}$$

H

$$F_a = \frac{T_T * 2}{f * i * D_{cp}} = \frac{4.052 * 2}{0.42 * 1 * 0.135} = 143H$$

Тиск на робочих поверхнях фрикційних обкладок визначається з наступної умови і приймає такі значення:

H

$$p = \frac{F_a}{\pi(R_H^2 - R_B^2)} \leq [p]$$

$$p = \frac{143}{\pi(0.09^2 - 0.045^2)} = 7492Pa = 7.49 * 10^{-3} MPa$$

Допустиме значення тиску приймається за наведеними рекомендаціями

H

$$p < [p] = 0.2 MPa [1]$$

Початковий сумарний осьовий зазор між поверхнями, що контактують в процесі тертя визначається за формулою

H

$$\varepsilon_{\text{наг}} = 0.3 + 0.1 * i = 0.4mm$$

Найбільший зазор приймає таке значення  $\varepsilon_{\text{max}} = 1.6 * \varepsilon_{\text{наг}} = 1.6 * 0.4 = 0.64mm$

При досягненні максимального проміжку здійснюють регулювання зазору до початкового значення, яке було визначене попередньою залежністю.

H

Сила притиснення дисків пружиною визначається залежністю

$$F_{np} = \frac{F_a}{3} = \frac{T_T * 2}{3 * f * i * D_{cp}} = \frac{4.052 * 2}{3 * 0.42 * 1 * 0.135} = 47.6H$$

H

Пружини стиснення вибираємо тарілчасті, оскільки динамічне навантаження, деформація кожної тарілки  $< 0.6mm$ , де  $s = \pi r^2$  [3],  $F_n = F$ . Пружини в пакет встановлюються за допомогою спрямовуючого стрижня.

Остаточно вибираємо тарілчасті пружини за ДСТУ 3057-90, тип 1,  $F_{\text{max}} = 132H$ , при дії сили  $F_{\text{пр}} = 47.6H$  осаду одного диска складе приблизно  $0.2s$ , тобто.

H

$0.09mm$ . Якщо відрегулювати гальмо на повний нормальний момент, то робоча довжина стиснутої пружини визначається залежністю, з якої отримуємо числове значення

H

$$L_{\text{пак}} = L_{\text{об}} - \Delta l_1 z = 8 * l_0 - 0,09 * 8 = 8 * 0,8 - 0,568 = 5.832 \text{мм}$$

де  $z$  – число пружин у пакеті,

$\Delta l_1$  – осідання однієї пружини під навантаженням.

H

Розрахунок електромагніту.

H

Робота кільцевого електромагніту визначається з наступної умови:

$$\Phi_m = F_m s_m \geq 1,25 * F_{np} * E_{max} = 1,25 * 47,6 * 0,64 = 38,4 \text{Нм}$$

де  $F_m$  – тягова сила магніту;

$s_m$  – хід якоря.

H

Площа повітряного зазору між корпусом електромагніту та якорем визначається за такою залежністю і приймає наступне числове значення:

$$A_{z3} = \frac{\pi}{4} (d_2^2 - d_1^2) + (d_4^2 - d_3^2) = \frac{\pi}{4} (0,038^2 - 0,031^2) + \frac{\pi}{4} (0,095^2 - 0,091^2) = 1,1 * 10^{-3} \text{м}^2$$

H

Індукція електромагнітного поля у повітряному зазорі визначається за формулою і приймає числове значення:

H

$$B_o = \sqrt{\frac{F_a \mu_o}{A_{z3}}} = \sqrt{\frac{142,8 \times 4\pi \times 10^{-7}}{1,1 \times 10^{-3}}} = 0,4 \text{ Тл}$$

де  $\mu_o = 4\pi \times 10^{-7} \text{ Гн/м}$  – магнітна постійна.

H

$$H_o = \frac{B_o}{\mu_0} = \frac{0,4 * 10^{-6}}{4\pi * 10^{-7}} = 0,318 \text{ А/м}$$

**Н**апруженість магнітного поля в повітряному зазорі визначається таким чином:

$$H_w = 2H_0 \varepsilon_{\max} = 2 \times 0,318 \times 0,64 \times 10^{-3} = 4,07 \times 10^{-4} \text{ А/м}$$

де  $\varepsilon_{\max}$  - найбільше значення повітряного зазору, м.м.

**Н** площа поперечного перерізу котушки електромагніту визначається залежністю

$$S_k = \frac{I_w}{\delta k} = \frac{4,07 \times 10^{-4}}{2 \times 0,5} = 4,07 \times 10^{-4} \text{ м}^2$$

де  $\delta \approx 2 \text{ А/м}^2$  - щільність струму;

**Н**  $k = 0,5$  - коефіцієнт, що враховує заповнення дротом перерізу котушки.  
Отриману площу порівнюють з площею поперечного перерізу котушки за попереднім ескізом гальма та електромагніту і визначають такою формулою

$$A_{kam} = \frac{d_3 - d_2}{2} l_k = \frac{0,09 - 0,038}{2} \times 0,016 = 4,16 \times 10^{-4} \text{ м}^2 \approx S_k = 4,07 \times 10^{-4} \text{ м}^2$$

Оскільки площа поперечного перерізу раніше прийнятої котушки відрізняється від потрібної менш ніж на 10%, приймаємо довжину  $l_k$ .

**Н** **Конструювання блоків**

Діаметр блоку по дну струмка визначається за формуллю і приймає таке значення  $D_{bl} \geq d_{kam} (e - 1) = 6,3(22 - 1) = 132,3 \text{ мм}$   
Приймаємо діаметр блоку рівним 140 мм [1]

# НУБІП Україні

Для одного крана бажано усі блоки уніфікувати.

Н

Н

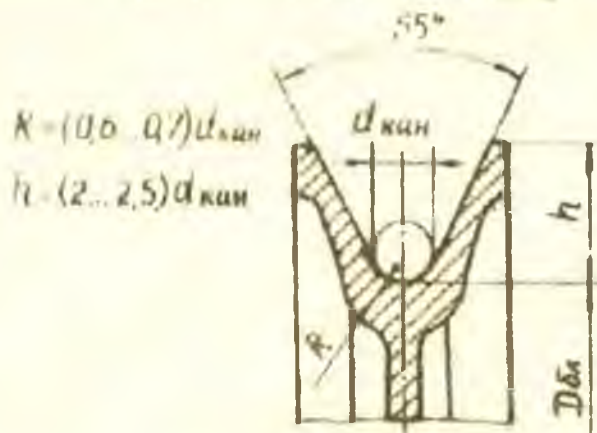


Рисунок 2.2 - Конструкція блоку

Н

Вибір гака.

Гак вибираємо за діючими стандартами дісту відповідно до вантажопідйомності та групи режиму роботи крана. Додаткових розрахунків гака не потрібно виконувати

НУБІП Україні

# НУБІП Україні

1.5. Металоконструкція крана

Визначення основних розмірів

НУБІП Україні

Основні розміри металоконструкції визначаємо за емпіричними формулами, що відповідають дослідним характеристикам та забезпечують жореткість конструкції, близьку до нормованої.

Вихідними даними для розрахунку є виліт стріли  $L=4,500\text{м}$ ,

вантажопідйомність  $Q=5000\text{ Н}$ , висота підйому вантажу  $H=4,000\text{ м}$ , швидкість

пересування кранового візка (талі)  $V=8\text{ м/хв.}$

Кран балкового типу із змінним вильотом (із зовнішньою опорою) [4].

Відстань між серединами опор визначається співвідношенням і приймає

$$h_p = 0,36 \frac{Q}{V} L^{\frac{2}{3}} = 0,36 * \frac{5000}{8} * \frac{4500^{\frac{2}{3}}}{4500} = 1649\text{ мм}$$

наступне числове значення

Приймасмо найбільш вигідні за масою балки коробчатого перерізу. Висота балки визначається залежністю і приймає наступне числове значення

$$h = \sqrt[4]{Q \cdot L^2} = \sqrt[4]{5000 \cdot 4500^2} = 564\text{ мм}$$

Приймасмо висоту балки  $h = 560\text{ мм}$ , хоча за розрахунками отримали 564

мм.

Ширина балки приймає таке значення згідно рекомендацій

$$\phi \approx 0,5h = 0,5 * 560 = 280\text{ мм}$$

Товщина стінки балки приймає значення згідно рекомендацій стандарту

$$\delta_{cm} = \left( \frac{1}{100} .. \frac{1}{160} \right) h = \left( \frac{1}{100} .. \frac{1}{160} \right) * 560 = 5,6..3,5\text{ мм}$$

ДСТУ

Приймасмо товщину балки 4 мм.

Товщина верхнього пояса визначається

з

співвідношення

$$\delta_{ne} = (1,25..1,6)\delta_{cm} = (1,25..1,6)*4 = 5..6,4\text{ мм}$$

Приймасмо товщину верхнього поясу 6 мм.

Товщина спіднього пояса, оскільки він служить рейкою для коліс

електротал визначаємо з умов міцності:

# НУБІП України

Fп – рухоме навантаження від колеса візка з вантажем , яке визначається

$$\text{за формулою, } H = \sqrt{\frac{3F_n}{[\sigma]}}$$

$$F_n = 0,25(k_p * Q + k_q * G_{\text{мез}}) = 0,25(1,3 * 5000 + 1,3 * 0,3 * 5000) = 2037,5 \text{ Н}$$

$KQ = 1,3$  – по 2 [4,] приймаємо залежно від режиму експлуатації крана;

$K_d = 1,1$  - за [4] враховує удари від нерівностей шляху переміщення візка;  
 $[G]$  – дозволене напруження на вигин, МПа.

Товщина нижнього пояса визначається за формулою, виходячи з умови

міцності

$$\delta_{n.h.} = \sqrt{\frac{3F_n}{[\sigma]}} = \sqrt{\frac{3 * 2037,5}{140}} = 6,6 \text{ мм}$$

Приймаємо товщину нижнього поясу  $b = 7 \text{ мм}$ .

Розмір вибирається за умовою розміщення ходового колеса на рейці.

Попередньо приймаємо половину діаметра колеса

$$\Delta = 0,5D_{\text{колес}} = 0,5 * 80 = 40 \text{ мм}$$

Ширина нижнього пояса визначається за формулою і приймає значення

$$b_h = b + 2\Delta = 280 + 80 = 360 \text{ мм}$$

Висота еквівалентного перерізу визначається наступною залежністю і приймає значення

$$h_{\text{екв}} = 0,4h + \frac{h - 0,4h}{3} * 2 = 0,8h = 0,8 * 560 = 448 \text{ мм}$$

# НУБІП України

Відстань між внутрішніми стінками перерізу приймаємо стандартною, що дозволяє виконувати діафрагми з прокатних смуг без обрізки по довжині. Діафрагми до верхнього розтягнутого поясу не приварюють.

Розрахунковий переріз показано на рис. 2.3.



Рисунок 2.3- Металоконструкція. Переріз балки крана

Звис пояса над стінкою в 11 мм забезпечує зручність автоматичного зварювання балки.

Координати центру ваги перерізу визначаються наступним чином

$$y_0 = \frac{360 * 7 * 3,5 + 435 * 4 * 2 * 224,5 + 280 * 6 * 445}{360 * 7 + 435 * 2 * 4 + 280 * 6} = 200 \text{мм}$$

Момент інерції визначаємо, нехтуючи власними моментами інерції поясів наступними числовими виразами:

$$J = 360 * 7 * 196,5^2 + \frac{2 * 4 * 435^3}{12} + 435 * 4 * 2 * 17^2 + 280 * 6 * 238^2 = 248 * 10^6 \text{мм}^4$$

H

Відстань від нижнього пояса до зіва гака (~800 мм) і до верхнього обрізу колони (~300 мм) визначаємо за аналогією з подібними конструкціями. Тоді висота колони визначається такою залежністю і становить в результаті розрахунку наступне числове значення:

H

$$H_{\text{кол}} = H + 0.8 - 0.3 = 4 + 0.8 - 0.3 = 4.5 \text{ м}$$

Діаметр колони визначається залежністю

H

$$D_{\text{кол}} = 0,63^4 \sqrt{Q * L * H_{\text{кол}}} = 0,63^4 \sqrt{5000 * 4500 * 4500} = 355,4 \text{ мм}$$

Приймаємо діаметр колони  $D_{\text{кол}} = 377$  мм (труба безшовна гарячекатана).

H

Товщина стінки колони визначається за формулою:

$$\delta_{\text{кол}} = (0.05 \dots 0.08) D_{\text{кол}} = (0.05 \dots 0.08) * 355,4 = 18,85 \dots 30,16 \text{ мм}$$

Товщину стінки колони 28 мм.

H

Момент інерції колони визначається такою залежністю:

$$J_{\text{кол}} = 0,32 D_{\text{кол}}^3 \delta_{\text{кол}} = 0,32 * 377^3 * 28 = 480 * 10^6 \text{ мм}^4$$

Перевірка статичного прогину.

H

Епюра згинальних моментів аналогічна наведеній на рис. 2.4.

H

НУБІП України

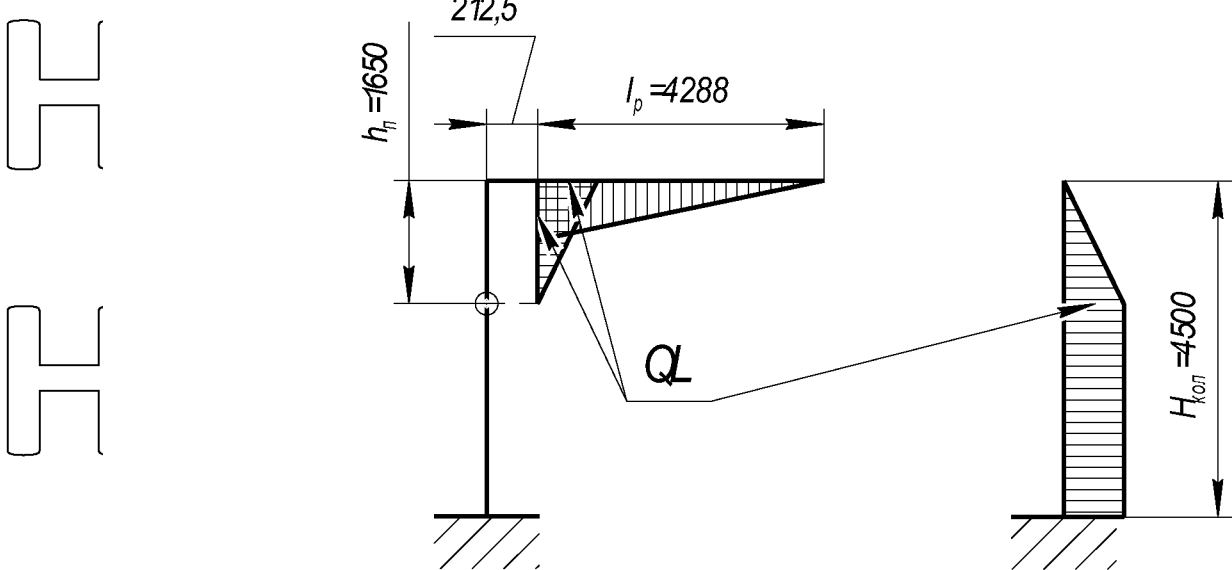


Рисунок 2.4 - Епюра згинальних моментів

Розрахункова довжина стріли визначається залежністю:

$$l_p = L - D_{kol} / 2 = 4500 - 425 / 2 = 4287,5 \text{ мм} \approx 4288 \text{ мм}$$

Фактичний прогин стріли приймає таке значення згідно розрахунку:

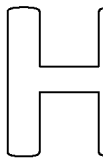
$$\begin{aligned} f_{ct} &= \frac{(Q + G_{tepl})}{E \cdot J} \cdot l_p \cdot \frac{l_p}{2} \cdot \frac{2}{3} \cdot l_p + \frac{(Q + G_{tepl})}{E \cdot J} \cdot L \cdot \frac{h_n}{2} \cdot \frac{2}{3} \cdot L + \frac{Q + G_{met}}{E \cdot J_{kol}} \left[ L \cdot \frac{h_n}{2} \cdot \frac{2}{3} L + L(H_{kol} - h_n)L \right] = \\ &= \frac{(5000 + 1500)}{3 \cdot 2 \cdot 10^5 \cdot 248 \cdot 10^6} * (4288^3 + 4500^2 * 1650) + \\ &\quad \frac{(5000 + 1500) * 4500^2}{2 \cdot 10^5 * 480 * 10^6} \left[ \frac{1650}{3} + 4500 - 1650 \right] = 4,9 + 4,66 = 9,56 \text{ мм} \end{aligned}$$

Допустимий прогин визначається згідно рекомендацій ДСТУ:

$$[f_{ct}] = \frac{L}{400} = \frac{4500}{400} = 11.25 \text{ мм}$$

Як видно, фактичний прогин не перевищує допустимого прогину, тому всі розраховані параметри можна прийняти.

Визначення маси металоконструкції

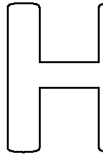


Вага стріли визначається за такою формулою:

$$G_{\text{стр}} = 2 \cdot 10^{-6} \cdot L \cdot l_p \cdot \sqrt{Q} = 2 \cdot 10^{-6} \cdot 4500 \cdot 4288 \cdot \sqrt{5000} = 2729 \text{ Н}$$

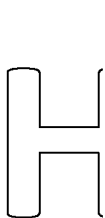
Координата центру тяжіння стріли вздовж осі переміщення візка:

$$x = 0.4 \cdot L = 0.4 \cdot 4500 = 1800 \text{ мм}$$



Вага рухомої колони визначається за такою формулою

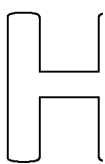
$$G_{\text{подв.кол}} = G_{\text{стр}} \frac{h_n}{L} = 2729 \frac{1650}{4500} = 1001 \text{ Н}$$



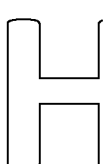
Вага нерухомої колони визначається залежністю:

$$G_{\text{кол}} = 2.5 \cdot 10^{-4} D_{\text{кол}} * h_{\text{кол}} * H_{\text{кол}} = 2.5 \cdot 10^{-4} \cdot 425 \cdot 28 \cdot 4500 = 13388 \text{ Н}$$

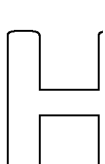
Перевірка часу згасання коливань.



Наведена маса:

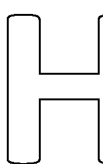


$$m = \frac{(G_{\text{стр}} + G_{\text{подв.кол}}) \cdot H_{\text{кол}}^2}{3(L + 3 \cdot H_{\text{кол}})^2} \cdot \left[ 1 + \frac{L}{H_{\text{кол}}} + \left( \frac{H_{\text{кол}}}{L} \right)^2 \right] + 0.1 G_{\text{мен}} = \\ = \frac{(2729 + 1001) \cdot 4.5^2}{3(4.5 + 3 \cdot 4.5)^2} \cdot \left[ 1 + \frac{4.5}{4.5} + \left( \frac{4.5}{4.5} \right)^2 \right] + 0.1 \cdot 0.3 \cdot 5000 = 383 \text{ кг}$$



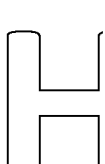
Жорсткість конструкції визначається за формулою:

$$c = \frac{Q + G_{\text{мен}}}{f_{cm}} = \frac{5000 + 1500}{9,56 \cdot 10^{-3}} = 0,68 \cdot 10^6 \frac{\text{Н}}{\text{м}}$$



Період власних коливань визначається залежністю:

$$T = 2 \cdot \pi \cdot \sqrt{\frac{m}{c}} = 2 \cdot \pi \sqrt{\frac{383}{0,68 \cdot 10^6}} = 0,149 \text{ с}$$



Логарифмічний декремент згасання приймає таке значення:

$$\lambda = \frac{5 \cdot 10^{-3}}{T^2} = \frac{5 \cdot 10^{-3}}{0,149^2} = 0,225$$



Н

Початкова амплітуда коливань конструкції визначається за формулою:

$$f_0 = \frac{Q}{c} = \frac{5000}{0,68 \cdot 10^6} = 7,35 \cdot 10^{-3} \text{ мм}$$

Н

Час згасання коливань приймає наступне значення

$$t = \frac{T}{\lambda} \ln \left( \frac{f_0}{5 \cdot 10^{-4}} \right) = \frac{0,149}{0,225} \ln \frac{7,35 \cdot 10^{-3}}{5 \cdot 10^{-4}} = 1,8 \text{ с} \leq 10 \text{ с} - \text{умова виконана.}$$

Н

Перевірка міцності

Н

Допустиме нормальне напруження приймає таке значення:

$$\sigma = 140 \text{ МПа}$$

Дотичне допустиме напруження для конструкції і зварних швів і для

Н

зварних швів визначається так:

$$\tau = 0,6 \cdot \sigma = 84 \text{ МПа}$$

Н

Розрахунок в даному випадку доцільно починати з рухомої колони, тому що в небезпечному перерізі рухомої колони діє найбільший момент у

вертикальній площині, який визначається наступними залежностями.

Н

$$M = M_{\Pi} + M_G$$

$$M = L \cdot (K_Q \cdot Q + K_q \cdot G_{mel}) + G_{cmp} * x_{cmp} + G_{nobj.kol} * x_{nobj.kol} = 4500 * (1,3 * 5000 + 1,1 * 1500) + 2729 * 1800 + 1001 * 500 = 42 * 10^6 \text{ H} * \text{мм}$$

Н

Момент інерції небезпечного перерізу стріли приймає таке числове значення:

$$J_e = 2 \cdot 360 \cdot 7 \cdot 276,5^2 + 2 \cdot \frac{4 \cdot 547^3}{12} = 494,4 \cdot 10^6 \text{ мм}^4$$

Н

у

у

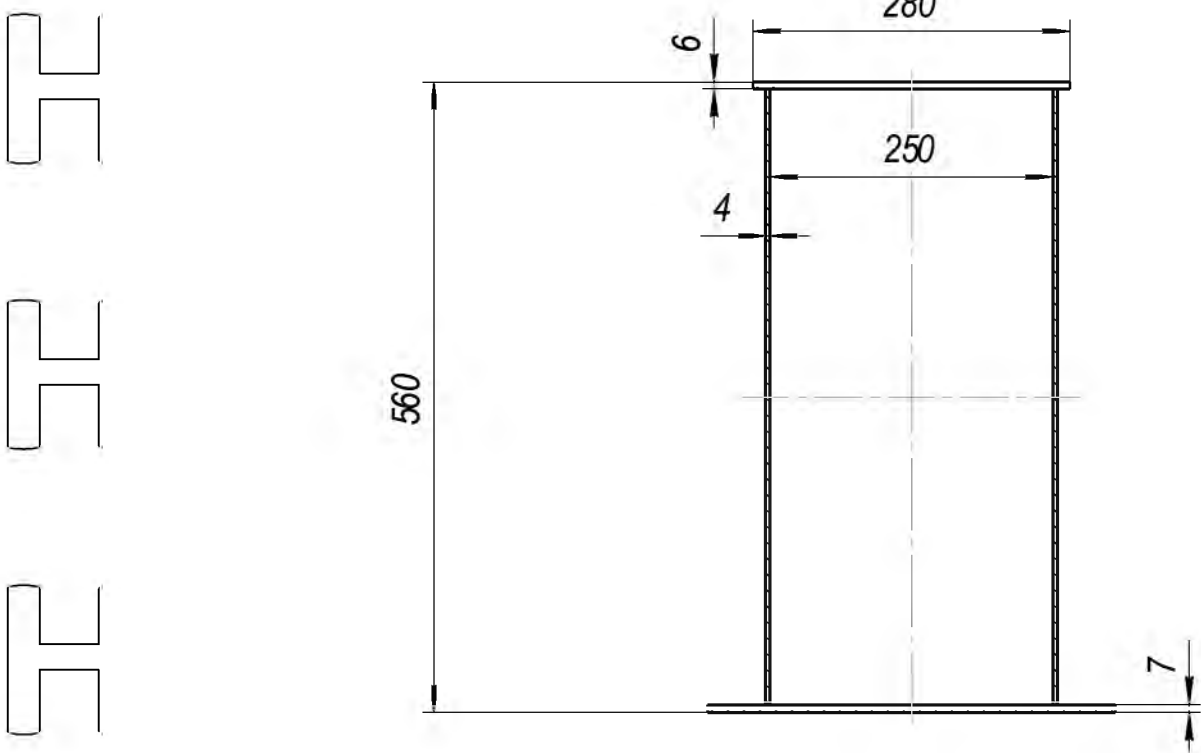


Рисунок 2.5 -. Схема для проведення перевірки

Момент опору згину колони визначається залежністю:

$$w = \frac{J_b}{y_{\max}} = \frac{494,4 \cdot 10^6}{280} = 1,77 \cdot 10^6 \text{ мм}^3$$

Напруження згину має вигляд:

$$\sigma = \frac{M}{w} = \frac{42 \cdot 10^6}{1,77 \cdot 10^6} = 23,7 \text{ МПа}$$

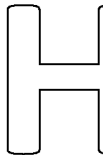
Отримане напруження менше допустимого

$$\sigma \leq [\sigma] = 140 \text{ МПа}$$

Тому умова міцності на згин виконується виконується.

## 1.6. Механізм пересування візка

Вихідні дані для розрахунку

 Вантажопідйомність  $Q = 5 \text{ кН}$

Швидкість пересування  $V = 8 \text{ м/хв}$

Коефіцієнт еквівалентності  $k_{HE} = 0,63$

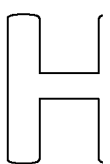
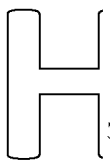
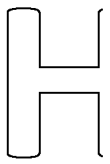
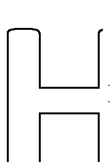
 Машинний час роботи  $t_{\Sigma} = 10000 \text{ год}$

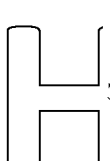
Схема механізму.

 Приводом механізму пересування є електродвигун з будованим гальмом, закритий одноступінчастий редуктор, відкрита зубчаста пара, приводне колесо якого є ребордою колеса візка. Використаємо механізм пересування з чотирма колесами, два з яких є приводними.

 Підбір матеріалу та термообробки для котків

 Попередньо розраховуємо діаметр ходових коліс. Для цього визначаємо найбільше навантаження на колесо за такою формулою:

$$F_{\max} := 1.1 \cdot \frac{F_Q + G_{\text{тел}}}{4} \quad F_{\max} = 1.788 \times 10^3 \text{ Н}$$

 Діаметр ходових коліс (за умовою точкового контакту) визначається залежністю:

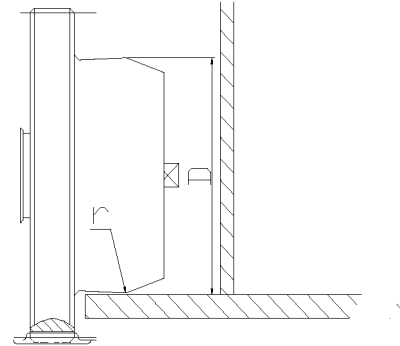
$$D_k := 1.7 \sqrt{F_{\max}} \quad D_k = 71.874$$

Г

Зі стандартних розмірів приймаємо діаметр колеса  $D_k = 80$  мм.

Вибираємо матеріал – сталь 55Л, радіус головки  $r_2=80$  мм.

Г



Г

Рисунок 2.6.

Розраховуємо колесо на точковий контакт.

Г

Контактне напруження при точковому контакті визначається за формулою:

$$\sigma_H := 3600 \cdot \sqrt[3]{\frac{F_{HE}}{D_k^2}}$$

Де еквівалентне навантаження визначається за формулою

$$F_{HE} := F_{max} \cdot \gamma \cdot k_{HV} \quad \text{эквивалентная нагрузка}$$

Г

$$\gamma := \sqrt[3]{0.5 \left[ 1 + \frac{1}{\left( 1 + \frac{F_Q}{G_{тел}} \right)^3} \right]} \quad \gamma = 0.797 \quad \text{- коэффициент эквивалентности}$$

Г

$$k_{HV} := 1 + 2.5 \cdot 10^{-3} \cdot V \quad k_{HV} = 1.02 \quad \text{- коэффициент динамичнос}$$

Г

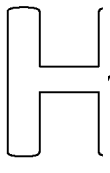
Коефіцієнт  $m$  приймається за [1,] залежно від відношення  $r_2/D_k=80/80=1$ ;  $m = 0,119$ .

Г

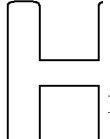
$$F_{HE} := F_{max} \cdot \gamma \cdot k_{HV} \quad F_{HE} = 1.453 \times 10^3 \text{ Н} \quad \text{эквивалентная нагрузка}$$

Г

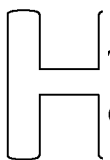
Г

 Нормальне напруження визначається через еквівалентне навантаження та діаметр колеса

$$\sigma_H := 3600 \text{ m} \sqrt[3]{\frac{F_{HE}}{D_k^2}} \quad \sigma_H = 261.344 \text{ MPa}$$

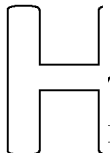
 Контактне напруження повинне бути меншим за допустиме. Допустиме напруження визначаємо за наступною формулою:

$$[\sigma_H] = [\sigma_{H_0}] \sqrt[9]{\frac{10^4}{N}}$$

 де  $[\sigma_{H_0}]$  - базове допустиме напруження визначається за [1];  $[\sigma_{H_0}] = 560 \text{ MPa}$  для сталі 55Л.

Напрацювання колеса в циклах роботи:

$$N := t_{\Sigma} \cdot 30 n_{\text{кол}} \cdot \beta$$

 де  $\beta = 0.85$  – коефіцієнт, що враховує зменшення середньої частоти обертання у періоди неусталених рухів.

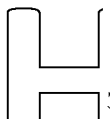
$$\beta = 0.85 \quad n_{\text{кол}} := \frac{1000V}{\pi D_k} \quad n_{\text{кол}} = 31.831 \text{ об/мин} - \text{частота вращения колеса}$$

$$\text{N} := t_{\Sigma} \cdot 30 n_{\text{кол}} \cdot \beta \quad N = 8.117 \times 10^6$$

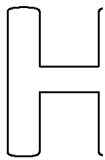
$$[\sigma_H] = 560 \sqrt[9]{\frac{10^4}{8.117 \times 10^6}} = 266.025 \text{ MPa}$$

 З розрахунків маємо, що напруження менше допустимого  $\sigma_H < [\sigma_H]$ .  
Приймаємо діаметр колеса 80 мм, матеріал колеса – виливок зі сталі 55Л.

Вибір електродвигуна

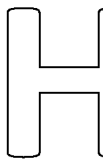
 1) Необхідна потужність електродвигуна за умовами розгону визначається залежністю:





$$P' := \frac{T_H \cdot n'_H}{9550}$$

Використаємо електродвигун із синхронною частотою обертання 1500 об/хв

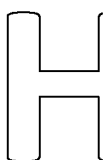


Частота обертання ротора електродвигуна під навантаженням приймає

значення

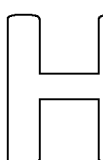
$$n'_H := 1360 \text{ об/хв}$$

Передаточне відношення приводу визначається залежністю



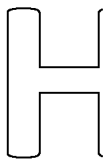
$$i' := \frac{n'_H}{n_{\text{кол}}} \quad i' = 42.726$$

Передаточне відношення редуктора приймає значення

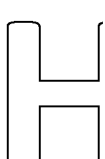


ККД приводу вираховується наступним чином

$$\eta = \eta_{\text{води}}^2 * \eta_{\text{ОЗП}} * \eta_{\text{ред}} = 0.99^2 * 0.95 * 0.96 = 0.894$$

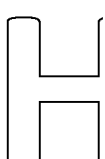


Зведений момент інерції приводу під час пуску момент інерції під час пуску визначається залежністю



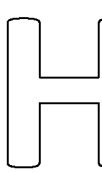
відносний час запуску визначається за формулою

$$I' := \frac{1.1 \cdot (F_Q + G_{\text{тел}}) \cdot D_k^2}{4g \cdot U_{\text{ред}}^2 \cdot \eta} \quad I' = 6.95 \times 10^{-3} \text{ кг}\cdot\text{м}^2$$

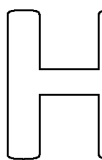


$t'_{\text{п0}}$  – час пуску;

$$t'_{\text{п}} := \frac{V}{60a} \quad t'_{\text{п}} = 0.667 \text{ с}$$

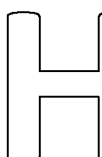
 а – прискорення вантажу при пуску та гальмуванні для механізму пересування; повинно бути менше допустимого  $[a]=0.2 \text{ м/с}^2$

 Попередній розрахунок номінального крутного моменту електродвигуна за умовами розгону здійснюється наступним чином:

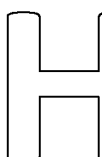


$$T'_H := \frac{\pi \cdot I' \cdot n'_H \cdot t'_{n0}}{30 \alpha'_n} \quad T'_H = 1.165 \text{ Н}\cdot\text{м}$$

 Попередній розрахунок потужності двигуна визначається за формулою :



$$P' := \frac{T'_H \cdot n'_H}{9550} \quad P' = 0.166 \text{ кВт}$$

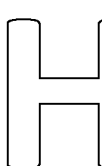
 2) Розрахунок потужності електродвигуна для подолання сил опору пересуванню візка з вантажем.

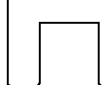
 Опір пересування при встановленій швидкості і ходових колесах з однією ребордою без напрямних роликів визначається за наступною формулою:



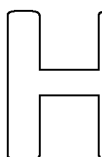
$$F_{cT} := \frac{2}{D_k} \cdot (F_Q + G_{tel}) \cdot \left( \mu + f \cdot \frac{d}{2} \right) \cdot k_p$$

 Коефіцієнт тертя кочення приймаємо по [1]:  $\mu = 0.15$

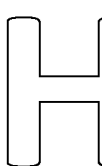
 Наведемо коефіцієнт тертя в підшипниках  $f=0.02$  (1).

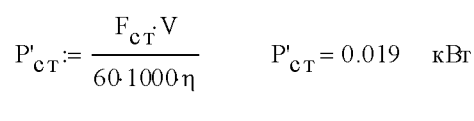
 Діаметр підшипників коліс  $d=0.2D_k=0.2*80=16 \text{ мм.}$

 Коефіцієнт  $k_p$ , що враховує тертя реборд про рейку, приймаємо по (1):  $k_p = 2.5$  (для електроталі). Статична сила опору визначається залежністю



$$F_{cT} := \frac{2}{D_k} \cdot (F_Q + G_{tel}) \cdot \left( \mu + f \cdot \frac{d}{2} \right) \cdot k_p \quad F_{cT} = 125.938 \text{ Н}$$

 Тоді потужність можна визначити за формулою



$$P'_{cT} := \frac{F_{cT} \cdot V}{60 \cdot 1000 \cdot \eta} \quad P'_{cT} = 0.019 \text{ кВт}$$



Н

Більша потужність двигуна потрібна за умовами розгону візка.

Вибираємо двигун марки 4A56B4E2 У1,2: номінальної потужності РН = 0,18 кВт (при ПВ = 25%), номінальної частоти обертання  $n_H = 1360$  об / хв;  $m=2.1$ ; момент інерції ротора електродвигуна  $I_{ed}=6 \cdot 10^{-4}$  кг $\cdot$ м<sup>2</sup>.

Н

и с чи и с ч и с ч рч и и и ч и

**НУБІП України**

**НУБІП України**

**НУБІП України**

**НУБІП України**

**НУБІП України**

## РОЗДЛ 2. ДИНАМЧНИЙ АНАЛЗ МЕХАНІЗМУ ПДЙОМУ ВАНТАЖУ

### 2.1. Загальні відомості про моделювання технічної системи

Для сучасного машинобудування характерні тенденції до підвищення продуктивності машин, яка пропорційно пов'язана зі збільшенням швидкохідності та скороченням тривалості переходних процесів, а також зростанням робочих навантажень, точності виконання робочих операцій, надійності роботи та економічності. Тому висуваються підвищенні вимоги до методів розрахунку окрім інших елементів і систем, що використовуються при конструюванні та проектуванні машин.

Широко розповсюжена статична методика розрахунку в одних випадках веде до невіправданого підвищення коєфіцієнту запасу міцності і, як наслідок, до збільшення габаритних розмірів та маси машин, а в інших – приводить до створення недостатньо надійних машин, які виходять з ладу при динамічних перевантаженнях.

Задовільний та найкращим чином всім вимогам до роботи машин можна тільки при сумісному аналізі їхніх режимів руху

3

урахуванням основних силових факторів.

Погодження конструкторських розробок з послідовним розв'язуванням задач динаміки дозволяє вже на стадії проектування машини вибрати раціональну схему, оцінити точність виконання робочих процесів, енергетичні витрати, характеристики міцності та ергономічності.

Під час роботи механізму підйому, особливо на ділянках переходних процесів (пуск, кальмування), в елементах конструкції виникають коливання, що призводить до підвищення динамічних навантажень в елементах приводного механізму та тягового органу. Це сприяє накопиченню в тінніх пружин в конструкції і, як наслідок, передчасному горючому виникненню та негативно впливає на безпечноу експлуатацію в цілому. Вирішення цієї проблеми можливе шляхом

оптимізації режиму руху механізму підйому на ділянках перехідних процесів, що дозволить мінімізувати коливання елементів конструкції.

Механізми підйому вантажу й інші механічні системи при своїй роботі на ділянках перехідних процесів (пуск, гальмування, аварійна зупинка)

характеризуються наявністю динамічних навантажень, що виникають в елементах приводного механізму і в канаті. В канаті виникає нерівномірний рух, який пов'язаний із завантаженням та розвантаженням, а також через властивості самої системи. Вони негативно впливають на елементи конструкції, і призводять до передчасного руйнування механізму, підвищення енергозатрат, погіршення

роботи системи в цілому.

При переході від реальної механічної системи (машини) до її динамічної моделі нехтують тими фізичними факторами, які несуттєві для даного розрахунку або дослідження [Ошибка! Источник ссылки не найден.]. В

загальному випадку при складанні динамічної моделі механічної системи необхідно враховувати зосереджені маси, розподілені маси по довжині елементів, пружність елементів, залежності рушійних та гальмівних силянтив

від частоти обертання ротора, зміну приведених мас і

т. д. У кожному конкретному випадку одні фізичні фактори є головними, а інші другорядними. Модель не повинна бути громіздкою, повинна відображати всі елементи механічної системи і основні її фізичні властивості, бути нескладною для полегшення розрахунків [Ошибка! Источник ссылки не найден.].

Розв'язування задач динаміки машин починається збору фактів та даних наукових спостережень. На їх основі проводиться формалізація роботи

машиничного механізму і будується її математична модель, тобто виділяється її найбільні суттєві риси та властивості й проводиться їх опис за допомогою рівнянь і формул.

Розглянемо основні станимоделювання роботи машин:

при постановці задачі на фізичному рівні проходить процес схематизації та ідеалізації машини, тобто виділення її суттєвих факторів, що впливають на її функціонування. Деякі з цих факторів мають виявитися важливими, інші – несуттєвими;

після виявлення суттєвих факторів ставляться задачі моделювання. Вибирається схема взаємодії між елементами машини, то що будується динамічна модель, яка відображає суттєві фактори;

надалі дійсностюється переведення необхідних характеристик на мову математичних понять і величин. Складається система параметрів, які описують основні фактори, що здійснюються формуванням ступінів відношень та рівнянь між цими параметрами і величинами (математичне моделювання). Отже, математична модель – це результат формалізації реальної машини. Це найбільш складна й важка стадія процесу моделювання. Тут

використовують фундаментальні фізичні закони і принципи; після побудови моделі необхідно проводити перевірку зуперечності моделі реальній машині і

конкретності постановки задачі. Тут можна використати простій завдані ефективне правило фізичної розмірності всіх членів рівняння – моделі машини: перевіряється справедливість моделі за результатами

розв'язування теоретичної задачі у відповідності з математичною моделлю, які зіставляються з реальними результатами роботи машини. На основі цих результатів перевіряється адекватність математичної моделі реальній машині. Глибою відображенням моделі реальної машини залежить від мети дослідження.

Етапи моделювання машини відповідають ієрархії моделей: кожна модель нижчого рівня не повинна суперечити моделлю, що горівня.

При переході від реальної механічної системи (машини) до її динамічної моделі нехтується фізичними факторами, які не суттєві для даного розрахунку або дослідження. В загальному випадку при складанні динамічної моделі механічної системи обхідно враховувати залежності рушійних та гальмівних сил двигуна від частоти обертання ротора, зміну приведених мас і т. д. У кожному конкретному випадку одні фізичні фактори є головними, а інші – другорядними.

Динамічна модель повинна задовольняти дві головні вимоги:

бути в необхідній мірі адекватною реальній механічній системі, наскільки це можливо, відображати основні фізичні властивості;

бути не дуже складною, щоб зв'язування не було досить трудомістким.

## 2.2. Побудова динамічної моделі механізму підйому вантажу

Наведемо розроблену кінематичну схему механізму підйому вантажу

(рис.3.1), яка складається з приводного електродвигуна - 1, пружної муфти - 2,

колодкового гальма - 3, циліндричного редуктора - 4, зубчастої муфти - 5, приводного барабана - 6, поліспастної системи - 7, корисного вантажу - 8. В механізмі підйому вантажу необхідно дослідити зміну пружного моменту в

пріжній муфті 2, тому для побудови динамічної моделі розчленуємо механізм

підйому на дві частини, як це показано на рис.3.1. До першої частини увійдуть

ротор електродвигуна - 1 та ліва півмуфта муфти - 2. Відповідно до другої

частини механізму увійдуть права півмуфта - 3 з гальмівним шківом - 3,

одноступінчастий циліндричний редуктор - 4, зубчаста муфта - 5,

приводний барабан - 6, поліспастна система - 7 та вантаж з захватним пристроєм

- 8.

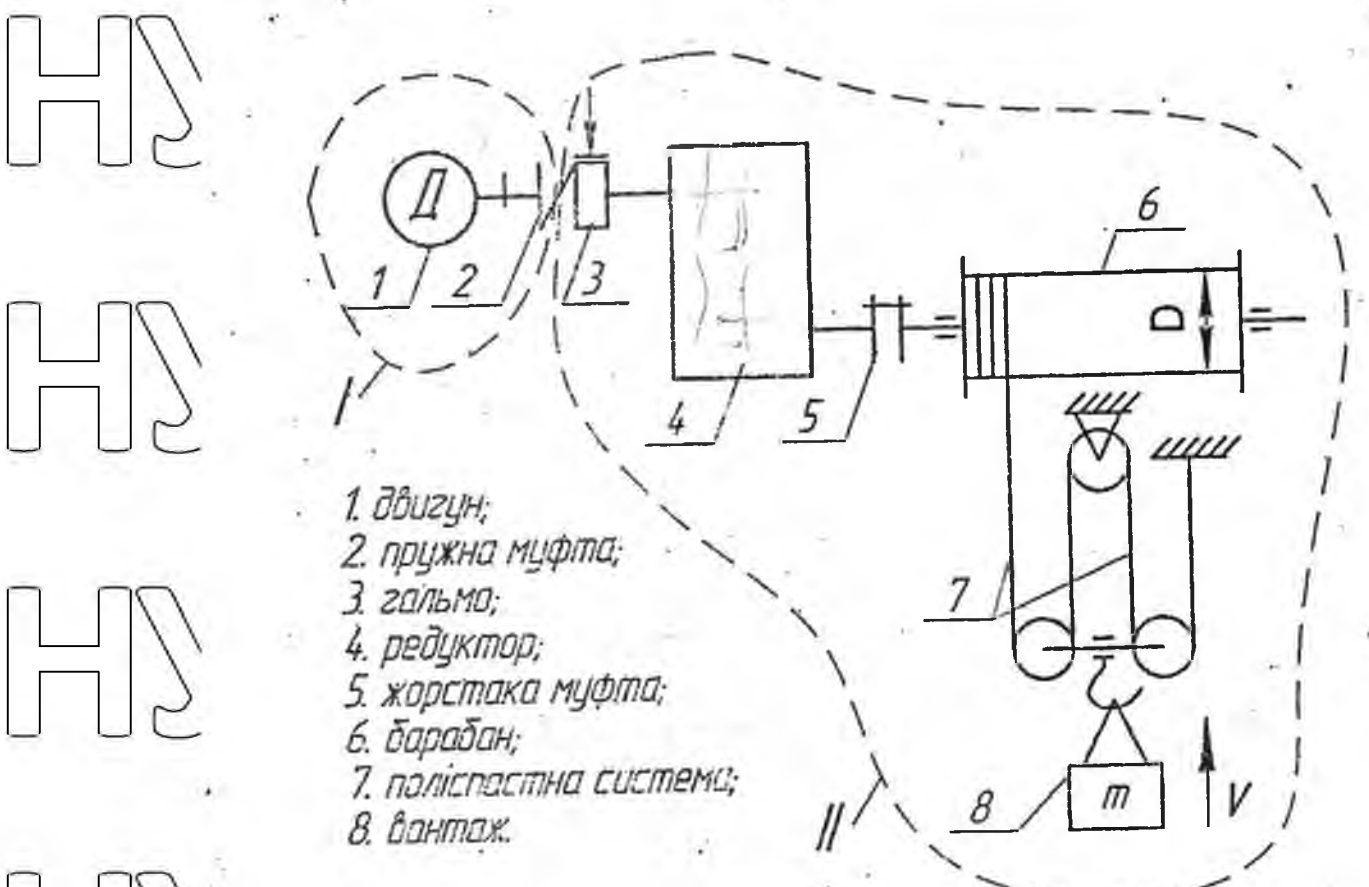


Рисунок 3.1 – Кінематична схема механізму підйому вантажу

Схемі механізму підйому, представлений на рис.3.1, відповідає динамічна модель з обертальними лісками, з'єднаними між собою пружинами

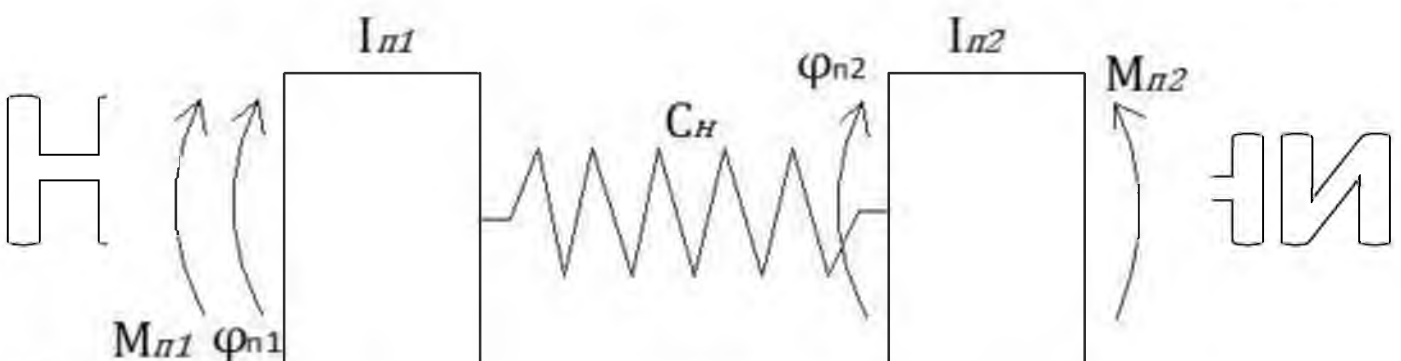


Рисунок 3.2 – Спрощена динамічна модель механізму підйому вантажу

На рис.3.2 прийняті такі позначення:  $\Pi_1$  та  $\Pi_2$  – приведені моменти інерції першої та другої частин механізму підйому;  $C_p$  – коефіцієнт жорсткості;  $M\Pi_1$  та  $M\Pi_2$  – приведені рушійні моменти першої та другої частин механізму підйому;  $\varphi\Pi_1$  – кутовакоордината повороту першогівумуфти;  $\varphi\Pi_2$  – кутова координата повороту другої півмуфти.

До першої частини моделі входять електродвигун, перша пружна півмуфта. До другої частини моделі входять друга півмуфта, редуктор, жорстка муфта, канатний барабан, поліспастна система з вантажем.

Розраховуючи першу частину реальної системи механізму підйому вантажу, насамперед прирівнюємо кінетичну енергію першої частини реальної механізму підйому ( $T_I$ ) до кінетичної енергії моделі ( $T_{екв.}$ ) першої частини системи.

$$T_I = T_{екв.}$$

З наведеної умови знаходимо

$$I_{\Pi_1} = I_{дв.} + \frac{1}{2}I_{м.п.}$$

$$I_{\Pi_1} = I_{дв.} + \frac{1}{2}I_{м.п.} = 0,374 + 0,374 = 0,748 \text{ кг} \cdot \text{м}^2$$

Розрахуємо числові значення моментів інерції складових елементів механізму підйому вантажу:

$$I_{м.п.} = 0,2 \cdot I_{дв.} = 0,2 \cdot 0,374 = 0,0748$$

$$I_{г.} = 0,15 \cdot I_{дв.} = 0,15 \cdot 0,374 = 0,0561$$

$$I_{ш.} = 0,1 \cdot I_{дв.} = 0,1 \cdot 0,374 = 0,0374$$

$$I_{з.к.} = 0,3 \cdot I_{дв.} = 0,3 \cdot 0,374 = 0,1122$$

$$I_{м.ж.} = 0,2 \cdot I_{дв.} = 0,2 \cdot 0,374 = 0,0748$$

$$I_{к.б.} = 0,4 \cdot I_{дв.} = 0,4 \cdot 0,374 = 0,1496$$

**НУБІЙ Україні**

Аналогічно визначимо приведений момент інерції другої маси механізму підйому. Прирівняємо кінетичні енергії реального механізму і його моделі для другої частини механізму підйому. В результаті чого отримаємо:

**НУБІЙ**  $T_{2M} = T_{2p}$  **райні**

$$T_{2M} = \frac{1}{2} \cdot I_{\text{п2}} \cdot \omega_{\text{дв}}^2$$

$$T_{2p} = \frac{1}{2} \cdot I_{\text{м.п.}} \cdot \frac{1}{2} \dot{\phi}_2^2 + \frac{1}{2} I_{\Gamma} \cdot \dot{\phi}_2^2 + \frac{1}{2} I_{\text{ш}} \cdot \dot{\phi}_2^2 + \frac{1}{2} I_{\text{з.к.}} \cdot \left(\frac{\dot{\phi}}{n}\right)^2 + \frac{1}{2} I_{\text{м.ж.}} \cdot \left(\frac{\dot{\phi}}{n}\right)^2 + \frac{1}{2} \cdot I_{\text{к.б.}}$$

**НУ**  $\left[ \left( \frac{\dot{\phi}}{n} \right)^2 + \frac{1}{2} m * \left( \frac{\dot{\phi} \cdot D}{n \cdot 8} \right)^2 \right] \sqrt{I_{\text{м.п.}} + I_{\Gamma} + I_{\text{ш}} + I_{\text{з.к.}}} \cdot \frac{1}{n^2} + I_{\text{м.ж.}} \cdot \frac{1}{2} + I_{\text{к.б.}} \cdot \frac{1}{n^2} + m \cdot \frac{D^2}{n^2 \cdot 64}$

**Н**  $I_{\text{п2}} = \frac{1}{2} \cdot \dot{\phi}_2^2 \left( \frac{1}{2} \cdot I_{\text{м.п.}} + I_{\Gamma} + I_{\text{ш}} + I_{\text{з.к.}} \cdot \frac{1}{n^2} + I_{\text{м.ж.}} \cdot \frac{1}{2} + I_{\text{к.б.}} \cdot \frac{1}{n^2} + m \cdot \frac{D^2}{n^2 \cdot 64} \right)$

$$I_{\text{п2}} = \frac{0,0748}{2} + 0,0561 + 0,0374 + \frac{0,1122}{16} + \frac{0,0748}{2} + \frac{0,1496}{16} + 1200 \cdot \frac{0,3}{16 \cdot 64}$$

**Н**  $= 0,0374 + 0,0561 + 0,0374 + 0,0070 + 0,0374 + 0,0094 + 0,3516$   
 $= 0,621 \text{ кг} \cdot \text{м}^2$

**Н**  $I_{\text{п2}}' = 0,2 * I_{\text{дв}}$

$$I_{\text{м.п.}} = I_{\text{м.ж.}} = 0,748 \text{ кгм}^2$$

Розрахуємо зведений момент сил опору, який приведений до валу електродвигуна

**Н**  $M_2 = \frac{m \cdot g \cdot \frac{1}{4} \cdot \frac{D_{\text{бар.}}}{2} \cdot \frac{1}{U}}{\eta_{\text{м.ж.}} \cdot \eta_{\text{ред.}} \cdot \eta_{\text{м.п.}} \cdot \eta_{\text{пол.}} \cdot \eta_{\text{бар.}}}$

**Н**  $M_2 = \frac{1200 \cdot 9,8 \cdot \frac{1}{4} \cdot \frac{0,3}{2} \cdot \frac{1}{4}}{0,99 \cdot 0,97 \cdot 0,99 \cdot 0,98 \cdot 0,995} = \frac{110}{0,927} = 119 \text{ Н} \cdot \text{м}$

**НУБІП**  $P_{\text{ном}} = 15 \text{ кВт} = 15000 \text{ Вт}$

$$M_{\text{ном}} = \frac{P_{\text{ном}}}{\omega_{\text{ном}}} = \frac{15000}{99} = 152 \text{ Н} \cdot \text{м}$$

$$M_{\text{max}} = M_{\text{ном}} \cdot \lambda = 152 \cdot 3,1 = 471 \text{ Н} \cdot \text{м}$$

**ЭАІНІ**

Визначимо жорсткість муфти за наступною формулою

**НУБІП**  $C = \frac{\Delta M}{\Delta \varphi}$  **УКРАЇНИ**

Підставивши числові значення, будемо мати:

**НУБІП**  $C = \frac{\Delta M}{\Delta \varphi} = \frac{471}{4 \cdot \frac{1}{57}} = \frac{471}{0.07} = 6729 \frac{\text{Н} \cdot \text{м}}{\text{рад}}$

Визначимо кінематичні характеристики приводного двигуна

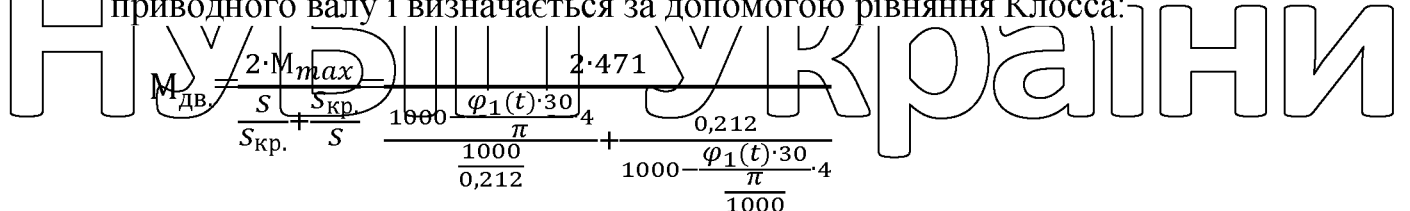
**НУБІП**  $\omega_0 = \frac{2\pi f}{p} = \frac{2 \cdot 3,14 \cdot 50}{3} = 104,7 \frac{\text{Рад}}{\text{с}}$

**НУБІП**  $S_{\text{ном}} = \frac{\omega_0 - \omega_{\text{ном}}}{\omega_0} = \frac{104,7 - 99}{104,7} = 0,054$

$$S_{\text{кр}} = S_{\text{ном}} \left( 1 + \sqrt{\lambda^2 - 1} \right) = 0,054 \left( 1 + \sqrt{3,1^2 - 1} \right) = 0,212$$

**ПЦИ**

Нелінійність системи рівнянь руху викликана нелінійністю механічної характеристики приводного двигуна, яка залежить від кутової швидкості приводного валу і визначається за допомогою рівняння Клосса:



де  $S$ ,  $S_{\text{кр}}$  – ковзання та критичне ковзання двигуна відповідно.

За отриманими числовими даними побудуємо механічну характеристику приводного електродвигуна

**НУБІП УКРАЇНИ**

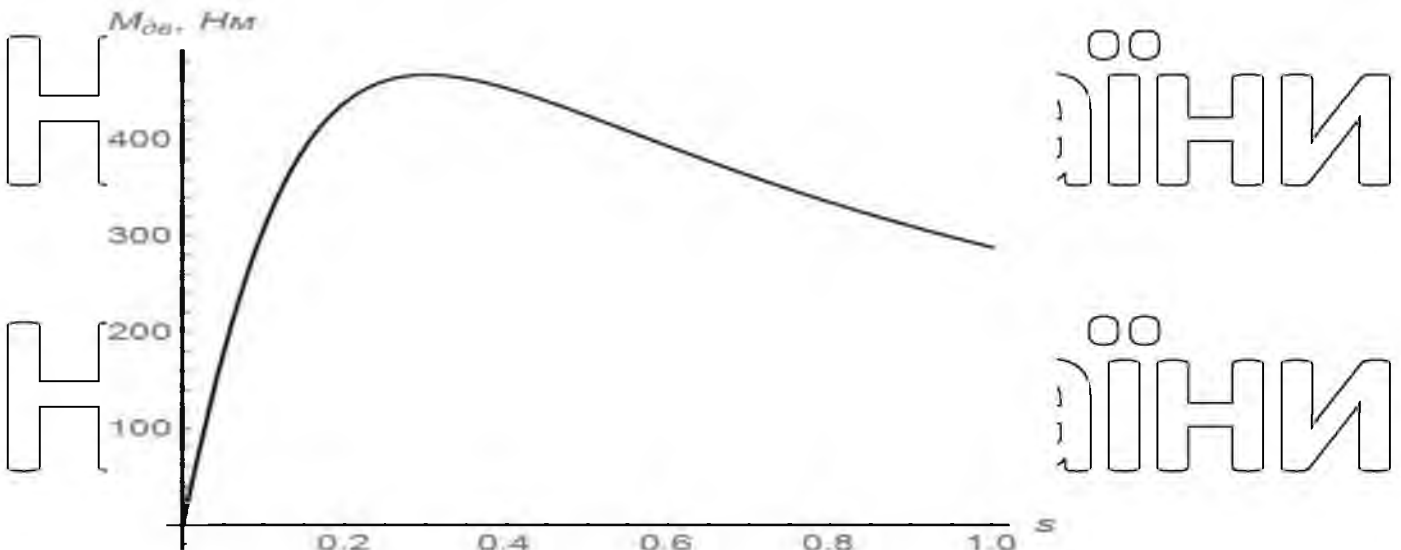


Рисунок 3.3 – Механічна характеристика приводного двигуна

### 2.3. Побудова математичної моделі механізму підйому вантажу

На основі отриманої динамічної моделі може бути побудована математична модель будь-якої механічної системи. В тому числі і механізму

підйому вантажу. Математичні моделі механічних систем становлять, як правило, диференціальні рівняння руху або взаємодії окремих елементів.

На рис. 3.4 - 3.5 зображені розчленовані маси динамічної моделі механізму

підйому вантажу, представленої на рис.3.2. Розглянемо рівновагу цих мас і

спадаємо нелінійні диференціальні рівняння руху механізму підйому вантажу, використовуючи принцип Даламбера.

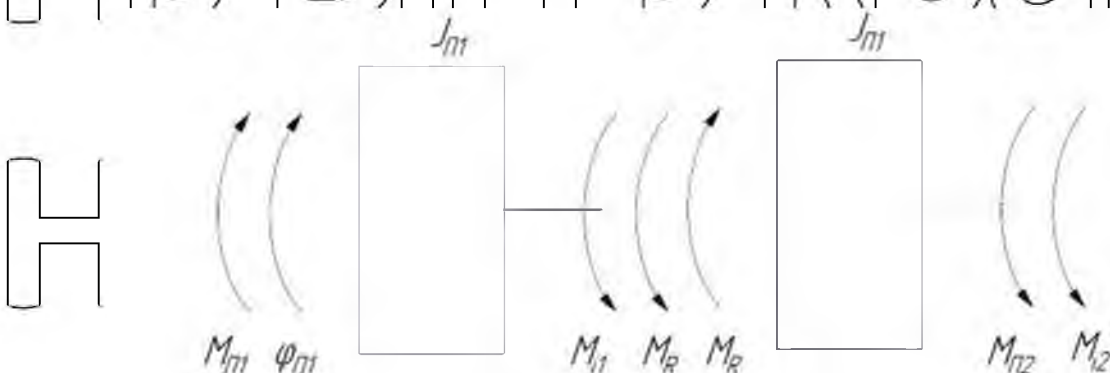


Рисунок 3.4 – Перша частини системи

Рисунок 3.5 – Друга частини системи

$$\begin{cases} M_{\Pi 1} - M_{i1} - M_R = 0 \\ M_R - M_{\Pi 2} - M_{i2} = 0 \end{cases}$$

де  $M_{i1}$  – момент сил інерції першої частини системи;  $M_{i2}$  – момент сил інерції другої частини системи;  $M_R$  – момент реакції пружного елемента.

$$M_{i1} = J_{\Pi 1} \cdot \ddot{\varphi}_1$$

$$M_{i2} = J_{\Pi 2} \cdot \ddot{\varphi}_2$$

$$M_R = C \cdot (\varphi_1 - \varphi_2)$$

Підставивши дані значення в (1.19) отримаємо:

$$\begin{cases} M_{\Pi 1} - J_{\Pi 1} \cdot \ddot{\varphi}_1 - C_n(\varphi_1 - \varphi_2) = 0 \\ C_n(\varphi_1 - \varphi_2) - M_{\Pi 2} - J_{\Pi 2} \cdot \ddot{\varphi}_2 = 0 \end{cases}$$

Її можна записати і в іншому вигляді:

$$\begin{cases} J_{\Pi 1} \cdot \ddot{\varphi}_1 = M_{\Pi 1} - C_n(\varphi_1 - \varphi_2) \\ J_{\Pi 2} \cdot \ddot{\varphi}_2 = -M_{\Pi 2} + C_n(\varphi_1 - \varphi_2) \end{cases}$$

Розв'язок системи рівнянь та побудову графіків, що описують рух

механізму

підйому

вантажу

виконуємо

в програмному

середовищі

WolframMathematica.

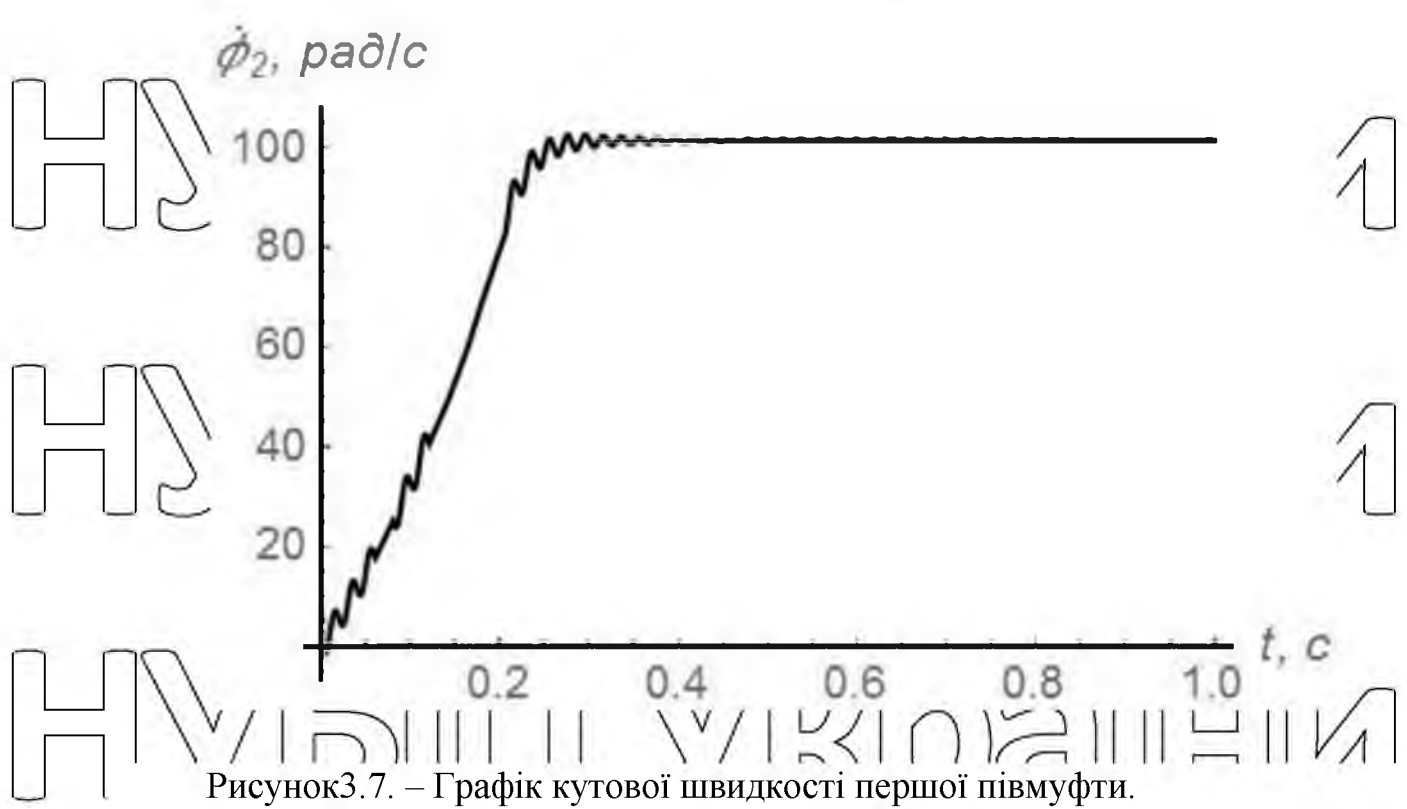
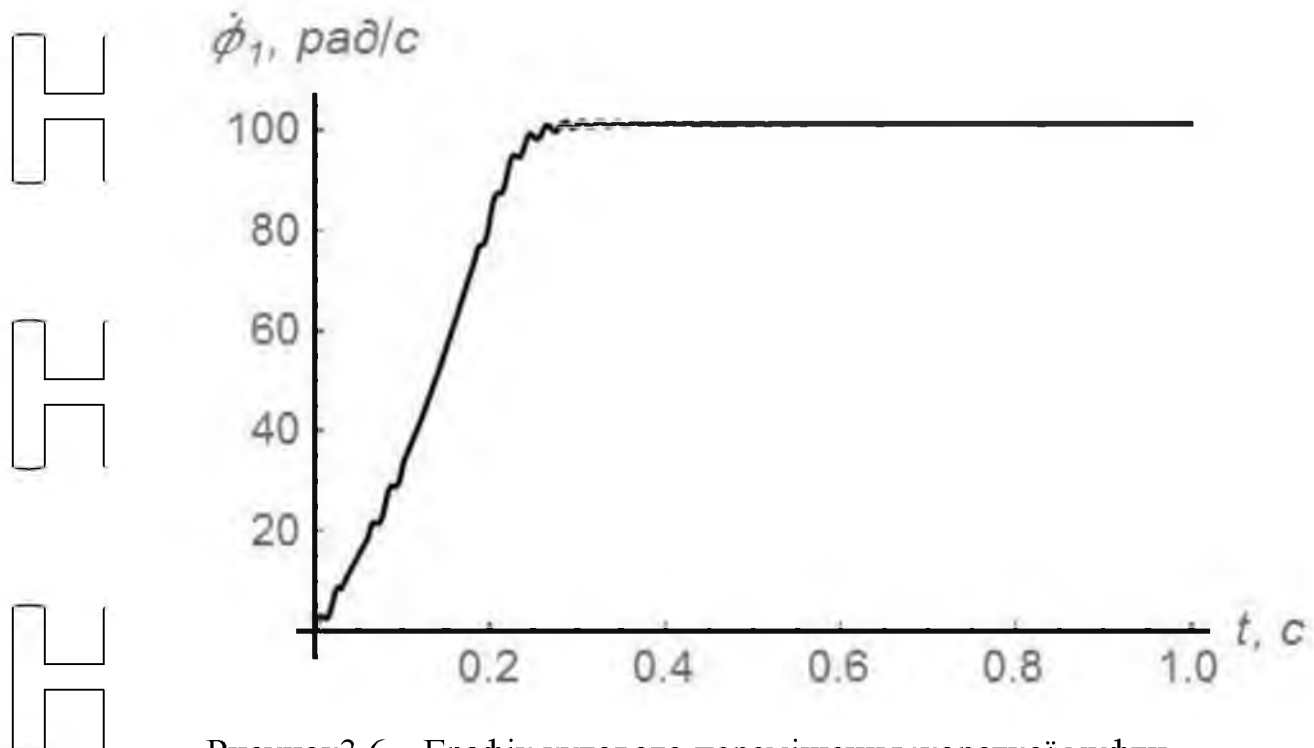
#### 2.4. Динамічний аналіз руху механізму підйому вантажу

На базі розробленої математичної моделі механізму підйому вантажу проведені динамічні розрахунки. В результаті розв'язку диференціальних

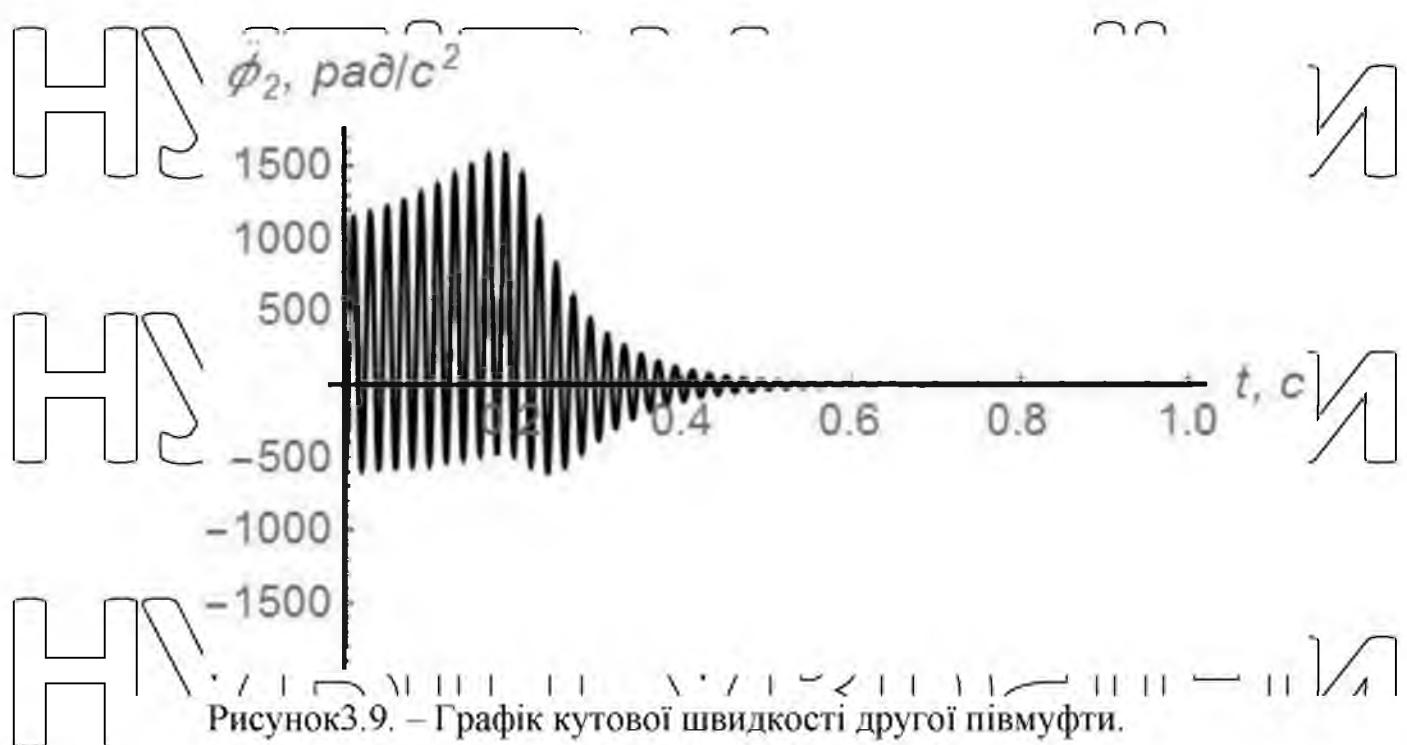
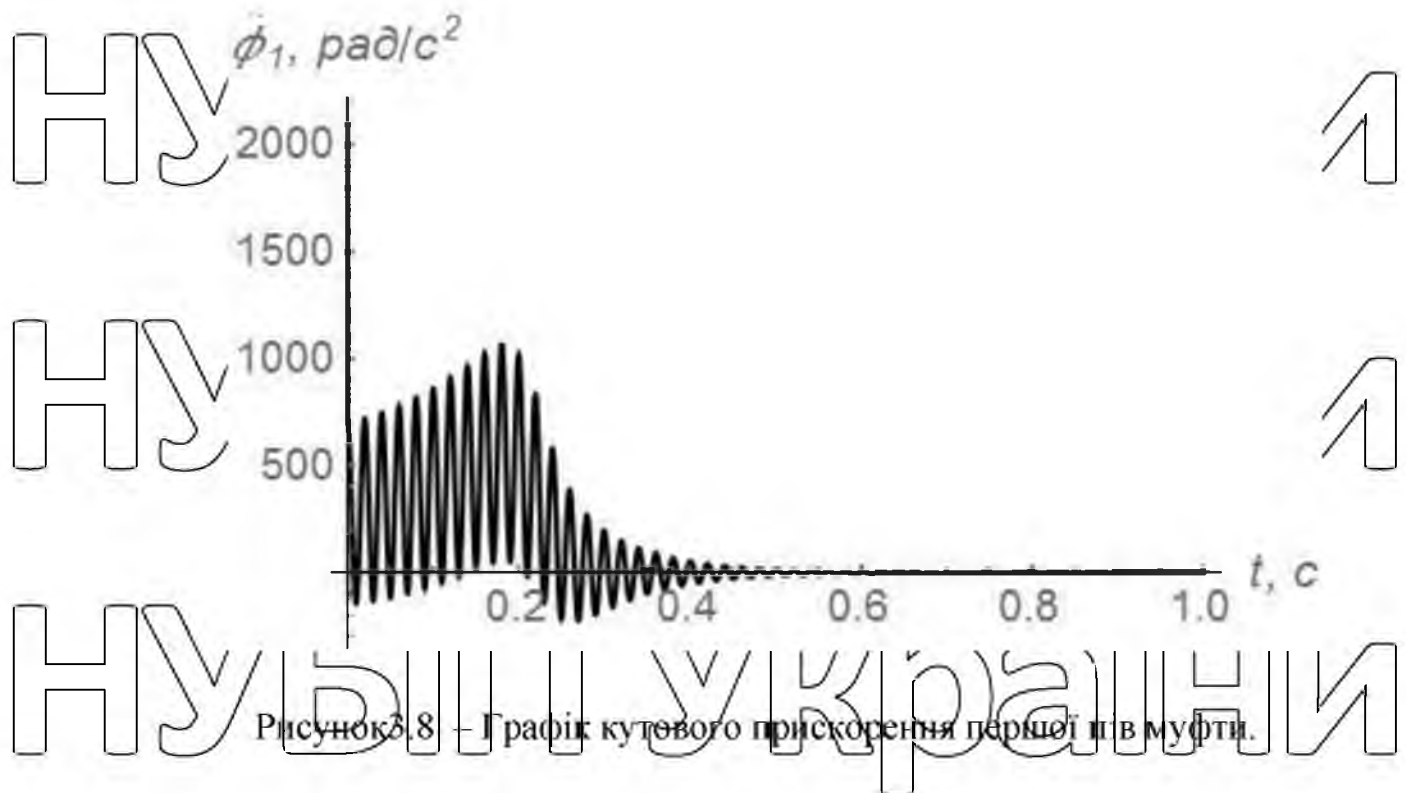
рівнянь в програмному середовищі WolframMathematica наведені графічні

залежності кінематичних, силових та енергетичних характеристик, які наведені

на рис.



НУБІП України



НУБІП України

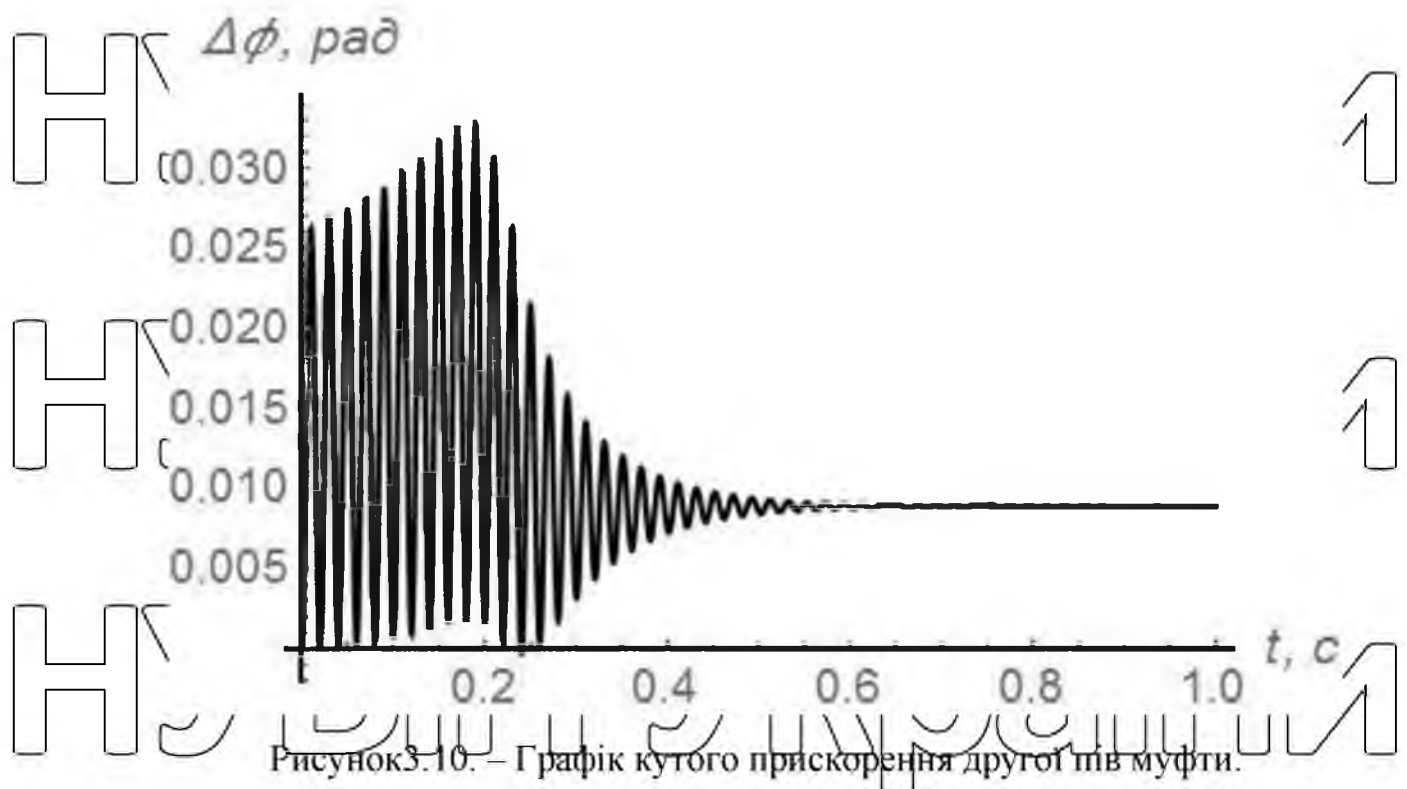


Рисунок 3.10. – Графік кутого прискорення другого п'єв мулти.

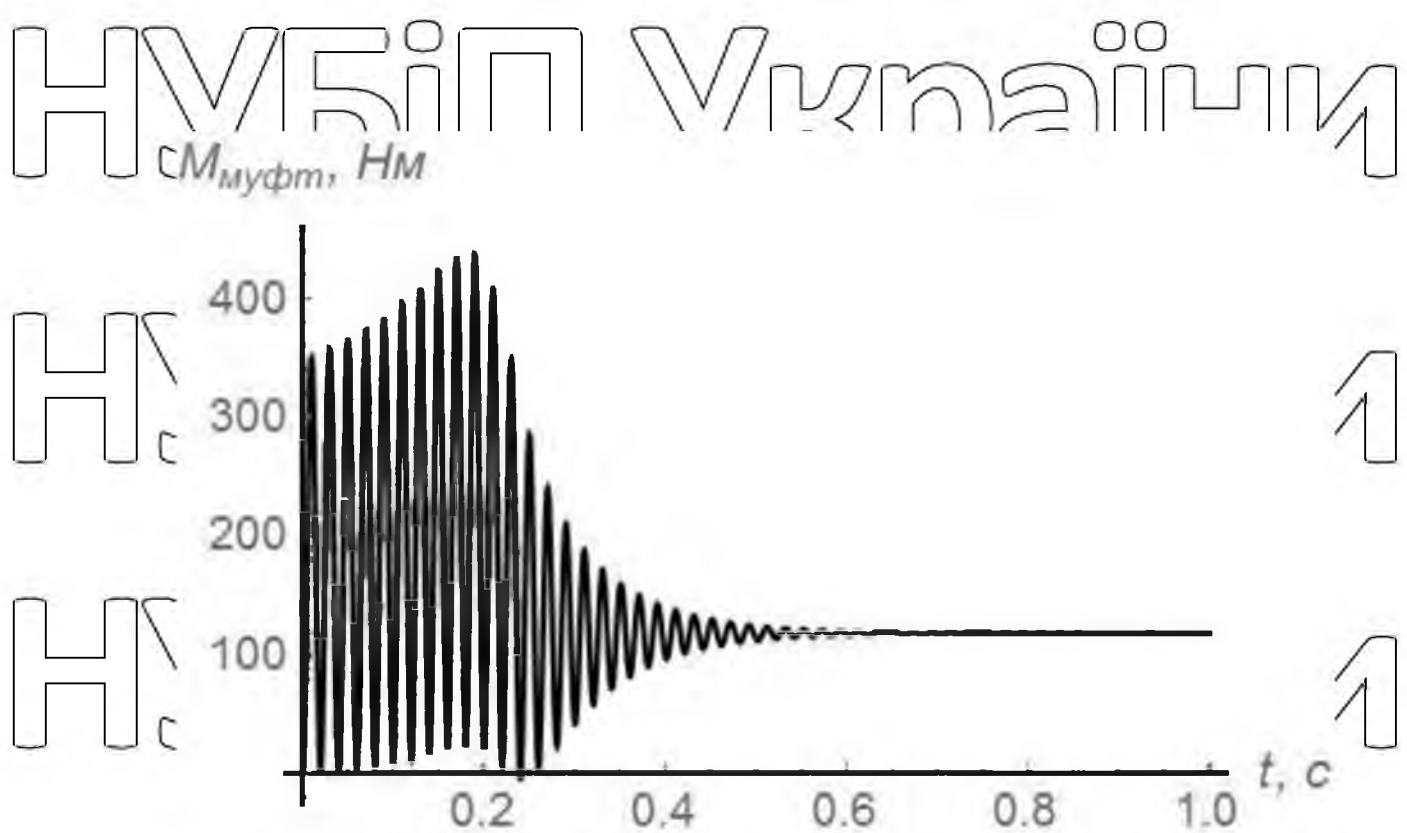


Рисунок 3.11. – Графік рухового моменту в жорсткості муфти.

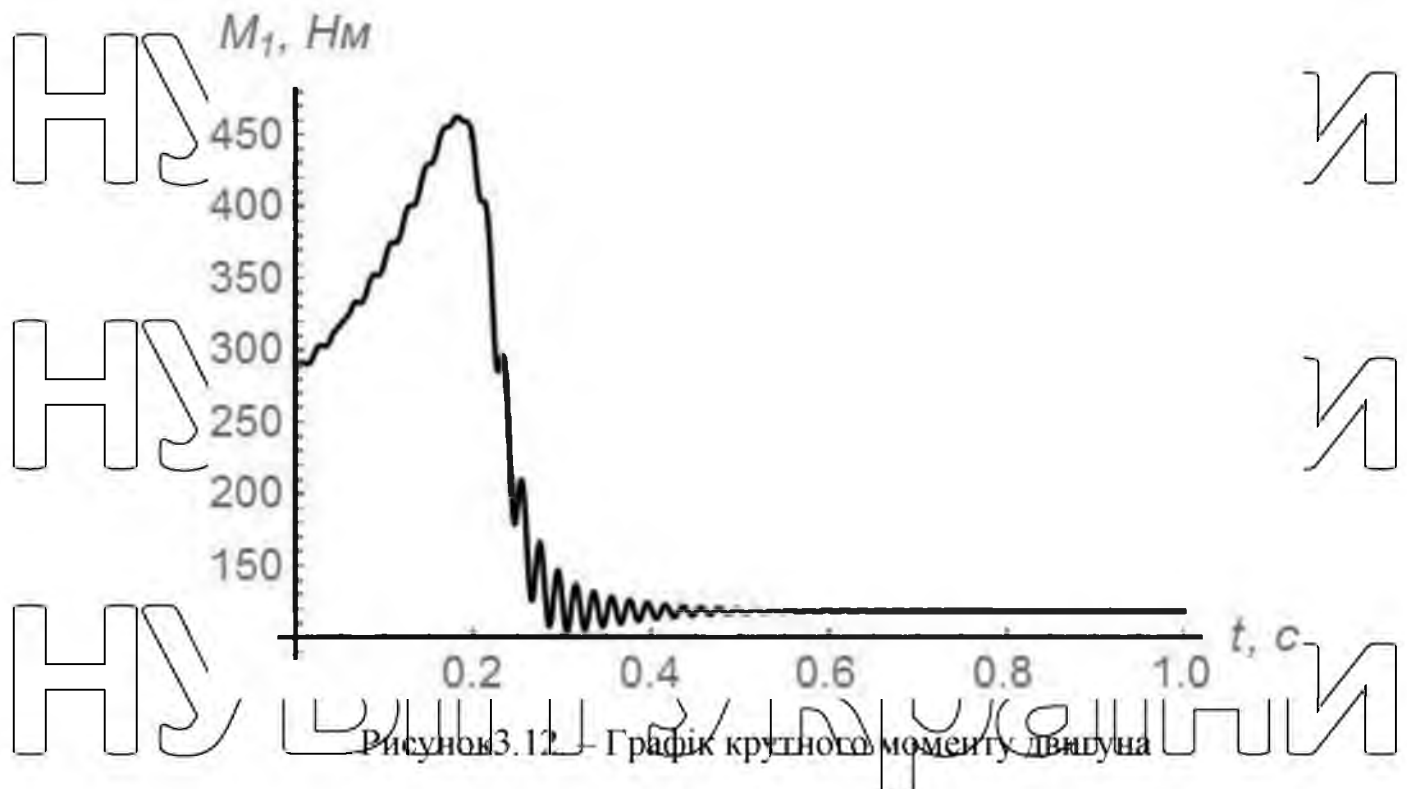


Рисунок 3.12. – Графік крутного моменту приводу

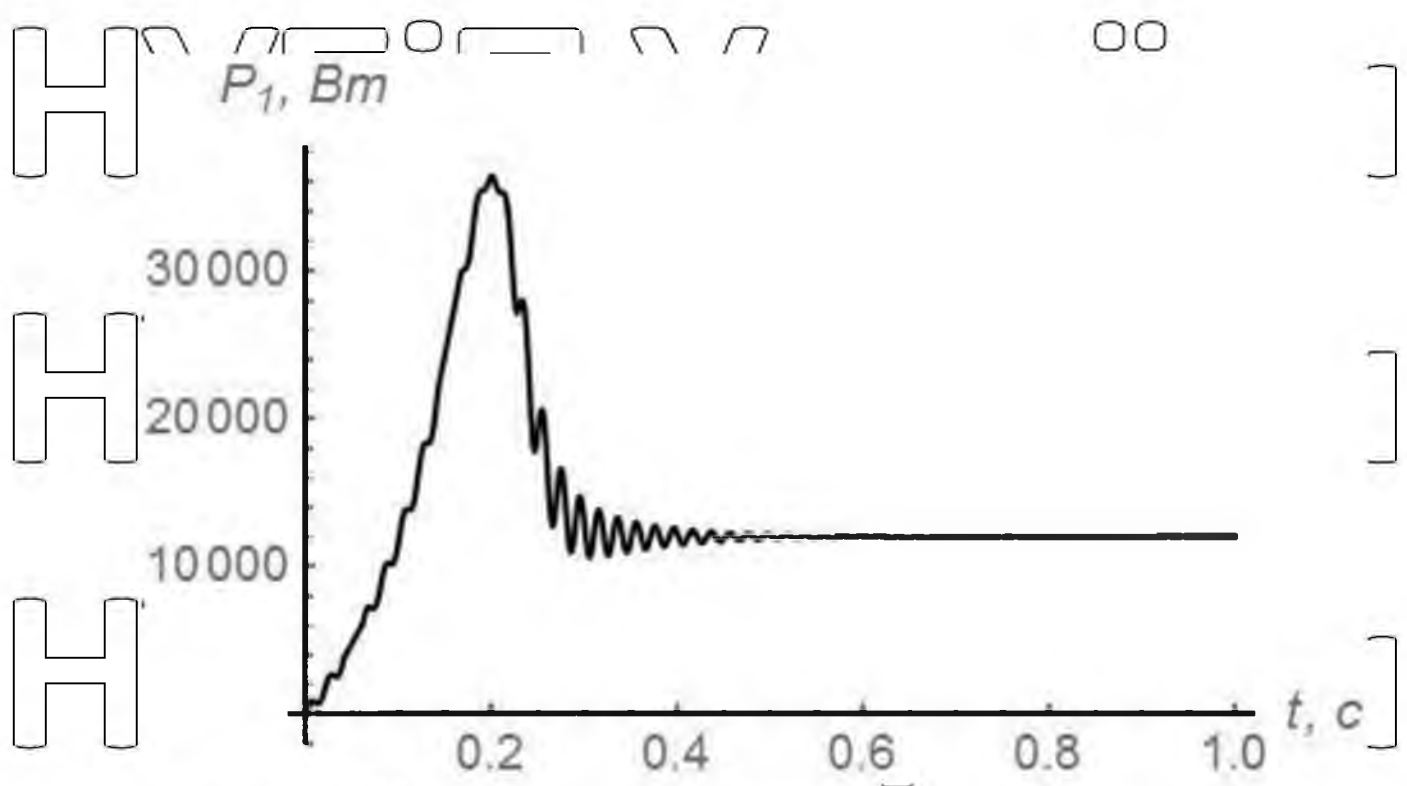


Рисунок 3.13. – Графік потужності приводу

Аналіз графічних залежностей кінематичних, динамічних та енергетичних характеристик механізму підйому вантажу показує наявність значних коливань.

які приводять до появи динамічних навантажень, що негативно впливають на роботу системи крана вцілому.

В табл.3.1 наведено максимальні значення кінематичних, динамічних та енергетичних характеристик механізму підйому вантажу, з яких видно, що вони значно перевищують свої середні значення. Це вказує на наявність значних динамічних навантажень в елементах механізму підйому

Таблиця 3.1 – Максимальні значення характеристик механізму підйому

Максимальний крутний момент у муфті	437.2	Нм
Максимальний крутний момент двигуна	462.7	Нм
Максимальне прискорення першої частини	1063.4	рад/с <sup>2</sup>
Максимальне прискорення другої частини	1583.4	рад/с <sup>2</sup>
Максимальний кут деформації муфти	187	град
Максимальна потужність двигуна	36424.8	Вт

## 2.5. Висновки до розділу

Проаналізувавши динаміку роботи проу碌нної муфти максимальне

значення моменту яке передає муфта складає приблизно 2000 Нм.

Проаналізувавши графік ми бачимо, що максимальне значення моменту значно нижче іж 2000 Нм і становить 437,2, отже муфта зможе витримати навантаження та не зруйнується.

З графіку ми бачимо що максимальне значення потужності двигуна при запуску складає 36424.8 Вт, але потім вирівнюється і повертається до 15000 Вт,

тому двигун буде працювати в нормальному режимі.

Значення кутового прискорення показують ступінь розгону всього механізму прягом всього часу, що підтверджується рис. 1.8 та 1.10.

Максимальний крутний момент двигуна складає 462.7 Нм. Та набирає найбільших значень в період запуску двигуна з 0 до 0.4 с.

З наведеного динамічного аналізу механізму підйому вантажу можна зробити висновок, що найбільші динамічні навантаження мають місце на ділянці пуску, тому для їхнього зменшення та усунення коливань доцільно на цій ділянці руху провести оптимізацію процесу пуску.

НУБІП України

НУБІП України

НУБІП України

НУБІП України

НУБІП України

НУБІП України

## ОПТИМІЗАЦІЯ РЕЖИМУ ПУСКУ МЕХАНІЗМУ ПІДЙОМУ ВАНТАЖУ

### 2.6. Вибір критерію оптимізації режиму пуску механізму підйому вантажу

З динамічного аналізу режиму руху механізму підйому вантажу стрілового крана при підйомі вантажів різного призначення встановлено, що в приводному механізмі виникають значні динамічні навантаження коливального характеру. Амплітуда коливань цих навантажень є досить значною, де максимальні значення динамічних навантажень в декілька разів перевищують номінальне значення при усталеному підйомі вантажу. Виходячи з наведених результатів розрахунку попереднього розділу, приходимо до висновку, що є необхідність в значному зменшенні динамічних навантажень в приводному механізмі механізму підйому вантажу, які приводять до передчасного руйнування його елементів.

Одним із інших зменшення динамічних навантажень в елементах механізму підйому є вибір цілеспрямованого режиму руху приводного механізму. Для суттєвого зменшення динамічних навантажень і усунення коливань в елементах приводу та робочого органу запропоновано оптимізувати режим пуску приводного механізму, де виникають найбільші навантаження та коливання ланок зі значною амплітудою. Однією з найбільш небезпечною ділянкою руху механізму підйому є ділянка пуску, де мають місце складні динамічні процеси пов'язані з виникненням коливальних процесів в пружних елементах приводного механізму. Наявність коливальних процесів приводить до виникнення додаткових динамічних навантажень в елементах конструкції та приводу механізму підйому. Змінні аперіодичні динамічні навантаження досить негативно впливають на втомне руйнування елементів приводного механізму, робочого органу та конструкції механізму підйому в цілому і, як наслідок, знижується надійність роботи крана в цілому та підвищуються енергетичні витрати приводу.

Для проведення оптимізації режиму руху приводу механізму підйому необхідно обрати критерій оптимізації. Оскільки виникає задача зменшення динамічних навантажень в елементах конструкції механізму підйому, то

критерій повинен відображати ці навантаження. При чому ці навантаження повинні відображатись протягом всього процесу пуску механізму підйому. Тому

в критерії оптимізації режиму руху механізму підйому доцільно враховувати пружний момент приводного механізму протягом усієї ділянки руху в процесі пуску. Оскільки є потреба порівняння режимів руху в процесі оптимізації, то

критерій повинен виражатись конкретним числом. Крім того, він повинен бути інтегральним за формулою і виражатись у вигляді інтегралу за часом протягом всієї тривалості процесу пуску.

Враховуючи наведене, за критерій оптимізації режиму руху в процесі пуску механізму підйому оберемо середньоквадратичне значення пружного моменту в приводі механізму підйому протягом процесу пуску, який представляється в наступному вигляді

$$M_{pc} = \left( \frac{1}{t_1} \int_0^{t_1} M_p^2 dt \right)^{\frac{1}{2}}, \quad (4.1)$$

де  $t$ ,  $t_1$  – часу та тривалість процесу пуску механізму підйому при транспортуванні різних вантажів,  $M_p$  – функціональна залежність моменту сили в пружному елементі приводу механізму підйому.

Оскільки обраний критерій відображає динамічні навантаження, які є небажаними для механізму підйому, то він в процесі оптимізації режиму руху механізму підйому підлягає мінімізації.

## 2.7. Визначення оптимального режиму пуску механізму підйому

Для проведення оптимізації режиму руху механізму підйому сформуємо критерій оптимізації, який необхідно мінімізувати за час перехідного процесу пуску механізму підйому. Оскільки у вираз критерію повинен входити момент

сили в пружному елементі приводу механізму підйому вантажу то визначимо його. Для цього використаємо такий вираз

$$M_p = c(\varphi_1 - \varphi_2), \quad (4.2)$$

де  $c$  – коефіцієнт жорсткості пружного елементу приводу механізму

підйому вантажу;  $\varphi_1, \varphi_2$  – кутові координати першої та другої зведених мас динамичної моделі приводу механізму підйому вантажу.  
З другого рівняння системи диференціальних рівнянь руху механізму підйому можна записати

$$M_p = c(\varphi_1 - \varphi_2) - J_{p2} \ddot{\varphi}_2 + M_{p2}, \quad (4.3)$$

де  $J_{p2}$  – момент інерції другої зведенії маси динамичної моделі приводу механізму підйому вантажу при транспортуванні різних вантажів;

$M_{p2}$  – зведений момент сил опору повороту другої зведенії маси

Залишемо підінтегральний вираз критерію (4.1) з урахуванням залежності (4.3), в результаті чого отримаємо такий вираз

$$f = (J_{p2} \ddot{\varphi}_2 + M_{p2})^2. \quad (4.4)$$

Умовою мінімуму інтегрального критерію (4.1) з урахуванням виразу (4.4) є рівняння Пуассона, які мають наступний вид

$$\partial f / \partial \dot{\varphi}_2 - d/dt \cdot \partial f / \partial \varphi_2 + d^2/dt^2 \cdot \partial f / \partial \dot{\varphi}_2 + d^3/dt^3 \cdot \partial f / \partial \ddot{\varphi}_2 + d^4/dt^4 \cdot \partial f / \partial \ddot{\varphi}_2 IV = 0$$

Після підстановки в рівняння Пуассона виразу (4.4) отримаємо умову мінімуму критерію (4.1), що відображає динамічні процеси в приводу механізму підйому вантажу, яка представляється таким диференціальним рівнянням

$$2J_{p2}^2 \ddot{\varphi}_2 = 0. \quad (4.5)$$

Рівняння (4.5) справедливе тільки в тому випадку, коли  $\ddot{\varphi}_2 = 0$ , оскільки інші складові не можуть дорівнювати нулю. В результаті послідовного

інтегрування рівняння (4.5) отримаємо наступні залежності координати другої зведеній маси динамічної моделі приводу механізму підйому вантажу та його похідні за часом:

$$\ddot{\varphi}_2 = C_1;$$

$$\dot{\varphi}_2 = C_1 t + C_2;$$

$$\varphi_2 = \frac{C_1 t^2}{2} + C_2 t + C_3; \quad (4.6)$$

$$\varphi_2 = \frac{C_1 t^3}{6} + \frac{C_2 t^2}{2} + C_3 t + C_4.$$

Тут  $C_1, C_2, C_3, C_4$  - постійні, що знаходяться з таких краївих умов руху

приводу механізму підйому вантажу:

$$t=0: \varphi_2 = 0; \dot{\varphi}_2 = 0; t=t_1: \dot{\varphi}_2 = \omega; \ddot{\varphi}_2 = 0. \quad (4.7)$$

В умовах (4.7)  $\omega$  - усталена кутова швидкість приводного вала приводу механізму підйому вантажу.

В результаті використання краївих умов (4.7) для виразів (4.6) знайдемо постійні, які приймають наступні значення:

$$C_1 = -\frac{2\omega}{t_1^2}; C_2 = \frac{2\omega}{t_1}; C_3 = 0; C_4 = 0. \quad (4.8)$$

Після підстановки виразів (4.8) в залежності (4.6) знайдемо кінематичні характеристики оптимального динамічного режиму пуску приводу механізму підйому вантажу, які забезпечують характер зміни пружного моменту в приводу механізму підйому вантажу, де відсутні коливання при практично відсутніх динамічних навантажень в приводі та елементах конструкції приводу механізму підйому вантажу. З другого рівняння системи рівнянь механізму підйому вантажу виразимо координату періоду зведеній маси динамічної моделі приводу механізму підйому вантажу, що відображає приводний механізм і має такий вигляд

$$\varphi_1 = \varphi_2 + \frac{J_2}{c} \ddot{\varphi}_2 + \frac{M_{p2}}{c}. \quad (4.9)$$

**Г** Взявши двічі похідну за часом від виразу (4.9), визначимо швидкість та прискорення кутового обертання першої зведеній мас динамічної моделі приводу механізму підйому вантажу:

$$\dot{\varphi}_1 = \dot{\varphi}_2 + \frac{J_{p2}}{c} \ddot{\varphi}_2 + \frac{M_{p2}}{c}; \quad (4.10)$$

$$\ddot{\varphi}_1 = \ddot{\varphi}_2 + \frac{J_{p2}}{c}. \quad (4.11)$$

**Г** В результаті проведених попередніх розрахунків можемо визначити пружний момент в приводному механізмі та рушійний момент на валу електродвигуна приводу механізму підйому вантажу, які визначаються такими залежностями:

$$M_p = J_{p2} \ddot{\varphi}_2 + M_{p2}; \quad (4.12)$$

$$M_d = J_{p1} \ddot{\varphi}_1 + J_{p2} \ddot{\varphi}_2 + M_{p2}, \quad (4.13)$$

**Г** Тут  $J_{p1}, J_{p2}$  – моменти інерції першої та другої зведеній мас динамічної моделі приводу механізму підйому вантажу, які відображають приводний механізм;  $M_{p2}$  – зведений до приводного вала момент сил опору приводу механізму підйому вантажу;  $\omega$  –

**Г** кутова швидкість усталеного руху приводу механізму підйому вантажу;  $t_1$  – тривалість пуску приводу механізму підйому вантажу

**Г** Знайдемо залежність потужності на приводному валу приводу механізму підйому вантажу

**Г** **2.8. Результати оптимізації режиму пуску механізму підйому вантажу**

**Г**  $P_d = M_d \dot{\varphi}_1 \quad (4.14)$

**Г** Для приводу механізму підйому вантажу, представленого двома своюю динамічною моделлю в результаті проведених розрахунків побудовані графічні залежності кінематичних, динамічних та енергетичних характеристик

оптимального режиму руху люлькового елеватора на ділянці пуску, які представлені на рис.4.1..., рис.4.8.

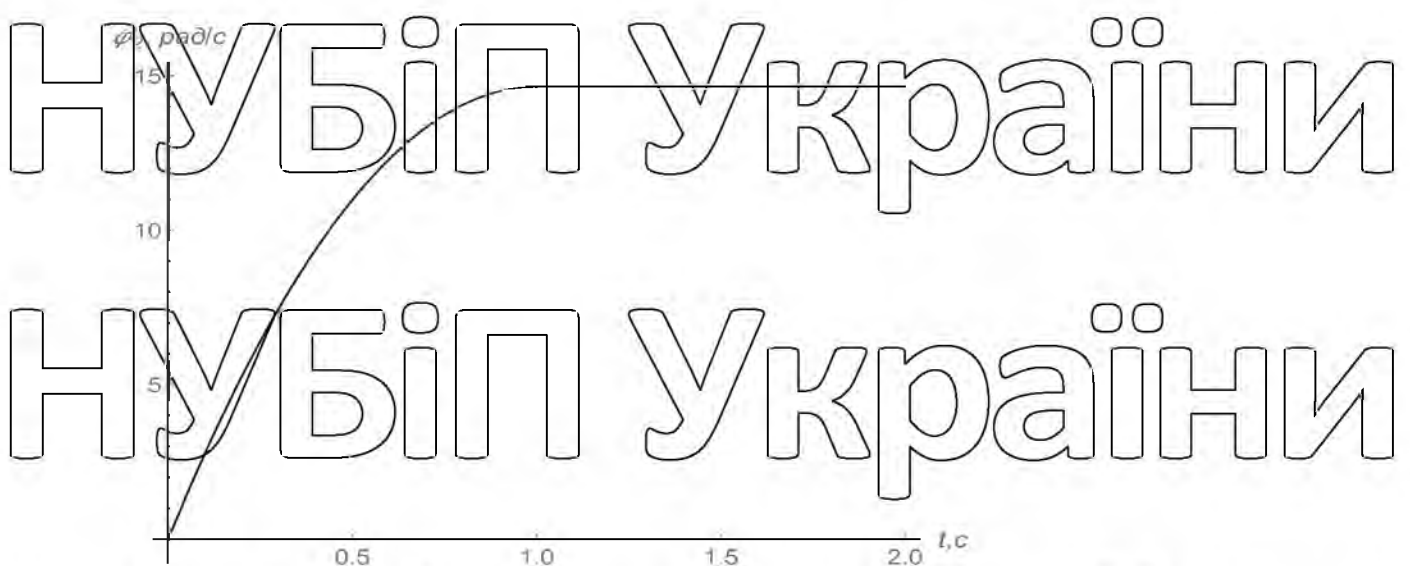


Рисунок 4.2 Графік кутової швидкості другої зведеної маси приводу механізму підйому вантажу

Кутові швидкості оптимального режиму пуску першої (рис.4.1) та другої (рис.4.2) зведених мас динамічної моделі приводу механізму підйому вантажу змінюються плавно за параболічним законом до усталеної швидкості руху. Такий оптимальний режим руху усуває коливання в системі приводу механізму підйому вантажу і мінімізує динамічні навантаження в його елементах.



Рисунок 6.3 -. Графік кутового прискорення першої зведеної маси приводу механізму підйому вантажу



Рисунок 4.4. Графік кутового прискорення другої зведеної маси приводу механізму підйому вантажу

Кутові прискорення оптимального режиму руху першої (рис 4.3) та другої (рис.4.4) зведенних мас приводу механізму підйому вантажу змінюються за лінійним законом від максимального значення до нуля в процесі пуску приводного механізму. Такий оптимальний режим пуску усуває коливання прискорень, але на початку пуску вони приймають максимальні значення, що вимагає в цей момент руху максимальних значень руційного моменту приводного механізму.

# НУБІП України

# НУБІП України

# НУБІП України

Рисунок 4.5. Графік зміни рушійного моменту приводного електродвигуна приводу механізму підйому вантажу

Рушійний момент приводного електродвигуна (рис. 4.5) змінюється

правно за лінійним Законом від максимального до усталеного значення в процесі пуску. Такий оптимальний режим руху усуває коливання рушійного моменту, але на початку пуску він приймає максимальне значення, яке миттєво зростає від нульового значення, що може викликати додаткові динамічні навантаження.

# НУБІП України

# дайни

# дайни

Рисунок 4.6. Графік зміни потужності на валу приводного електродвигуна

приводу механізму підйому вантажу

Потужність на валу приводного електродвигуна (рис.4.6) приводу механізму підйому вантажу змінюється плавно без коливань за параболічним законом з досягненням максимального значення під кінець пуску, а далі плавно знижується до усталеного значення. Такий оптимальний режим руху є сприятливим для роботи електродвигуна і всього приводу механізму підйому вантажу.

## 2.9.

### Висновки до розділу

З наведених графічних залежностей (рис.4.1,..., рис.4.6) оптимального динамічного режиму руху приводу механізму підйому вантажу, можна зробити висновок, що коливання в ланках приводу механізму підйому вантажу при транспортуванні різних вантажів усуваються. Отримані залежності показують, що динамічні навантаження зменшуються до мінімальних значень і рух ланок приводу є плавним в порівнянні з некерованим рухом приводу механізму підйому вантажу. Крім того, при оптимальному режимі руху мають місце незначні енергетичні витрати в процесі пуску приводу механізму підйому вантажу, більше на 25% максимальне значення потужності електродвигуна перевищує усталене значення.

## РОЗДІЛ 5.ОХОРОНА ПРАЦІ

### 5.1.Запобігання небезпечному підйому

Оператор несе відповідальність за поінформованість про умови, які можуть вплинути на безпеку на місці підйому. Це може включати умови на місці, стан обладнання або будь-який інший аспект ліфта. Якщо оператор має будь-які сумніви щодо безпеки ліфта, він повинен припинити роботу, доки стан не буде вирішено безпечним.

### 5.2.Запобігання зіткненням

Коли два або більше підйомних пристріїв знаходяться на місці і достатньо близько, щоб зіткнення могло статися (див. рис.3.1), роботодавець повинен:

1. підготувати процедури для запобігання зіткненням. Правила охорони праці вимагає, щоб процедури були в письмовій формі та були доступні для працівників. Такі процедури можуть враховувати наступне:
  - забезпечення належного, кваліфікованого нагляду
  - умови ґрунту
  - використання пристріїв датчиків наближення та попередження о точна маса вантажу та його конфігурації
  - найбільший очікуваний радіус навантаження кожного крана
  - довжина стріли та кути стріли кожний кран
  - швидкість, швидкість повороту та стріли
  - необхідність пересування з вантажем;
2. переконатися, що оператори ознайомлені з цими процедурами, як того вимагає Правила охорони праці.

**3.**

Якщо в цій частині спеціально не вимагається, роботодавець повинен

1. забезпечити, щоб оператори були в курсі умов експлуатації, включаючи розташування та близькість інших підйомних пристройів;

**HY**

2. переконатися, що всі залучені працівники точно знають, що вони повинні робити і які рухи будуть виконуватися до початку підйому;

3. забезпечити операторів візуальними або слуховими засобами зв'язку

**HY**

один з одним. Лише одна особа повинна керувати та керувати операціями з кількома кранами. Ця особа повинна знаходитися в такому положенні, щоб бачити всю операцію та підтримувати контакт з операторами.

**H**

**H**

**H**



Рис. 3.1. Приклад кількох кранів в експлуатації

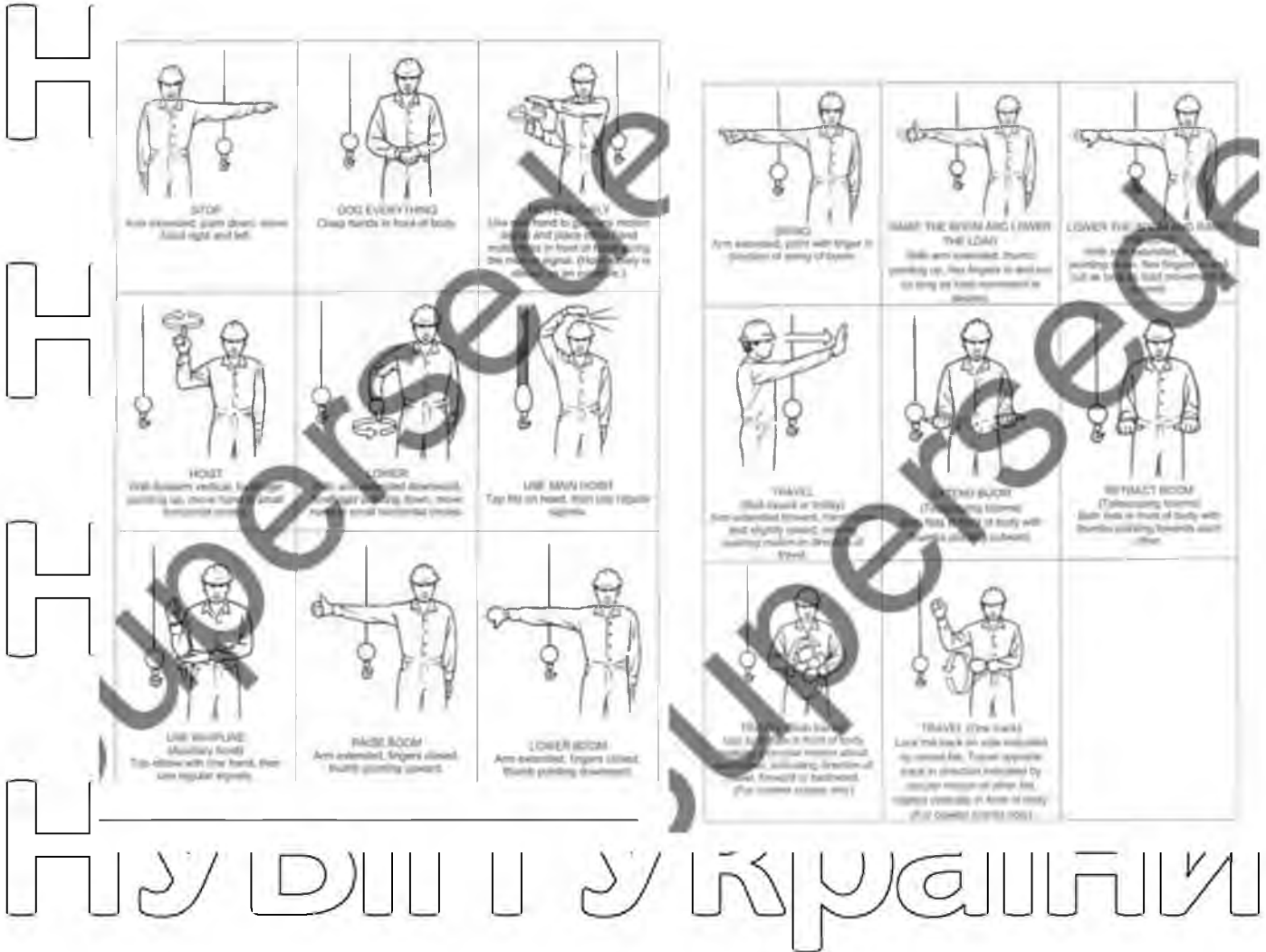
**5.3. Сигнали руками**

У багатьох підйомних роботах зазвичай використовують портативні

двосторонні радіоприймачі для керування рухом підвішеного вантажу. Якщо це

неможливо, можуть знадобитися сигнали руками призначеного сигналізатора.

Рисунки 3.2 і 3.3 є прикладами стандартних ручних сигналів для роботи крана. Роботодавець повинен призначити сигналізаторів відповідно до розділу 191 Кодексу з охорони праці. Усі сигнали повинні бути безперервними і не повинно відповідати на незрозумілі сигнали.



НУБІП України

НУБІП України

Н

Н

Н



Рис. 3.2. Сигнали мобільних кранів

НУБІП УКРАЇНИ

НУБІП УКРАЇНИ

НУБІП УКРАЇНИ

НУБІП УКРАЇНИ

## РОЗДІЛ 6. ЕКОНОМІЧНА ЕФЕКТИВНІСТЬ

Кошторис витрат на утримання і експлуатацію крана

Найменування показників	Варіанти, тис.гр.		
базова модель	modернізована модель	+ -	
1) Амортизація	134	139	+5
2) Поточний ремонт	115.3	103.9	-11.6
3) Електроенергія	57.2	50.2	-7
4) Заробітна плата робітників	910	910	-
- основна	758	758	-
- додаткова	152	152	-
5) Нарахування на заробітну плату	164	164	-
6) Допоміжні матеріали	7	6	-1
7) Охорона праці	18	18	-
8) Разом	1405.5	1391.1	-14.4

H

H

H

H

H

H

## Розрахунок економічної ефективності модернізації козлового крана.

показники	Од. вимір.	варіанти			
базова модель	modернізована модель	+ -			
1)	2)	3)	4)	5)	
1) Продуктивність крана	тонн	35916	51559	+15643	
2) Капітальне вкладення	тис. тенге	2888	2788	+100	
3) Витрати на утримання і експлуатацію крана	тис. тенге	1405.5	1391.1	-14.4	
3.1 Всього	тг.	39.1	27	-12.1	
3.2 На 1 тонну вантажу					
4) Економія на весь обсяг	тис.т.	623.9			
5) Термін окупності	років.	0,16			
	місяців	1,9			

Згідно за розрахунками після покращення отримана економія 623.9 тис.тг., термін окупності додаткових витрат на покращення в сумі 100 тис.тг., складе 1.9 місяців.

U =

**Н** Витрати на модернізацію включають в себе: витрати на матеріали і покупку двигунів МТF311-6, МТF012-6, МТF112-6, редукторів Ц2-400, Ц2-300, Ц2-250, з'єднувальних муфт, гальм, витрати на оплату праці робітників.

□

**НУБІП України**

**НУБІП України**

**НУБІП України**

**НУБІП України**

**НУБІП України**

**НУБІП України**

<u>показники</u>	<u>Од. вимір,</u>	<u>варіанти</u>
базова модель	modернізована модель	+ -
1) Вантажопійомність крана	т	5 5
2) Продуктивність крана в рік	т	35916 51559 +15643
3) Швидкість підйому вантажу	м / хв	8 14 +6
4) Швидкість пересування	м / хв	30 40 +10
5) Сумарна встановлена потужність	кВт	28 23,6 -4,4
6) Категорія ремонтної складності	-	22 22 -
7) Міжремонтний період	година	172 176 +4
8) Трудомісткість ремонтних робіт	година	840 757 -83
9) Чисельність робітників	чол	3 3 -
10) Фонд заробітної плати	тис. тенге	910 910 -
11) Середньомісячна заробітна плата в місяць	тис. тенге	25278 25278 -
12) Витрати на обслуговування і експлуатацію крана	тис. тенге	1405,5 1391,1 -14,4

Н

13) Витрати з обслуговування крана на 1 тонну вантажу.

тенге

39,1

27,0

-14,4

Н

14) Економічний ефект

тис. тенге

623,9

Н

15) Термін окупності капітальних додаткових вкладень

місяці

1,9

НУБІП України

НУБІП України

НУБІП України

НУБІП України

# ВИСНОВКИ

## В кваліфікаційній магістерській роботі розроблена конструкція консольного повноповоротного крану для переміщення довгомірних вантажів.

Перед розробкою конструкції стрілового крану проведений аналіз існуючих конструкцій стрілових кранів та їхніх механізмів, зокрема механізмів підйому вантажу та переміщення кранового візка. Для розробки конструкції консольного повноповоротного крану використано морфологічний метод аналізу та синтезу технічних рішень технічних систем. Суть цього методу полягає в розробці морфологічної таблиці можливих технічних рішень, з якої визначаються альтернативні варіанти кранових механізмів. Побудовано морфологічну таблицю приводу підйому вантажу, з якої обрано конструкцію приводу, що використана в розробленому баштовому крані.

Проведено розрахунки механізмів підйому вантажу та пересування

кранового візка. В результаті проведених розрахунків обрані приводні двигуни, редуктори, муфти та гальмівні пристрої цих механізмів крана. Здійснено також розрахунок на міцність окремих деталей кранових механізмів і розроблені їхні конструкції.

В магістерській роботі проведено динамічний аналіз руху механізму підйому вантажу. Для проведення динамічного аналізу розроблено динамічну модель механізму підйому, на основі якої побудовано математичну модель. В результаті розрахунку математичної моделі визначені залежності зміни кінематичних, динамічних та енергетичних характеристик механізму підйому.

Цей аналіз показав наявність значних коливань ланок механізму підйому при достатньо великих динамічних навантаженнях.

Для усунення коливань в ланках механізму підйому та зменшення динамічних навантажень здійснено оптимізацію режиму пуску, яка показала, що всі коливання ланок усуваються.

Також в кваліфікаційній бакалаврській роботі наведені заходи з охорони праці при роботі кранових механізмів та проведений економічний розрахунок, який показав доцільність даної розробки консольного крана.

# НУБІП України

# СПИСОК ВИКОРИСТАНИХ ДЖЕРЕЛ

Ловейкін В.С. Оптимізація режимів руху машин і механізмів. //

Машинознавство. – 1999. – № 7 (25). – С. 24-31.

Іванченко Ф. К. Підйомно-транспортні машини: Підручник. – К.: Вища шк.,

1993. – 413 с.

Обоснование и расчеты параметров грузоподъемных машин: Учебное пособие для вузов / А. И. Барышев, В. А. Будищевский, Н. А.

Ловейкін В.С. Моделювання оптимальних режимів підйому та

опускання вантажу / В.С. Ловейкін, В.А. Голдун // Збірник наукових праць „Машинобудування”. – 2014. – 14. – С. 15-23.

Ловейкін В.С. Оптимізація режиму підйому вантажу з транспортного засобу / В.С. Ловейкін, В.А. Голдун // Збірник тез доповідей 75 науково-практичної конференції Київського національного університету будівництва і архітектури (15-18 квітня 2014 року) / Кафедра основ професійного навчання Київського національного університету будівництва і архітектури. – К. 2014. – С. 28-30.

Ромасевич Ю.О. Динамічна оптимізація режимів руху механізмів вантажопідйомних машин як мехатронних систем: дис. докт. техн. наук. 05.05.05 / Юрій Олександрович Ромасевич. – О., 2015. – 519 с.

Ловейкін В.С., Паламарчук Д.А. Мінімізація коливання вантажу при горизонтальному переміщенні шарнірно-зчленованою стріловою системою крана. // Техніка будівництва. – № 24, 2010 р. – С. 9-17.

Ловейкін В.С., Ромасевич Ю.О., Шумілов Г.В. Вплив довжини каната механізму переміщення візка на динаміку одночасної зміни вильоту та підйому вантажу баштового крана. // Науково-технічний і виробничий журнал «Підйомно-транспортнатахніка». – 2011. – № 1. – С. 3-13.

НУДІІ І УКРАЇНІ

**Л**овейкін В.С., Шевчук О.Г. Оптимізація динамічного режиму пуску шарнірно-зчленованої стрілової системи баштового крана. // Техніка будівництва, № 23, 2009 р. – С. 24-29.

**Л**овейкін В.С., Міщук Д.О. Оптимізація режиму руху стрілової системи крана-маніпулятора в процесі зміни вильотування та під час роботи за двохузагальнених координат. // Техніка будівництва, № 23, 2009 р. – С. 17-23.

**Л**овейкин В.С. Расчеты оптимальных режимов движения механизмов строительных машин: Учеб. пособие. – Киев: УМК ВО, 1990. – 168 с.

**Л**.<https://budtehnika.pp.ua/6952-osnovn-mehanzmi-kozlovih-kranv.html>

**Л**23.<http://www.dgma.donetsk.ua/docs/kafedry/ptm/2020/MB%20СПТМ%20практ%20авт%20башт%20сам%20крані%202019.pdf>

**Л**24.[http://www.lnau.edu.ua/lnau/attachments/052\\_Лабораторний%20практикум%20з%20ПТМ.pdf](http://www.lnau.edu.ua/lnau/attachments/052_Лабораторний%20практикум%20з%20ПТМ.pdf)

**Л**25.[https://dnaop.com/html/52616/doc-Приказ\\_143](https://dnaop.com/html/52616/doc-Приказ_143)

**Л**26.<https://zakon.rada.gov.ua/laws/show/z0124-15#Text>

**Л**27.Monografija\_Lovejkin\_Romasevich\_Serdjuchenko\_Limar.pdf

**Н**УДІЛ І УКРАЇНИ

**НУБІП України**

**НУБІП України**